

(19) 日本国特許庁(JP)

(12) 特許公報(B2)

(11) 特許番号

特許第5401460号
(P5401460)

(45) 発行日 平成26年1月29日(2014.1.29)

(24) 登録日 平成25年11月1日(2013.11.1)

(51) Int.Cl.	F 1
C 12 Q 1/68	(2006.01)
C 12 N 15/09	(2006.01)
A 61 K 45/00	(2006.01)
A 61 P 35/00	(2006.01)
A 61 K 31/7088	(2006.01)
C 12 Q 1/68	Z N A A
C 12 N 15/00	A
A 61 K 45/00	
A 61 P 35/00	
A 61 K 31/7088	

請求項の数 2 (全 74 頁)

(21) 出願番号	特願2010-524221 (P2010-524221)
(86) (22) 出願日	平成20年9月8日(2008.9.8)
(65) 公表番号	特表2010-538610 (P2010-538610A)
(43) 公表日	平成22年12月16日(2010.12.16)
(86) 国際出願番号	PCT/US2008/075565
(87) 国際公開番号	W02009/033140
(87) 国際公開日	平成21年3月12日(2009.3.12)
審査請求日	平成23年9月7日(2011.9.7)
(31) 優先権主張番号	60/967,663
(32) 優先日	平成19年9月6日(2007.9.6)
(33) 優先権主張国	米国(US)

(73) 特許権者	593172050 ジ・オハイオ・ステイト・ユニバーシティ ・リサーチ・ファウンデイション THE OHIO STATE UNIVERSITY RESEARCH FOUNDATION アメリカ合衆国オハイオ州43201, コロンバス, ノース・ハイ・ストリート 1 524
(74) 代理人	100140109 弁理士 小野 新次郎
(74) 代理人	100089705 弁理士 社本 一夫
(74) 代理人	100075270 弁理士 小林 泰

最終頁に続く

(54) 【発明の名称】ヒト卵巣癌中のマイクロRNAシグネチャー

(57) 【特許請求の範囲】

【請求項1】

対象における、卵巣癌または卵巣癌を発病する危険性の検出を補助する方法であって、前記対象からの試験試料中の少なくとも1つのmiRのレベルを測定するステップを含み、ここで、少なくとも1つのmiRが、miR-205、miR-21およびmiR-182からなる群から選択され、

正常試料と比較した1つもしくは複数のmiRの発現の差が、卵巣類内膜癌を示している、前記方法。

【請求項2】

さらに2またはそれ以上のmiRの発現レベルを組み合わせる、請求項1に記載の方法。

【発明の詳細な説明】

【技術分野】

【0001】

関連出願の相互参照

本出願は、2007年9月6日出願の米国仮特許出願第60/967,663号の利益を主張し、この開示は、参照することにより本明細書に明示的に組み込まれる。

政府援助

【0002】

本発明は、全体的または部分的に、国立癌研究所助成番号-----からの助成金により補助された。政府は、本発明においてある特定の権利を有する。

【0003】

本発明は、概して、分子生物学の分野に関する。より具体的には、マイクロRNA (miRNA または miR) 分子を含む方法および組成物に関する。miRNAアレイ等、分析のため、または分析用ツールとして miRNA を単離、標識化、調製するための方法および組成物が記載される。さらに、診断、治療および予後診断における miRNA に応用できる。

【背景技術】

【0004】

上皮性卵巣癌は、最も一般的な婦人科悪性腫瘍であり、また世界中の女性において 6 番目に一般的な癌であり、年間ほぼ 125,000 件の死亡 (1) をもたらしている極めて侵攻性の自然史を伴う。検出および細胞傷害性療法の発展にもかかわらず、進行卵巣癌に罹患した患者のうち最初の診断後 5 年間生存するのはわずか 30 % のみである (2)。この疾患の高い死亡率は、主に、卵巣癌の 70 % 超が後期段階の診断であることに起因する。事実、卵巣癌がその初期段階で診断された場合、すなわちまだ器官に限局されている場合、5 年生存率は 90 % を超える。残念ながら、この初期段階で診断されるのは、すべての卵巣癌のわずか 19 % である。確かに、この幾分不良な予後は、(i) この疾患のその早期発症における潜行性の無症候的性質、(ii) 早期検出のための確実で低侵襲的な方法の欠如、および (iii) 化学療法に対する腫瘍の耐性に起因する。ヒト卵巣癌の大部分が、卵巣表面上皮 (OSE) から派生する上皮性卵巣癌 (OEC) に代表される (3)。

【0005】

卵巣腺癌は、4 つの主要な組織学的亜型である、漿液性、粘液性、類内膜および明細胞として生じるが、漿液性が最も一般的である。現在のデータでは、これらの組織型が異なる形態学的および分子遺伝学的变化に関連していることが示されている (4) が、亜型のそれぞれがどのように発生するかを決定するためには、卵巣癌を促進する分子機構のさらなる研究が必要である。

【0006】

過去 5 年間にわたり、発現プロファイリング技術が大幅に改善され、これにより癌疫学および臨床的に応用できるバイオマーカーに対する知識が広がった (5, 6)。しかしながら、これらの技術により、新たなバイオマーカーのほとんどに、診断、薬剤開発、および個人に合わせた治療への使用の可能性が与えられたが、今のところ、この新生組織形成の起源における詳細な機構に対する洞察はほとんど提供されておらず、したがって、卵巣腫瘍形成が、新規またはまだ十分特性決定されていない経路を介して生じている可能性を示唆している。

【0007】

マイクロRNA と呼ばれる微小なノンコーディングRNA の新たなクラスが最近発見され、大部分は、標的mRNA の 3' 非翻訳領域 (3' UTR) への部分的配列ホモジニーを介して結合し、翻訳のブロックおよび / または mRNA 分解をもたらすことにより (7) 、転写後レベルでの遺伝子発現を制御することが示されている。マイクロRNA は、70 ~ 100 nt のヘアピン pre-miRNA 前駆体から切断された 19 ~ 25 nt の長さの分子である。該前駆体は、細胞質 RNase III Dicer により約 22 nt の miRNA 二本鎖に切断されるが、一時的な二本鎖の 1 つの鎖 (miRNA*) が分解し、一方、成熟 miRNA として機能する他方の鎖は、RNA 誘導サイレンシング複合体 (RISC) に組み込まれ、アンチセンス配列を含有する標的 mRNA の選択を促進する。

【0008】

いくつかの研究は、miRNA が分化、細胞増殖および細胞死等の必須プロセスにおいて重要な役割を担っていることを実証している (8, 9)。

【0009】

さらに、癌においては、miRNA が異常発現または変異することが示されており、miRNA が制御する標的に依存して、それらが新規のクラスの腫瘍遺伝子または腫瘍抑制遺伝子としての役割を担う可能性があることを示唆しており、肺癌において下方制御された

10

20

30

40

50

l e t - 7 は、 R A S (1 0) を抑制し、白血病において削除または下方制御された H M G A 2 (1 1 、 1 2) m i r - 1 5 および m i r - 1 6 は、 B C L 2 (1 3) を抑制し、 m i r - 1 7 - 5 p および m i r - 2 0 a は、癌原遺伝子 c - M y c (1 4) により生じる細胞死および増殖のバランスを制御する。

【 0 0 1 0 】

明らかな証拠により、 m i R N A ポリリストロン m i r - 1 7 ~ 9 2 は、リンパ腫および肺癌 (1 5) における腫瘍遺伝子として機能し、 m i r - 3 7 2 および m i r - 3 7 3 は、 p 5 3 経路を麻痺させることにより、精巣生殖細胞腫瘍における新規な腫瘍遺伝子であり (1 6) 、 B 細胞リンパ腫および充実性腫瘍に過剰発現した m i R - 1 5 5 は、遺伝子導入マウスの生体内モデルにおいて、 B 細胞悪性腫瘍の発達につながる (1 7) ことが示されている。

マイクロ R N A マイクロアレイ技術は、正常試料と腫瘍試料との間で特異的に発現したマイクロ R N A を認識するため (1 8 ~ 2 0) 、また明確な臨床病理学的特徴および疾患の結果と関連した m i R N A 発現シグネチャーを特定するため (2 1 、 2 2) の強力なツールとして使用されている。また、いくつかの研究は、異常なマイクロ R N A 発現につながる分子機構を調査しており、マイクロ R N A 遺伝子におけるゲノム異常の存在を特定している (2 1 、 2 3 、 2 4) 。より最近では、いくつかの証拠が、ゲノム D N A メチル化パターンの変化として、マイクロ R N A 遺伝子が後成的機構によっても制御され得ることを示しており、 m i R - 1 2 7 (2 5) および m i R - 1 2 4 a (2 6) は C p G アイランドの過剰メチル化により転写的に不活性化され、一方肺癌において、 l e t - 7 a - 3 の過剰発現は D N A 低メチル化に起因するようである (2 7) 。

【先行技術文献】

【非特許文献】

【 0 0 1 1 】

【非特許文献 1 】 C a n n i s t r a S A . C a n c e r o f t h e o v a r y . N E n g l J M e d 2 0 0 4 ; 3 5 1 : 2 5 1 9 - 2 9 .

【非特許文献 2 】 G r e e n l e e R T , H i l l - H a r m o n M B , M u r r a y T a n d T h u n M . C a n c e r s t a t i s t i c s , 2 0 0 1 . C A C a n c e r J . C l i n . 2 0 0 1 ; 5 1 : 1 5 - 3 6 .

【非特許文献 3 】 F e e l e y K M a n d W e l l s M . P r e c u r s o r l e s i o n s o f o v a r i a n e p i t h e l i a l m a l i g n a n c y . H i s t o p a t h o l o g y 2 0 0 1 ; 3 8 : 8 7 - 9 5 .

【非特許文献 4 】 B e l l D A . O r i g i n s a n d m o l e c u l a r p a t h o l o g y o f o v a r i a n c a n c e r . M o d P a t h o l 2 0 0 5 ; 1 8 S u p p l 2 : S 1 9 - 3 2 .

【非特許文献 5 】 S c h w a r t z D R , K a r d i a S L , S h e d d e n K A e t a l . G e n e e x p r e s s i o n i n o v a r i a n c a n c e r r e f l e c t s b o t h m o r p h o l o g y a n d b i o l o g i c a l b e h a v i o r , d i s t i n g u i s h i n g c l e a r c e l l f r o m o t h e r p o o r - p r o g n o s i s o v a r i a n c a r c i n o m a s . C a n c e r R e s 2 0 0 2 ; 6 2 : 4 7 2 2 - 9 .

【非特許文献 6 】 D e C e c c o L , M a r c h i o n n i L , G a r i b o l d i M e t a l . G e n e e x p r e s s i o n p r o f i l i n g o f a d v a n c e d o v a r i a n c a n c e r : c h a r a c t e r i z a t i o n o f a m o l e c u l a r s i g n a t u r e i n v o l v i n g F i b r o b l a s t G r o w t h F a c t o r 2 . O n c o g e n e 2 0 0 4 ; 2 3 : 8 1 7 1 - 8 3 .

【非特許文献 7 】 H e L , H a n n o n G J . M i c r o R N A s : s m a l l R N A s w i t h a b i g r o l e i n g e n e r e g u l a t i o n . N a t u r e R e v G e n e t 2 0 0 4 ; 5 : 5 2 2 - 3 1 .

10

20

30

40

50

【非特許文献8】Miska EA. How microRNAs control cell division, differentiation and death. *Curr Opin Genet Dev* 2005; 5: 563-8.

【非特許文献9】Zamore PD, Haley B. Ribognome: the big world of small RNAs. *Science* 2005; 309: 1519-24.

【非特許文献10】Johnson SM, Grosshans H, Shingara J, et al. RAS is regulated by the let-7 microRNA family. *Cell* 2005; 120: 635-47.

【非特許文献11】Mayr C, Hemann MT, Bartel D. Disrupting the pairing between let-7 and HMGA2 enhances oncogenic transformation. *Science* 2007; 315: 1576-9.

【非特許文献12】Lee YS, Dutta A. The tumor suppressor microRNA let-7 represses the HMGA2 oncogene. *Genes Dev*. 2007; 21: 1025-30.

【非特許文献13】Cimmino A, Calin GA, Fabbrini M et al. miR-15 and miR-16 induce apoptosis by targeting BCL2. *Proc Natl Acad Sci U S A* 2005; 102: 13944-9.

【非特許文献14】O'Donnell KA, Wentzel EA, Zeller KI, Dang CV, Mendell JT. c-Myc-regulated microRNAs modulate E2F1 expression. *Nature* 2005; 435: 839-43.

【非特許文献15】He L, Thomson JM, Hemann MT et al. A microRNA polycistron as a potential human oncogene. *Nature* 2005; 435: 828-33.

【非特許文献16】Voorhoeve PM, Ie Sage C, Schriener M et al. A genetic screen implicates miRNA-372 and miRNA-373 as Oncogenes in Testicular Germ Cell Tumors. *Cell* 2006; 124: 1169-81.

【非特許文献17】Costinean S, Zanesi N, Pekarsky Y et al. Pre-B cell proliferation and lymphoblastic leukemia/high-grade lymphoma in E(mu)-miR155 transgenic mice. *Proc Natl Acad Sci U S A*. 2006; 103: 7024-9.

【非特許文献18】Iorio MV, Ferracin M, Liu CG et al. *Cancer Res*. 2005; 65: 7065-70.

【非特許文献19】Calin GA, Croce CM. MicroRNA signatures in human cancers. *Nat Rev Cancer* 2006; 6: 857-66.

【非特許文献20】Esquela-Kerscher A, Slack FJ. Oncomirs - microRNAs with a role in cancer. *Nat Rev Cancer* 2006; 6: 259-69.

【非特許文献21】Calin GA, Ferracin M, Cimmino A et al. MicroRNA signature associated with prognosis and progression in chronic

lymphocytic leukemia. N Engl J Med 2005; 353: 1793-801.

【非特許文献22】Yanaihara N, Caplen N, Bowman E et al. Unique microRNA molecular profiles in lung cancer diagnosis and prognosis. Cancer Cell 2006; 9: 189-98.

【非特許文献23】Calin GA, Croce CM. MicroRNAs and chromosomal abnormalities in cancer cells. Oncogene 2006; 25: 6202-10.

【非特許文献24】Zhang L, Huang J, Yang N et al. MicroRNAs exhibit high frequency genomic alterations in human cancer. Proc Natl Acad Sci U S A. 2006; 103: 9136-41. 10

【非特許文献25】Saito Y, Liang G, Egger G et al. Specific activation of microRNA-127 with downregulation of the proto-oncogene BCL6 by chromatin-modifying drugs in human cancer cells. Cancer Cell 2006; 9: 435-43.

【非特許文献26】Lujambio A, Ropero S, Ballestar E et al. Genetic unmasking of an epigenetically silenced microRNA in human cancer cells. Cancer Res 2007; 67: 1424-9. 20

【非特許文献27】Brueckner B, Stresmann C, Kuner R et al. The human let-7a-3 locus contains an epigenetically regulated microRNA gene with oncogenic function. Cancer Res 2007; 67: 1419-23.

【発明の概要】

【発明が解決しようとする課題】

30

【0012】

卵巣癌の治療に対する相当な研究にもかかわらず、卵巣癌はいまだに効果的診断および処置が困難であり、患者に見られる死亡率は、疾患の診断、処置および予防の改善が必要であることを示している。

【課題を解決するための手段】

【0013】

本発明は、部分的に、正常な対照細胞と相対的に卵巣癌細胞に特異的に発現したm i R N Aの、卵巣癌特異的シグネチャーに基づく。

したがって、本発明は、対象が卵巣癌を有している、または発病する危険性があるかどうかを診断する方法を包含し、該方法は対象からの試験試料中の少なくとも1つのm i Rのレベルを測定するステップを含み、対照試料中の対応するm i Rのレベルと相対的な試験試料中のm i Rのレベルの変化は、対象が卵巣癌を有している、または発病する危険性があることを示している。 40

【図面の簡単な説明】

【0014】

特許または出願ファイルは、カラーで作成された1つもしくは複数の図面および/または1つもしくは複数の写真を含み得る。カラーの図面(複数を含む)および/または写真(複数を含む)を備える本特許または特許出願公開の複写は、要求に応じて、また必要な料金の支払いをもって米国特許商標庁により提供される。

【図1-1】卵巣癌および正常卵巣組織のクラスタ分析を示す図である。図1Aは、チッ 50

プにスポットされた全ヒトm i R N Aに基づく卵巣癌からの正常組織の分離を示す、階層的クラスタ分析により生成されたツリーである。

【図1-2】卵巣癌および正常卵巣組織のクラスタ分析を示す図である。図1Bは、正常な卵巣に対して腫瘍において最も大幅に下方調整されたマイクロR N Aのいくつかを示す図である。図1Cは、正常な卵巣に対して腫瘍において最も大幅に上方調整された4つのマイクロR N Aを示す図である。

【図2A】m i R - 2 0 0 a、m i R - 1 4 1、m i R - 1 9 9 a、m i R - 1 2 5 b 1、m i R - 1 4 5のプローブによる、ヒト卵巣癌のノーザンプロット分析を示す図である。ヒト卵巣細胞株上のm i R - 1 9 9 a、m i R - 1 2 5 b 1およびm i R - 1 4 5の評価である。5 Sプローブを、異なるレーンの発現レベルの正規化に使用した。

【図2B】正常試料と比較したm i R - 1 4 0の下方調整を検証するためのリアルタイムP C Rを示す図である。

【図3A】正常組織と比較した、異なる卵巣癌組織型（漿液性、類内膜、および明細胞）を特徴付けるマイクロR N Aシグネチャーを示すベン図である（図3A、m i Rの上方調整）。

【図3B】正常組織と比較した、異なる卵巣癌組織型（漿液性、類内膜、および明細胞）を特徴付けるマイクロR N Aシグネチャーを示すベン図である（図3B、下方調整）。

【図4】図4Aは、漿液性および類内膜腫瘍におけるm i R - 2 2 2マイクロアレイデータ発現のt - 試験グラフを示す図である。図4Bは、最も小さい組の試料に対するノーザンプロットによる検証を示す図である。

【図5-1】脱メチル化剤5' - A Z Aによる処置前および処置後の、O V C A R 3細胞株の発現パターンを示す図である。図5Aは、マイクロアレイプロファイリングから得られた、特異的に発現した最も有意なm i Rを報告している表である。図5Bは、階層的クラスタツリーを示す図である。

【図5-2】脱メチル化剤5' - A Z Aによる処置前および処置後の、O V C A R 3細胞株の発現パターンを示す図である。図5Cは、m i R発現レベルのグラフ表示として報告されている、5つの最も有意に誘引されたm i Rの上方調整を検証するリアルタイムP C Rを示す図である（各バーは、3回の技術的な繰り返しの平均から得られた独立した実験である）。

【図5-3】脱メチル化剤5' - A Z Aによる処置前および処置後の、O V C A R 3細胞株の発現パターンを示す図である。図5Dは、E t B rゲル染色で正規化された、処置後のm i R - 2 1の上方調整を示すノーザンプロットを示す図である。

【図6A】図8 - 表1において報告されるm i Rシグネチャーによる、癌であるか正常組織であるかの各試料の確率（0 . 0から1 . 0）のグラフを示したP A M分析を示す図であり、29個のm i Rのより小さい組、つまり4個の上方調整されたm i R（m i R - 2 0 0 a、m i R - 2 0 0 b、m i R - 2 0 0 cおよびm i R - 1 4 1）ならびに25個の下方調整されたm i R（m i R - 1 9 9 a、m i R - 1 4 0、m i R - 1 4 5およびm i R - 1 2 5 b 1が中でも最も有意である）が、89%の分類率で正常試料と腫瘍試料とを区別していることを説明している。

【図6B】図8 - 表1において報告されるm i Rシグネチャーによる、癌であるか正常組織であるかの各試料の確率（0 . 0から1 . 0）のグラフを示したP A M分析を示す図であり、29個のm i Rのより小さい組、つまり4個の上方調整されたm i R（m i R - 2 0 0 a、m i R - 2 0 0 b、m i R - 2 0 0 cおよびm i R - 1 4 1）ならびに25個の下方調整されたm i R（m i R - 1 9 9 a、m i R - 1 4 0、m i R - 1 4 5およびm i R - 1 2 5 b 1が中でも最も有意である）が、89%の分類率で正常試料と腫瘍試料とを区別していることを説明している。

【図7-1】ヒト卵巣癌および2つの正常組織のパネルに対するノーザンプロッティング（図7A）を示す図であり、m i R - 2 1およびm i R - 2 0 3は、C p Gアイランドに関連しており、C p Gアイランドに埋没したm i R - 2 0 3は875 b pの長さであり、m i R - 2 1は成熟配列の2 k b上流のC p Gアイランドで特徴付けられ（図7B）、—

10

20

30

40

50

方m i R - 2 0 5は、その成熟形態の2 K b 上流にわたる領域においていかなるC p Gアイランドも示していない。

【図7-2】ヒト卵巣癌および2つの正常組織のパネルに対するノーザンプロッティング(図7A)を示す図であり、m i R - 2 1およびm i R - 2 0 3は、C p Gアイランドに関連しており、C p Gアイランドに埋没したm i R - 2 0 3は875 b pの長さであり、m i R - 2 1は成熟配列の2 k b 上流のC p Gアイランドで特徴付けられ(図7B)、一方m i R - 2 0 5は、その成熟形態の2 K b 上流にわたる領域においていかなるC p Gアイランドも示していない。

【図7-3】ヒト卵巣癌および2つの正常組織のパネルに対するノーザンプロッティング(図7A)を示す図であり、m i R - 2 1およびm i R - 2 0 3は、C p Gアイランドに関連しており、C p Gアイランドに埋没したm i R - 2 0 3は875 b pの長さであり、m i R - 2 1は成熟配列の2 k b 上流のC p Gアイランドで特徴付けられ(図7B)、一方m i R - 2 0 5は、その成熟形態の2 K b 上流にわたる領域においていかなるC p Gアイランドも示していない。

【図8】図8(表1)腫瘍試料と正常試料との間の特異的に発現したマイクロRNAのPAM分析。SAM分析により発見された39個のm i Rのうち、29個のm i R、つまり4個の上方調整されたm i Rおよび25個の下方調整されたm i Rが、89%の分類率で正常試料および腫瘍試料を分類することができた。上方調整された4個のm i Rは、Zhangら、2005年により行われたゲノム研究で、増幅されることが判明しており、Zhang研究においては、下方調整されたm i R中、25個のうち10個が削除されたことが判明し、4個は不一致で、11個は、いかなる複製損失または増幅をも示さない。

【図9】図9(表2)正常卵巣組織に対し腫瘍試料において特異的に発現したm i Rを示す図である。腫瘍と正常組織の間での特異的に発現したマイクロRNAのSAM分析は、10個のマイクロRNAが上方調整され、29個が下方調整されたことを示している(q-値<1%および倍率変化>3)。上方調整された10個のm i Rのうち6個は、Zhangら、2005年により行われたゲノム研究で、増幅されることが判明しており、4個はいかなる複製損失または増幅をも示さず、Zhang研究においては、下方調整されたm i R中、29個のうち12個は削除されたことが判明し、6個は不一致で、11個はいかなる複製損失または増幅をも示さない。

【図10-1】図10(表3)正常組織と比較した異なる組織学的亜型のSAM分析を示す図である。

【図10-2】図10(表3)正常組織と比較した異なる組織学的亜型のSAM分析を示す図である。

【図10-3】図10(表3)正常組織と比較した異なる組織学的亜型のSAM分析を示す図である。

【図10-4】図10(表3)正常組織と比較した異なる組織学的亜型のSAM分析を示す図である。

【図11】図11(表4)対として比較した異なる組織型の腫瘍のm i RNA発現のSAM分析を示す図である。

【図12】図12(表5)EOC臨床病理学的特徴に関連したマイクロRNAを同定するSAM分析を示す図である。

【図13】図13(表6)我々の分析から得られた最も有意なマイクロRNAの、検証済みの、また重要な予測標的をまとめた表である。

【発明を実施するための形態】

【0015】

具体的な態様において、対象が卵巣癌を有している、または発病する危険性があるかどうかを診断する方法が本明細書で提供され、該方法は、対象からの試験試料中の少なくとも1つのm i Rのレベルを測定するステップを含む。対照試料中の対応するm i Rのレベルと相対的な試験試料中の前記m i Rのレベルの変化は、対象が卵巣癌を有している、または発病する危険性があることを示している。

【0016】

別の具体的な態様において、m i R 発現と卵巣癌との間の相関関係または卵巣癌の素因を特定するステップを含む方法が本明細書で提供され、該方法は、(a)疾患または病状を有する、または有する疑いのある対象から単離されたm i R を標識化するステップと、(b)m i R をm i R アレイにハイブリダイズするステップと、(c)アレイへのm i R ハイブリダイゼーションを決定するステップと、(d)参照と比較して、疾患または病状を表す、試料中に特異的に発現したm i R を特定するステップとを含む。

【0017】

具体的な態様において、特異的に発現したm i R を特定するステップが、前記試料のm i R プロファイルを生成するステップと、m i R プロファイルを評価して、前記試料中のm i R が正常試料と比較して特異的に発現しているかどうかを決定するステップとを含む方法が、本明細書で提供される。ある特定の実施形態において、m i R プロファイルは、表1に示されるm i R のうちの1つもしくは複数から選択される。また、ある特定の実施形態において、m i R プロファイルは、図3Aまたは図3Bに示されるm i R のうちの1つもしくは複数から選択される。

10

【0018】

具体的な態様において、卵巣癌は、明細胞癌、漿液性癌または卵巣類内膜癌のうちの1つもしくは複数の癌である。具体的な態様において、該m i R プロファイルは、表3に示されるm i R のうちの1つもしくは複数から選択され、それにより卵巣癌細胞が正常細胞から区別される。また、ある特定の実施形態において、該m i R プロファイルは、表4に示されるm i R のうちの1つもしくは複数から選択され、それにより卵巣癌細胞が、漿液性、非漿液性類内膜、非類内膜、明細胞、非明細胞、低分化および非低分化のうちの組織型により区別される。

20

【0019】

具体的な実施形態において、該m i R プロファイルは、m i R - 200a、m i R - 200b、m i R - 200c、m i R - 141、m i R - 199a、m i R - 140、m i R - 145およびm i R - 125b 1からなる群から選択される少なくとも1つのm i R を含み、正常試料と比較したm i R N A の1つもしくは複数の発現の差は、卵巣癌を示している。また、ある特定の実施形態において、該m i R プロファイルは、少なくともm i R - 200a、m i R - 200b、m i R - 200c、m i R - 141、m i R - 199a、m i R - 140、m i R - 145およびm i R - 125b 1を含み、正常試料と比較したm i R の1つもしくは複数の発現の差は、卵巣癌を示している。

30

【0020】

具体的な態様において、正常試料と比較したm i R - 200a、m i R - 200b、m i R - 200cもしくはm i R - 141の発現の増加、および/またはm i R - 199a、m i R - 140、m i R - 145もしくはm i R - 125b 1の発現の減少が卵巣癌を示している方法が、本明細書で提供される。

【0021】

具体的な態様において、該m i R プロファイルが、m i R - 200a、m i R - 200b、m i R - 200cおよびm i R - 141からなる群から選択される少なくとも1つのm i R N A を含み、正常試料と比較したm i R N A の1つもしくは複数の発現の差が漿液性卵巣癌を示している方法が、本明細書で提供される。

40

【0022】

具体的な態様において、該m i R プロファイルが、m i R - 205、m i R - 21、m i R - 182、m i R - 200bおよびm i R - 141からなる群から選択される少なくとも1つのm i R N A を含み、正常試料と比較したm i R N A の1つもしくは複数の発現の差は、卵巣類内膜癌を示している方法が、本明細書で提供される。

【0023】

具体的な態様において、漿液性、類内膜、明細胞および/または低分化卵巣癌の卵巣癌組織型の間を区別するステップを含む方法が、本明細書で提供される。ある特定の実施形態

50

において、該m i R プロファイルは、図3 A または図3 B に示されるm i R のうちの1つもしくは複数から選択され、漿液性卵巣癌を示している。ある特定の他の実施形態において、該m i R プロファイルは、図3 A または図3 B に示されるm i R のうちの1つもしくは複数から選択され、卵巣類内膜癌を示している。ある特定の他の実施形態において、該m i R プロファイルは、図3 A または図3 B に示されるm i R のうちの1つもしくは複数から選択され、明細胞卵巣癌を示している。

【0024】

具体的な態様において、卵巣癌細胞の増殖を阻害する方法が本明細書で提供され、該方法は、i) 表3 に示される群から選択される1つもしくは複数のm i R の発現もしくは活性を阻害する1つもしくは複数の薬剤を細胞内に導入するステップと、i i) m i R の1つもしくは複数の標的遺伝子の発現を高める1つもしくは複数の薬剤を細胞内に導入する、もしくは、i) およびi i) の1つもしくは複数の薬剤の組合せを細胞内に導入するステップと、該1つもしくは複数の薬剤が、m i R の発現または活性を阻害する、m i R の1つもしくは複数の標的遺伝子の発現もしくは活性を高める、またはそれらの組合せをもたらす条件下で細胞を維持し、それにより卵巣癌細胞の増殖を阻害するステップとを含む。具体的な実施形態において、該細胞は、ヒト細胞である。

【0025】

具体的な態様において、m i R - 2 0 0 a、m i R - 2 0 0 b、m i R - 2 0 0 c およびm i R - 1 4 1 の発現は、上方制御され、共通推定標的として、卵巣癌において下方調整される腫瘍抑制因子B A P 1、B R C A 1 関連タンパク質を有する方法が本明細書で提供される。

【0026】

具体的な態様において、正常組織と比較して、卵巣癌細胞におけるm i R - 2 1、m i R - 2 0 3、m i R - 1 4 6、m i R - 2 0 5、m i R - 3 0 - 5 p およびm i R - 3 0 c のうちの1つもしくは複数のレベルを調節するための方法が本明細書で提供され、該方法は、有効量の脱メチル化剤を投与するステップを含む。具体的な実施形態において、該レベルは、5 - アザ - 2 ' - デオキシシチジン脱メチル化処置後に増加する。

【0027】

具体的な態様において、m i R - 2 1、m i R - 2 0 3、m i R - 1 4 6、m i R - 2 0 5、m i R - 3 0 - 5 p およびm i R - 3 0 c のうちの1つもしくは複数の発現を変化させるための方法が本明細書で提供され、該方法は、それらの過剰発現を担うD N A 低メチル化機構を制御するステップを含む。

【0028】

該少なくとも1つのm i R は、当業者に周知の様々な技術を使用して測定することができる。一実施形態において、該少なくとも1つのm i R のレベルは、ノーザンプロット分析を使用して測定される。別の実施形態において、試験試料中の該少なくとも1つのm i R のレベルは、対照試料中の対応するm i R のレベルより低い。また、別の実施形態において、試験試料中の該少なくとも1つのm i R のレベルは、対照試料中の対応するm i R のレベルより高くなり得る。

【0029】

また、本発明は、対象の1つもしくは複数の予後診断マーカーに関連した癌を診断する方法を提供し、該方法は、対象からの癌試料中の少なくとも1つのm i R のレベルを測定するステップを含み、対照試料中の対応するm i R のレベルと相対的な試験試料中の該少なくとも1つのm i R のレベルの変化は、対象が1つもしくは複数の予後診断マーカーに関連した癌を有していることを示している。一実施形態において、該少なくとも1つのm i R のレベルは、対象から得られた試験試料からR N A を逆転写して、1組の標的オリゴデオキシヌクレオチドを提供し、該標的オリゴデオキシヌクレオチドを、m i R 特異的プローブオリゴヌクレオチドを含むマイクロアレイにハイブリダイズさせて、試験試料のハイブリダイゼーションプロファイルを提供し、試験試料のハイブリダイゼーションプロファイルを、対照試料から生成したハイブリダイゼーションプロファイルと比較することによ

10

20

30

40

50

り測定される。少なくとも 1 つの m i R の信号の変化は、対象がそのような癌を有している、または発病する危険性があることを示している。

【 0 0 3 0 】

また、本発明は、対象の癌を処置する方法を包含し、対照試料から生成された信号に相対的な少なくとも 1 つの m i R の信号が、脱制御（例えば下方制御、上方制御）される。

【 0 0 3 1 】

また、本発明は、対象から得られた試験試料から R N A を逆転写して、1 組の標的オリゴデオキシヌクレオチドを提供し、該標的オリゴデオキシヌクレオチドを、m i R 特異的のプローブオリゴヌクレオチドを含むマイクロアレイにハイブリダイズさせて、試験試料のハイブリダイゼーションプロファイルを提供し、試験試料のハイブリダイゼーションプロファイルを、対照試料から生成されたハイブリダイゼーションプロファイルと比較することにより、対象が、対象内の 1 つもしくは複数の有害予後診断マーカーに関連した癌を有している、または発病する危険性があるかどうかを診断する方法を包含する。信号の変化は、対象が癌を有している、または発病する危険性があることを示している。

10

【 0 0 3 2 】

また、本発明は、対照細胞と相対的に対象の癌細胞の少なくとも 1 つの m i R が下方制御または上方制御されている、癌を有する対象の癌を治療する方法を包含する。該少なくとも 1 つの m i R が癌細胞内で下方制御されている場合、該方法は、対象の癌細胞の増殖が阻害されるように、有効量の少なくとも 1 つの単離 m i R を対象に投与するステップを含む。該少なくとも 1 つの m i R が癌細胞内で上方制御されている場合、該方法は、対象の癌細胞の増殖が阻害されるように、有効量の前記少なくとも 1 つの m i R の発現を阻害するための少なくとも 1 つの化合物を対象に投与するステップを含む。

20

【 0 0 3 3 】

関連した実施形態において、本発明は、対象の癌を治療する方法を提供し、該方法は、対照細胞と相対的に、癌細胞内の少なくとも 1 つの m i R の量を決定するステップと、癌細胞内の発現した m i R の量を、癌細胞内の発現した m i R の量が対照細胞内の発現した m i R の量よりも少ない場合、有効量の少なくとも 1 つの単離 m i R を対象に投与すること、または、癌細胞内の発現した m i R の量が対照細胞内の発現した m i R の量よりも多い場合、対象の癌細胞の増殖が阻害されるように、有効量の該少なくとも 1 つの m i R の発現を阻害するための少なくとも 1 つの化合物を対象に投与することにより、変化させるステップと、を含む。

30

【 0 0 3 4 】

本発明は、さらに、少なくとも 1 つの単離 m i R および薬学的に許容される担体を含む、癌を治療するための薬学的組成物を提供する。薬学的組成物の具体的な実施形態において、少なくとも 1 つの単離 m i R は、好適な対照細胞と相対的に癌細胞において下方制御されている m i R に対応する。

【 0 0 3 5 】

別の具体的な実施形態において、薬学的組成物は、少なくとも 1 つの m i R 発現阻害剤化合物および薬学的に許容される担体を含む。また、具体的な実施形態において、薬学的組成物は、好適な対照細胞と相対的に癌細胞において下方制御および / または上方制御されている m i R に特異的な、少なくとも 1 つの m i R 発現阻害剤化合物を含む。

40

【 0 0 3 6 】

一実施形態において、本発明は、抗癌剤を同定する方法を提供し、該方法は、試験薬剤を細胞に提供するステップと、癌細胞における減少した発現レベルに関連する少なくとも 1 つの m i R のレベルを測定するステップとを含み、好適な対照細胞と相対的な該細胞における m i R のレベルの増加は、試験薬剤が抗癌剤であることを示している。

【 0 0 3 7 】

また、本発明は、抗癌剤を同定する方法を提供し、該方法は、試験薬剤を細胞に提供するステップと、癌細胞における増加した発現レベルに関連する少なくとも 1 つの m i R のレベルを測定するステップとを含み、好適な対照細胞と相対的な該細胞における m i R のレ

50

ベルの減少は、試験薬剤が抗癌剤であることを示している。

【0038】

具体的な実施形態において、少なくとも1つのm i Rは、表3に示される群から選択される。具体的な実施形態において、該m i Rは、m i R - 2 0 0 a、m i R - 1 4 1、m i R - 2 0 0 c、およびm i R - 2 0 0 b、m i R - 1 9 9 a、m i R - 1 4 0、m i R - 1 4 5、およびm i R - 1 2 5 b 1からなる群から選択される。

【0039】

具体的な態様において、m i R N Aの同定もまた本明細書で提供され、その発現は、組織型、リンパ管および器官浸潤、ならびに卵巣表面の関与等の、特定の卵巣癌の生物病理学的特徴と相關する。

10

【0040】

別の具体的な態様において、正常組織と比較して卵巣癌において上方調節されたm i R - 2 1、m i R - 2 0 3、およびm i R - 2 0 5のレベルは、O V C A R 3細胞の5'-アザ-2'-デオキシシチジン脱メチル化処置の後に大幅に増加したことが本明細書で開示される。

【0041】

また、別の具体的な態様において、過剰発現を担うD N A低メチル化機構を制御することにより、これらのm i Rの発現を変化させるための方法が開示される。

【0042】

添付の図面に照らして読めば、以下の好ましい実施形態の詳細な説明から、本発明の様々な目的および利点が当業者に明らかとなる。

20

図面の簡単な説明

【0043】

特許または出願ファイルは、カラーで作成された1つもしくは複数の図面および/または1つもしくは複数の写真を含み得る。カラーの図面(複数を含む)および/または写真(複数を含む)を備える本特許または特許出願公開の複写は、要求に応じて、また必要な料金の支払いをもって米国特許商標庁により提供される。

【0044】

図1A-1C:卵巣癌および正常卵巣組織のクラスタ分析を示す図である。

30

【0045】

図1A:チップにスポットされた全ヒトm i R N Aに基づく卵巣癌からの正常組織の分離を示す、階層的クラスタ分析により生成されたツリーである。

【0046】

図1B:正常な卵巣に対して腫瘍において最も大幅に下方調整されたマイクロR N Aのいくつかを示す図である。

【0047】

図1C:正常な卵巣に対して腫瘍において最も大幅に上方調整された4つのマイクロR N Aを示す図である。

【0048】

図2A:m i R - 2 0 0 a、m i R - 1 4 1、m i R - 1 9 9 a、m i R - 1 2 5 b 1、m i R - 1 4 5のプローブによる、ヒト卵巣癌のノーザンプロット分析を示す図である。ヒト卵巣細胞株上のm i R - 1 9 9 a、m i R - 1 2 5 b 1およびm i R - 1 4 5の評価である。5 Sプローブを、異なるレーンの発現レベルの正規化に使用した。

40

【0049】

図2B:正常試料と比較したm i R - 1 4 0の下方調整を検証するためのリアルタイムP C Rを示す図である。

【0050】

図3Aおよび3B:正常組織と比較した、異なる卵巣癌組織型(漿液性、類内膜、および明細胞)を特徴付けるマイクロR N Aシグネチャーを示すベン図である(図3A、m i Rの上方調整;図3B、下方調整)。

50

【0051】

図4A：漿液性および類内膜腫瘍におけるm i R - 222マイクロアレイデータ発現のt - 試験グラフを示す図である。

【0052】

図4B：最も小さい組の試料に対するノーザンプロットによる検証を示す図である。

【0053】

図5A - 5D：脱メチル化剤5'-AZAによる処置前および処置後の、OVCAR3細胞株の発現パターンを示す図である。

【0054】

図5A：マイクロアレイプロファイリングから得られた、特異的に発現した最も有意なm i Rを報告している表である。 10

【0055】

図5B：階層的クラスタツリーを示す図である。

【0056】

図5C：m i R発現レベルのグラフ表示として報告されている、5つの最も有意に誘引されたm i Rの上方調整を検証するリアルタイムPCRを示す図である（各バーは、3回の技術的な繰り返しの平均から得られた独立した実験である）。

【0057】

図5D：EtBrゲル染色で正規化された、処置後のm i R - 21の上方調整を示すノーザンプロットを示す図である。 20

【0058】

図6Aおよび6B：図8 - 表1において報告されるm i Rシグネチャーによる、癌であるか正常組織であるかの各試料の確率（0.0から1.0）のグラフを示したPAM分析を示す図であり、29個のm i Rのより小さい組、つまり4個の上方調整されたm i R（m i R - 200a、m i R - 200b、m i R - 200cおよびm i R - 141）ならびに25個の下方調整されたm i R（m i R - 199a、m i R - 140、m i R - 145およびm i R - 125b 1が中でも最も有意である）が、89%の分類率で正常試料と腫瘍試料とを区別していることを説明している。

【0059】

図7Aおよび7B：ヒト卵巣癌および2つの正常組織のパネルに対するノーザンプロッティング（図7A）を示す図であり、m i R - 21およびm i R - 203は、CpGアイランドに関連しており、CpGアイランドに埋没したm i R - 203は875bpの長さであり、m i R - 21は成熟配列の2kb上流のCpGアイランドで特徴付けられ（図7B）、一方m i R - 205は、その成熟形態の2Kb上流にわたる領域においていかなるCpGアイランドも示していない。 30

【0060】

図8：表1.腫瘍試料と正常試料との間の特異的に発現したマイクロRNAのPAM分析。SAM分析により発見された39個のm i Rのうち、29個のm i R、つまり4個の上方調整されたm i Rおよび25個の下方調整されたm i Rが、89%の分類率で正常試料および腫瘍試料を分類することができた。上方調整された4個のm i Rは、Zhangら、2005年により行われたゲノム研究で、増幅されることが判明しており、Zhang研究においては、下方調整されたm i R中、25個のうち10個が削除されたことが判明し、4個は不一致で、11個は、いかなる複製損失または増幅をも示さない。 40

【0061】

図9 - 表2：正常卵巣組織に対し腫瘍試料において特異的に発現したm i Rを示す図である。腫瘍と正常組織の間での特異的に発現したマイクロRNAのSAM分析は、10個のマイクロRNAが上方調整され、29個が下方調整されたことを示している（q - 値 < 1 %および倍率変化 > 3）。上方調整された10個のm i Rのうち6個は、Zhangら、2005年により行われたゲノム研究で、増幅されることが判明しており、4個はいかなる複製損失または増幅をも示さず、Zhang研究においては、下方調整されたm i R中 50

、29個のうち12個は削除されたことが判明し、6個は不一致で、11個はいかなる複製損失または増幅をも示さない。

【0062】

図10-表3：正常組織と比較した異なる組織学的亜型のS A M分析を示す図である。

【0063】

図11-表4：対として比較した異なる組織型の腫瘍のm i R N A 発現のS A M分析を示す図である。

【0064】

図12-表5：E O C 臨床病理学的特徴に関連したマイクロR N A を同定するS A M分析を示す図である。

10

【0065】

図13-表6：我々の分析から得られた最も有意なマイクロR N A の、検証済みの、また重要な予測標的をまとめた表である。

好みしい実施形態の詳細な説明

【0066】

本発明は、m i R N A の調製および特性決定に関する組成物および方法、ならびに治療、予後診断、および診断用途へのm i R N A の使用を目的とする。

【0067】

本明細書において交換可能に使用される、「m i R」、「マイクロR N A」、「m i R」、または「m i R N A」は、m i R 遺伝子からの未プロセシングまたはプロセシング後のR N A 転写物を指す。m i R はタンパク質に翻訳されないため、「m i R」という用語はタンパク質を含まない。プロセシングされなかったm i R 遺伝子転写物は、「m i R 前駆体」とも呼ばれ、典型的には約70～100ヌクレオチドの長さのR N A 転写物を含む。m i R 前駆体はまた、R N A s e (例えは、Dicer、Argonaut、またはR N A s e I I (例えはE . c o l i R N A s e I I I 等)) による消化により、活性な19～25ヌクレオチドR N A 分子にプロセシングされ得る。この活性な19～25ヌクレオチドR N A 分子はまた、「プロセシング済」m i R 遺伝子転写物または「成熟」m i R N A とも呼ばれる。本明細書において使用される「m i R」という用語は、成熟m i R、p r e - m i R、p r i - m i R、またはm i R 種配列を含む、m i R - オリゴヌクレオチドの1つもしくは複数を含み得ることを理解されたい。ある特定の実施形態において、様々なm i R 核酸の混合物もまた使用することができる。また、ある特定の実施形態において、該m i R は、送達を高めるように修飾され得る。

20

【0068】

m i R N A (m i R) 情報は、h t t p : / m i c r o r n a . s a n g e r . a c . u k / s e q u e n c e s / でm i R N A のレジストリを維持しているS a n g e r I n s t i t u t e から入手可能である。m i R B a s e S e q u e n c e データベースは、ヌクレオチド配列および様々な源から発行されたm i R N A の注釈を含む。m i R B a s e R e g i s t r y は、発行前に、新規m i R N A の従来の命名法に適合する、新規なm i R N A 遺伝子に対する一意の名称を提供する。また、m i R B a s e T a r g e t s は、動物における前提となるm i R N A 標的の源である。

30

【0069】

活性な19～25ヌクレオチドR N A 分子は、(例えは、無傷細胞または細胞溶解物を使用して) 自然プロセシング経路を介して、または、(例えは、単離D i c e r、A r g o n a u t、もしくはR N A a s e I I I 等の単離プロセシング酵素を使用して) 合成プロセシング経路によりm i R 前駆体から得ることができる。活性な19～25ヌクレオチドR N A 分子はまた、m i R 前駆体からプロセシングされることなく、生物学的または化学的合成により直接生成することができることを理解されたい。

40

【0070】

本発明は、対象が癌を有している、または発病する危険性があるかどうかを診断する方法を包含し、該方法は対象からの試験試料中の少なくとも1つのm i R のレベルを測定する

50

ステップと、試験試料中のm i Rのレベルを、対照試料中の対応するm i Rのレベルと比較するステップとを含む。本明細書において使用される「対象」は、乳癌を有する、または有する疑いのある任意の哺乳動物であり得る。具体的な実施形態において、該対象は、癌を有する、または有する疑いのあるヒトである。

【0071】

少なくとも1つのm i Rのレベルは、対象から得られる生物学的試料の細胞において測定することができる。例えば、従来の生検技術により、関連した卵巣癌を有する疑いのある対象から、組織試料を取り出すことができる。別の実施例において、対象から血液試料を取り出すことができ、標準的技術により、D N A抽出のために白血球を単離することができる。血液または組織試料は、放射線治療、化学治療またはその他の治療処置の前に対象から得ることが好ましい。対応する対照組織または血液試料は、対照の非罹患組織から、正常なヒト個人もしくは正常個人の集団から、または対象の試料中の大多数の細胞に対応する培養細胞から得ることができる。次いで、対象の試料からの細胞中の所与のm i R遺伝子から生成されたm i Rのレベルを対照試料の細胞からの対応するm i Rレベルと比較することができるよう、対照組織または血液試料を対象からの試料とともに処理することができる。

【0072】

対照試料中の対応するm i Rのレベルと相対的な、対象から得られた試料中のm i Rのレベルの変化（すなわち増加または減少）は、対象の癌の存在を示している。一実施形態において、試験試料中の該少なくとも1つのm i Rのレベルは、対照試料中の対応するm i Rのレベルより高い（すなわち、m i Rの発現が「上方制御」されている）。本明細書において使用されるように、対象からの細胞試料または組織試料中のm i Rの量が対照細胞または対照組織試料中のm i Rの量よりも多い場合、m i Rの発現は「上方制御」されている。別の実施形態において、試験試料中の少なくとも1つのm i Rのレベルは、対照試料中の対応するm i Rのレベルより低い（すなわち、m i Rの発現が「下方制御」されている）。本明細書において使用されるように、対象からの細胞または組織試料中の遺伝子から生成されたm i Rの量が対照細胞または組織試料中の同じ遺伝子から生成された量よりも少ない場合、m i R遺伝子の発現は「下方制御」されている。対照および正常試料中の相対的m i R遺伝子発現は、1つもしくは複数のR N A発現標準に対して決定することができる。該標準は、例えば、ゼロm i R遺伝子発現レベル、標準細胞株中のm i R遺伝子発現レベル、または正常ヒト対照の集団に対して事前に得られているm i R遺伝子発現の平均レベルを含み得る。

【0073】

試料中のm i Rのレベルは、生物学的試料のR N A発現レベルを検出するための好適な任意の技術を使用して測定することができる。生物学的試料からの細胞中のR N A発現レベルを決定するための好適な技術（例えば、ノーザンプロット分析、R T - P C R、i n s i t uハイブリダイゼーション等）は、当業者には周知である。具体的な実施形態において、少なくとも1つのm i Rのレベルは、ノーザンプロット分析を使用して検出される。例えば、全細胞R N Aは、核酸抽出緩衝液の存在下での均質化、次いで遠心分離により細胞から精製することができる。核酸は沈殿し、D N a s eでの処理および沈降法によりD N Aが除去される。次いで、R N A分子は、標準的技法に従いアガロースゲル上でのゲル電気泳動により分離され、ニトロセルロースフィルタに移される。次いでR N Aは、加熱によりフィルタ上に固定される。特定のR N Aの検出および定量化は、問題のR N Aと相補的な、適切に標識化されたD N AまたはR N Aプローブを使用して達成される。例えば、参照することによりその全開示内容が組み込まれる、M o l e c u l a r C l o n i n g : A Laboratory Manual, J. S a m b r o o k et al., eds., 2nd edition, C o l d S p r i n g H a r b o r Laboratory Press, 1989, Chapter 7を参照されたい。

【0074】

10

20

30

40

50

所与のmiRのノーザンプロットハイブリダイゼーションに好適なプローブは、所与のmiRの核酸配列から生成することができる。標識化DNAおよびRNAプローブの調整、ならびにそれらの標的ヌクレオチド配列へのハイブリダイゼーションの条件は、参照によりその開示内容が本明細書に組み込まれる、Molecular Cloning: A Laboratory Manual, J. Sambrook et al., eds., 2nd edition, Cold Spring Harbor Laboratory Press, 1989, Chapters 10 and 11に記載されている。

【0075】

例として、核酸プローブは、例えば³H、³²P、³³P、¹⁴C、もしくは³⁵S等の放射性核種、重金属、または、標識化されたリガンド（例えば、ビオチン、アビジンまたは抗体）、蛍光分子、化学発光分子、酵素等に対する特定の結合対メンバーとして機能することができるリガンドで標識化することができる。

【0076】

プローブは、参照することによりその全開示内容が本明細書に組み込まれる、Rigby et al. (1977), J. Mol. Biol. 113: 237-251のニックトランスレーション法により、またはFienberg et al. (1983), Anal. Biochem. 132: 6-13のランダムプライミング法により、高い比活性度まで標識化することができる。後者は、一本鎖DNAまたはRNA鑄型からの高い比活性度の³²P標識化プローブの合成に最適な方法である。例えば、ニックトランスレーション法によって、事前に存在するヌクレオチドを高放射性ヌクレオチドと置き換えることにより、10⁸ cpm/マイクログラムを優に超える比活性度を有する³²P標識化核酸を調製することができる。

次いで、ハイブリダイズしたフィルターを写真用フィルムに露光することにより、ハイブリダイゼーションのオートラジオグラフィー検出を行うことができる。ハイブリダイズされたフィルタで露光された写真用フィルムのデンシトメトリックスキャンにより、miR遺伝子転写レベルの正確な測定を行うことができる。別の手法を用いて、コンピュータ画像化システム、例えばAmersham Biosciences社(Piscataway, NJ)から入手可能なMolecular Dynamics 400-B2D Phosphor imagerにより、miR遺伝子レベルを定量化することができる。

【0077】

DNAまたはRNAプローブの放射性核種標識化が実用的でない場合、ランダムプライマー法を使用して、類似体、例えばdTTP類似体5-(N-(N-ビオチニル-アミノカプロイル)-3-アミノアリル)デオキシリジン三リン酸を、プローブ分子に組み込むことができる。ビオチニル化プローブオリゴヌクレオチドは、蛍光染料または呈色反応を生成する酵素に結合したアビジン、ストレプトアビジン、および抗体（例えば抗ビオチン抗体）等のビオチン結合タンパク質との反応により検出することができる。

【0078】

ノーザン法およびその他のRNAハイブリダイゼーション技術に加えて、in situハイブリダイゼーションの技術を使用してRNA転写のレベルの決定を達成することができる。この技術は、ノーザンプロッティング技術よりも必要とする細胞が少なく、顕微鏡カバースリップ上に全細胞を堆積させること、および放射性またはその他の標識化された核酸（例えばcDNAまたはRNA）プローブを含有する溶液で、細胞の核酸成分をプローブすることを含む。この技術は、対象からの組織生検試料の分析に特に適している。in situハイブリダイゼーション技術の実践は、参照によりその全開示内容が本明細書に組み込まれる米国特許第5,427,916号により詳細に記載されている。所与のmiRのin situハイブリダイゼーションに好適なプローブは、核酸配列から生成することができる。

【0079】

10

20

30

40

50

また、m i R 遺伝子転写物の逆転写、次いでポリメラーゼ連鎖反応 (R T - P C R) による逆転写された転写物の増幅により、細胞中のm i R 遺伝子転写物の相対数を決定することができる。m i R 遺伝子転写物のレベルは、内標準物質、例えば同じ試料に存在する「ハウスキーピング」遺伝子からのm R N Aのレベルと比較して定量化することができる。内標準物質としての使用に好適な「ハウスキーピング」遺伝子は、例えば、ミオシンまたはグリセルアルデヒド-3-リン酸デヒドロゲナーゼ (G 3 P D H) を含む。定量的R T - P C R のための諸方法およびそれらの変化形は、当技術分野の範囲内である。

【 0 0 8 0 】

いくつかの場合において、試料中の複数の異なるm i R の発現レベルを同時に決定することができる望ましい場合がある。別の場合において、癌と相關するすべての既知のm i R 遺伝子の転写物の発現レベルを決定することができる望ましい場合がある。何百ものm i R 遺伝子の癌特異的発現レベルを評価することは、時間がかかり、また大量の全R N A (各ノーザンプロットに対し少なくとも20 μg)、および放射性同位体が必要なオートラジオグラフィー技術を必要とする。

10

【 0 0 8 1 】

これらの制限を克服するために、1組のm i R 遺伝子に特異的な1組のプローブオリゴデオキシヌクレオチドを含有するマイクロチップ形式 (すなわちマイクロアレイ) のオリゴライブラリを構築することができる。そのようなマイクロアレイを使用して、R N Aを逆転写して1組の標的オリゴデオキシヌクレオチドを生成し、それらをマイクロアレイ上のプローブオリゴデオキシヌクレオチドにハイブリダイズさせてハイブリダイゼーションまたは発現プロファイルを生成することにより、生物学的試料中の複数のマイクロR N Aの発現レベルを決定することができる。次いで、試験試料のハイブリダイゼーションプロファイルを対照試料のハイブリダイゼーションプロファイルと比較して、どのマイクロR N Aが癌における変化した発現レベルを有するかを決定することができる。

20

【 0 0 8 2 】

本明細書で使用される場合、「プローブオリゴヌクレオチド」または「プローブオリゴデオキシヌクレオチド」は、標的オリゴヌクレオチドにハイブリダイズすることができるオリゴヌクレオチドを指す。

【 0 0 8 3 】

「標的オリゴヌクレオチド」または「標的オリゴデオキシヌクレオチド」は、(例えばハイブリダイゼーションにより) 検出されるべき分子を指す。

30

【 0 0 8 4 】

「m i R 特異的プローブオリゴヌクレオチド」または「m i R に特異的なプローブオリゴヌクレオチド」は、特定のm i R にハイブリダイズする、または特定のm i R の逆転写物にハイブリダイズするように選択される配列を有するプローブオリゴヌクレオチドを意味する。

【 0 0 8 5 】

特定の試料の「発現プロファイル」または「ハイブリダイゼーションプロファイル」は、本質的に試料の状態のフィンガープリントであり、2つの状態が同様に発現した任意の特定遺伝子を有し得るが、いくつかの遺伝子の評価は、同時に、細胞の状態に一意の遺伝子発現プロファイルの生成を可能とする。すなわち、正常細胞を癌細胞から区別することができる、癌細胞内で、異なる予後状態 (良好または不良な長期的生存の見通し) を決定することができる。異なる状態の癌細胞の発現プロファイルを比較することにより、これらの状態のそれぞれにおいてどの遺伝子が重要か (遺伝子の上方および下方制御の両方を含む) に関する情報が得られる。

40

【 0 0 8 6 】

異なる予後結果となる差次的発現と同様に、癌細胞または正常細胞中に特異的に発現した配列の同定により、この情報をさまざまな様式で使用することができる。例として、(例えば化学療法薬が特定の患者において長期予後を改善するように作用するかどうかを決定するために) 特定の治療計画を評価することができる。

50

同様に、患者試料を既知の発現プロファイルと比較することにより、診断を行う、または確認することができる。さらに、これらの遺伝子発現プロファイル（または個々の遺伝子）により、癌発現プロファイルを抑制する、または不良予後プロファイルをより良好な予後プロファイルに変換する薬剤候補をスクリーニングすることができる。

【0087】

したがって、本発明は、対象が癌を有している、または発病する危険性があるかどうかを診断する方法を提供し、該方法は、対象から得られた試験試料からのmRNAを逆転写して、1組の標的オリゴデオキシヌクレオチドを提供するステップと、該標的オリゴデオキシヌクレオチドを、mRNA特異的プローブオリゴヌクレオチドを含むマイクロアレイにハイブリダイズさせて、試験試料のハイブリダイゼーションプロファイルを提供するステップと、該試験試料のハイブリダイゼーションプロファイルを、対照試料から生成されたハイブリダイゼーションプロファイルと比較するステップとを含み、少なくとも1つのmRNAの信号の変化は、対象が癌を有している、または発病する危険性があることを示している。

【0088】

一実施形態において、該マイクロアレイは、ヒトmRNAomeの実質的部分に対するmRNA特異的プローブオリゴヌクレオチドを含む。

【0089】

該マイクロアレイは、既知のmRNA配列から生成された遺伝子特異的オリゴヌクレオチドプローブから調製することができる。該アレイは、各mRNAに対し、1つは活性な成熟配列を含有し、他方はmRNAの前駆体に特異的である、2つの異なるオリゴヌクレオチドプローブを含有してもよく、該アレイはまた、ハイブリダイゼーションの厳密性条件のための対照として機能し得る対照、例えばヒト相同分子種と数塩基分しか違わない1つもしくは複数のマウス配列を含有してもよい。また、両方の種からのtRNAをマイクロチップ上にプリントし、特定のハイブリダイゼーションの、内部の比較的安定な陽性対照を提供することができる。また、非特異的ハイブリダイゼーションの1つもしくは複数の適切な対照をマイクロチップ上に含めてもよい。この目的のために、配列は、任意の既知のmRNAとのいかなるホモロジーも存在しないことを基準として選択される。

【0090】

該マイクロアレイは、当技術分野で知られた技術を使用して製造することができる。例として、適切な長さ、例えば40ヌクレオチドのプローブオリゴヌクレオチドは、C6位で5'-アミン改質され、市販のマイクロアレイシステム、例えばGeneMachine OmniGrid（商標）100 MicroarrayerおよびAmersham CodeLink（商標）活性化スライド等を使用してプリントされる。標的RNAに対応する標識化cDNAオリゴマーは、標的RNAを標識化プライマーで逆転写することにより調製される。第1の鎖合成の後、RNA/DNAハイブリッドは、変性してRNA錆型を分解する。次いで、このように調製された標識化標的cDNAは、例えば6XSSPE/30%ホルムアミドで25℃で18時間、次いで0.75X TNT中37℃で40分洗浄等のハイブリダイズ条件下で、マイクロアレイチップにハイブリダイズされる。固定されたプローブDNAが試料中の相補的標的cDNAを認識するアレイ上の部分で、ハイブリダイゼーションが生じる。標識化標的cDNAは、アレイ上の結合が生じる正確な位置をマークし、自動検出および定量化を可能とする。出力は、ハイブリダイゼーションイベントのリストからなり、特定のcDNA配列の相対存在量を示し、したがって患者試料中の対応する相補的mRNAの相対存在量を示す。一実施形態によれば、該標識化cDNAオリゴマーは、ビオチン標識化プライマーから調製されたビオチン標識化cDNAである。次いで、該マイクロアレイは、例えばStreptavidin-Alexa647複合体を使用したビオチン含有転写物の直接検出により処理され、従来のスキャン方法を利用してスキャンされる。該アレイ上の各スポットの画像強度は、患者試料中の対応するmRNAの存在量に比例する。

【0091】

10

20

40

50

該アレイの使用は、m i R N A 発現検出にとっていくつかの利点を有する。第1に、1時点で同じ試料から数百遺伝子の広範囲の発現を同定することができる。第2に、オリゴヌクレオチドの慎重な設計により、成熟分子および前駆体分子の両方の発現を同定することができる。第3に、ノーザンプロット分析と比較して、チップは少量のR N A を必要とし、2.5 μ g の全R N A を使用して再現可能な結果を提供する。比較的限られた数のm i R N A (種毎に数百個)により、それぞれの種に対し異なるオリゴヌクレオチドプローブを備える、いくつかの種に共通のマイクロアレイの構築が可能となる。そのようなツールは、様々な条件下での、それぞれの既知のm i R に対する種を超えた発現の分析を可能とする。

【0092】

10

特定のm i R の定量的発現レベル検定の使用に加え、m i R N o m e の実質的部分に対応する、好ましくはm i R N o m e 全体に対応するm i R N A 特異的プローブオリゴヌクレオチドを含有するマイクロチップを使用して、m i R 発現パターンの分析のために、m i R 遺伝子発現プロファイリングを行うことができる。異なるm i R シグネチャーは、確立された疾患マーカーと関連付けることができ、または直接疾患状態に関連付けることができる。

【0093】

20

本明細書に記載される発現プロファイリング法によれば、癌を有する疑いのある対象の試料からの全R N A は、定量的に逆転写されて、試料中のR N A に相補的な1組の標識化標的オリゴデオキシヌクレオチドを提供する。次いで、標的オリゴデオキシヌクレオチドは、m i R N A 特異的プローブオリゴヌクレオチドを含むマイクロアレイにハイブリダイズされ、試料のハイブリダイゼーションプロファイルを提供する。その結果、試料中のm i R N A の発現パターンを表す、試料のハイブリダイゼーションプロファイルが得られる。該ハイブリダイゼーションプロファイルは、試料からの標的オリゴデオキシヌクレオチドの、マイクロアレイ中のm i R N A 特異的プローブオリゴヌクレオチドに対する結合からの信号を含む。該プロファイルは、結合の存在または不在(信号対ゼロ信号)として記録され得る。より好適には、記録されるプロファイルは、各ハイブリダイゼーションからの信号の強度を含む。該プロファイルは、正常、すなわち非癌性の対照試料から生成されたハイブリダイゼーションプロファイルと比較される。信号の変化は、対象における癌の存在を示している。

30

【0094】

m i R 遺伝子発現を測定するためのその他の技術もまた、当技術分野の範囲内であり、R N A 転写および分解の割合を測定するための様々な技術が含まれる。

【0095】

本発明はまた、1つもしくは複数の予後診断マーカーに関連した癌を診断する方法を提供し、該方法は、対象からの癌試験試料中の少なくとも1つのm i R のレベルを測定するステップと、癌試験試料中の該少なくとも1つのm i R のレベルを、対照試料中の対応するm i R のレベルと比較するステップとを含む。対照試料と相対的な試験試料中の少なくとも1つのm i R N A の信号の変化(例えば、増加、減少等)は、対象が1つもしくは複数の予後診断マーカーに関連した癌を有している、または発病する危険性があることを示している。

40

【0096】

該癌は、悪い(すなわち不良な)予後に関連したマーカー、または良い(すなわち良好な)予後に関連したマーカーを含む、1つもしくは複数の予後診断マーカーまたは特性と関連し得る。ある特定の実施形態において、本明細書に記載される方法を使用して診断される癌は、1つもしくは複数の悪い予後特性と関連する。

【0097】

これらの予後診断マーカーのそれぞれと関連した癌細胞において発現が変化した特定のマイクロR N A が、本明細書に記載される。一実施形態において、該少なくとも1つのm i R のレベルは、対象から得られた試験試料からのR N A を逆転写して、1組の標的オリゴ

50

デオキシヌクレオチドを提供し、標的オリゴデオキシヌクレオチドを、m i R N A 特異的プローブオリゴヌクレオチドを含むマイクロアレイにハイブリダイズさせて、試験試料のハイブリダイゼーションプロファイルを提供し、試験試料のハイブリダイゼーションプロファイルを、対照試料から生成されたハイブリダイゼーションプロファイルと比較することにより測定される。

【0098】

いかなる一理論にも束縛されることを望まないが、細胞内の 1 つもしくは複数の m i R のレベルの変化が、これらの m i R の 1 つもしくは複数の意図される標的の脱制御をもたらす可能性があり、よって癌の形成へつながり得ると考えられる。

【0099】

したがって、(例えは、C L L 細胞において上方制御された m i R のレベルを低下させることにより、または癌細胞において下方制御された m i R のレベルを増加させることにより) m i R のレベルを変化させることは、癌の治療を成功させる可能性がある。癌細胞において脱制御される m i R N A の推定遺伝子の標的の例が、本明細書に記載される。

【0100】

したがって、本発明は、対象における癌を治療する方法を包含し、少なくとも 1 つの m i R は、対象の癌細胞において脱制御(例えは下方制御、上方制御等) されている。該少なくとも 1 つの単離 m i R が癌細胞において下方制御されている場合、該方法は、対象の癌細胞の増殖が阻害されるように、有効量の該少なくとも 1 つの単離 m i R を投与するステップを含む。該少なくとも 1 つの単離 m i R が癌細胞において上方制御されている場合、該方法は、癌細胞の増殖が阻害されるように、有効量の該少なくとも 1 つの m i R 遺伝子の発現を阻害するための化合物(本明細書においては m i R 遺伝子発現阻害化合物と呼ばれる) を対象に投与するステップを含む。

【0101】

「治療する」、「治療すること」および「治療」という用語は、本明細書で使用される場合、例えは癌などの疾患または病状に関連した症状を改善することを指し、疾患症状の発症を予防もしくは遅延させること、および / または疾患もしくは病状の症状の重症度もしくは頻度を低下させることを含む。本明細書において、「対象」および「個人」という用語は、哺乳動物等の動物を含むように定義され、靈長類、ウシ、ヒツジ、ヤギ、ウマ、イヌ、ネコ、ウサギ、モルモット、ラット、ネズミ、またはその他のウシ科、ヒツジ科、ウマ科、イヌ科、ネコ科、げっ歯類、もしくはネズミ科の種を含む。好ましい実施形態において、該動物は、ヒトである。

【0102】

本明細書において使用される場合、単離 m i R の「有効量」は、癌に罹患した対象における癌細胞の増殖を阻害するのに十分な量である。当業者は、対象の大きさおよび体重、疾患の浸透度、対象の年齢、健康および性別、投与経路、ならびに投与が局所性か全身性か等の因子を考慮することにより、所与の対象に投与されるべき m i R の有効量を容易に決定することができる。

【0103】

例えは、単離 m i R の有効量は、治療される対象の近似的または推定体重に基づくことができる。そのような有効量は、本明細書に記載のように、非経口または経腸的に投与されることが好ましい。例えは、対象に投与される単離 m i R の有効量は、約 5 ~ 3 0 0 0 マイクログラム / 体重 k g の範囲であるか、約 7 0 0 ~ 1 0 0 0 マイクログラム / 体重 k g の範囲であるか、または約 1 0 0 0 マイクログラム / 体重 k g を超えることができる。

【0104】

また、当業者は、所与の対象への単離 m i R の投与に適切な投薬計画を容易に決定することができる。例えは、m i R は、(例えは、単回投与または単回沈着等として) 対象に 1 回投与することができる。代替として、m i R は、約 3 日間から約 2 8 日間、より具体的には約 7 日間から約 1 0 日間、対象に 1 日 1 回または 2 回投与することができる。具体的な投薬計画において、m i R は、7 日間、1 日 1 回投与される。投薬計画が複数の投与を

10

20

30

30

40

50

含む場合、対象に投与されるm i Rの有効量は、全投薬計画にわたり投与されるm i Rの総量を含み得ることが理解される。

【0105】

本明細書において使用される「単離」m i Rは、人間の介入により合成された、もしくは自然の状態から変化した、もしくは除去されたものである。例えば、合成m i R、またはその自然の状態の共存物質から部分的または完全に分離されたm i Rが、「単離」されたとみなされる。単離m i Rは、実質的に精製された形態で存在し得るか、またはm i Rが送達されている細胞に存在し得る。したがって、細胞に意図的に送達された、または細胞中に発現したm i Rが、「単離」m i Rとみなされる。m i R前駆体分子から細胞内で生成されたm i Rもまた、「単離」された分子とみなされる。

10

【0106】

単離m i Rは、いくつかの標準的技術を使用して得ることができる。例えば、該m i Rは、当技術分野において知られた方法を使用して化学的に合成または組み換えにより生成することができる。一実施形態において、m i Rは、適切に保護されたリボヌクレオシドホスホロアミダイトおよび従来のDNA / RNA合成装置を使用して化学的に合成される。合成RNA分子または合成試薬の販売供給業者は、例えば、Proligo社(Hamburg, Germany)、Dharmacon Research社(Lafayette, CO, U.S.A.)、Pierce Chemical社(Perbio Science社の一部、Rockford, IL, U.S.A.)、Glen Research社(Sterling, VA, U.S.A.)、ChemGenes社(Ashland, MA, U.S.A.)およびCruachem社(Glasgow, UK)を含む。

20

【0107】

代替として、該m i Rは、任意の好適なプロモーターを使用して、組み換え環状または線状DNAプラスミドから発現させることができる。プラスミドからのRNAの発現に好適なプロモーターは、例えば、U6もしくはH1 RNA pol IIIプロモーター配列、またはサイトメガロウイルスプロモーターを含む。その他の好適なプロモーターの選択は、当技術分野の範囲内である。本発明の組み換えプラスミドはまた、癌細胞内の該m i Rの発現のための誘導プロモーターまたは制御可能なプロモーターを含むことができる。

30

【0108】

組み換えプラスミドから発現した該m i Rは、標準的技術により、培養細胞発現系から単離することができる。組み替えプラスミドから発現させた該m i Rはまた、癌細胞に送達することができ、また癌細胞中で直接発現させることができる。癌細胞に該m i Rを送達するための組み換えプラスミドの使用は、以下により詳細に説明する。

【0109】

該m i Rは、別個の組み換えプラスミドから発現させることができ、または同じ組み換えプラスミドから発現させることができる。一実施形態において、該m i Rは、單一プラスミドからのRNA前駆体分子として発現され、癌細胞内に既存のプロセシングシステムを含むがこれらに限定されない好適なプロセシングシステムにより、前駆体分子が機能的m i Rにプロセシングされる。その他の好適なプロセシングシステムは、例えば、in vitroショウジョウバエ細胞溶解物システム(例えば、参照によりその全開示内容が本明細書に組み込まれる、Tuschlらによる米国特許公開第2002/0086356号に記載のもの等)および大腸菌RNase IIIシステム(例えば、参照によりその全開示内容が本明細書に組み込まれる、Yangらによる米国特許公開第2004/0014113号に記載のもの等)を含む。

40

【0110】

該m i Rの発現に好適なプラスミドの選択、該m i Rを発現させるために該プラスミドに核酸配列を挿入するための方法、および組み替えプラスミドを対象となる細胞に送達する方法の選択は、当技術分野の範囲内である。例えば、参照によりその全開示内容が本明細

50

書に組み込まれる、Zeng et al. (2002), Molecular Cell 9:1327-1333; Tuschl (2002), Nat. Biotechnol., 20:446-448; Brummelkamp et al. (2002), Science 296:550-553; Miyagishi et al. (2002), Nat. Biotechnol. 20:497-500; Paddison et al. (2002), Genes Dev. 16:948-958; Lee et al. (2002), Nat. Biotechnol. 20:500-505; およびPaul et al. (2002), Nat. Biotechnol. 20:505-508を参照されたい。

【0111】

10

一実施形態において、該m i Rを発現するプラスミドは、CMV中間体早期プロモーターの制御下でm i R前駆体RNAをコード化する配列を含む。本明細書において使用される、プロモーターの「制御下」とは、プロモーターがm i Rコード配列の転写を開始することができるよう、m i Rをコード化する核酸配列がプロモーターの3'に位置することを意味する。

【0112】

該m i Rはまた、組み換えウイルスベクターから発現させることもできる。該m i Rは、2つの別個の組み換えウイルスベクターから、または同じウイルスベクターから発現させることができることが企図される。該組み換えウイルスベクターから発現したRNAは、標準的技術を使用して培養細胞発現系から単離することができ、または、癌細胞中に直接発現させることができる。癌細胞に該m i Rを送達するための組み換えウイルスベクターの使用は、以下により詳細に説明する。

20

【0113】

本発明の組み換えウイルスベクターは、該m i Rをコード化する配列、および該RNA配列を発現させるための任意の好適なプロモーターを含む。好適なプロモーターは、例えば、U6もしくはH1 RNA pol IIIプロモーター配列、またはサイトメガロウイルスプロモーターを含む。その他の好適なプロモーターの選択は、当技術分野の範囲内である。本発明の組み換えウイルスベクターはまた、癌細胞内の該m i Rの発現のための誘導プロモーターまたは制御可能なプロモーターを含むことができる。

【0114】

30

該m i Rのコード配列を受容することができる任意のウイルスベクター、例えば、アデノウイルス(AV)由来のベクター、アデノ随伴ウイルス(AAV)、レトロウイルス(例えばレンチウイルス(LV)、ラブドウイルス、マウス白血病ウイルス等)、ヘルペスウイルス等を使用することができる。ウイルスベクターの指向性は、外膜タンパク質もしくはその他のウイルスからのその他の表面抗原によるベクターの偽型化により、または異なるウイルスカプシドタンパク質を置換することにより、必要に応じて変更することができる。

【0115】

例えば、本発明のレンチウイルスベクターは、水疱性口内炎ウイルス(VSV)、狂犬病、エボラ、モコラ等からの表面タンパク質で偽型化され得る。本発明のAAVベクターは、異なるカプシドタンパク質血清型を発現するように該ベクターを操作することにより、異なる細胞を標的とするように作製できる。例えば、血清型2ゲノムに血清型2カプシドを発現するAAVベクターは、AAV2/2と呼ばれる。AAV2/2ベクターにおける血清型2カプシド遺伝子は、血清型5カプシド遺伝子により置き換えられ、AAV2/5ベクターを生成し得る。異なるカプシドタンパク質血清型を発現するAAVベクターを構築するための技術は、当技術分野の範囲内であり、例えば、参照によりその全開示内容が本明細書に組み込まれる、Rabinowitz, J. E., et al. (2002), J. Virol. 76:791-801を参照されたい。

40

【0116】

本発明における使用に好適な組み換えウイルスベクターの選択、RNAを発現させるため

50

に核酸配列を該ベクターに挿入するための方法、該ウイルスベクターを対象となる細胞に送達するための方法、および発現したRNA生成物の回収は、当技術分野の範囲内である。例えば、参照することによりその全開示内容が本明細書に組み込まれる、Dornburg (1995), Gene Therap. 2:301-310; Egliitis (1988), Biotechniques 6:608-614; Miller (1990), Hum. Gene Therap. 1:5-14; およびAnderson (1998), Nature 392:25-30を参照されたい。

【0117】

特に好適なウイルスベクターは、AVおよびAAVから得られるものである。該miRを発現させるための好適なAVベクター、組み換えAVベクターを構築するための方法、および該ベクターを標的細胞に送達するための方法は、参照によりその全開示内容が本明細書に組み込まれる、Xia et al. (2002), Nat. Biotech. 20:1006-1010に記載されている。該miRを表現させるための好適なAAVベクター、組み換えAAVベクターを構築するための方法、該ベクターを標的細胞に送達するための方法は、参照によりその全開示内容が本明細書に組み込まれる、Samulski et al. (1987), J. Virol. 61:3096-3101; Fisher et al. (1996), J. Virol., 70:520-532; Samulski et al. (1989), J. Virol. 63:3822-3826; 米国特許第5,252,479号; 米国特許第5,139,941号; 国際特許出願第WO94/13788号; および国際特許出願第WO93/24641号に記載されている。一実施例において、該miRは、CMV中間体早期プロモーターを含む単一組み換えAAVベクターから発現される。

【0118】

ある特定の実施形態において、本発明の組み換えAAVウイルスベクターは、ヒトU6RNAプロモーターの制御下でポリT終止配列と操作可能に接続したmiR前駆体RNAをコード化する核酸配列を含む。本明細書で使用される、「ポリT終止配列と操作可能に接続した」とは、センスまたはアンチセンス鎖をコード化する核酸配列が5'方向のポリT終止シグナルのすぐ隣にあることを意味する。該ベクターからの該miRの配列の転写中、ポリT終止シグナルは、転写を終止するように機能する。

【0119】

本発明の治療方法の他の実施形態において、miR発現を阻害する有効量少なくとも1種の化合物を対象に投与することもできる。本明細書において使用される、「miR発現を阻害する」とは、治療後の活性な成熟した形態のmiRの生成が、治療前に生成された量より少ないことを意味する。当業者は、例えば、診断方法に関して上述したmiR転写レベルを決定するための技術を使用して、癌細胞においてmiR発現が阻害されているかどうかを容易に決定することができる。阻害は、遺伝子発現のレベルで（すなわち、miRをコード化するmiR遺伝子の転写を阻害することにより）、またはプロセシングのレベルで（すなわち、miR前駆体の成熟した活性なmiRへのプロセシングを阻害することにより）生じ得る。

【0120】

本明細書において使用される場合、miR発現を阻害する化合物の「有効量」は、癌関連染色体特性に関連した癌を患う対象における癌細胞の増殖を阻害するのに十分な量である。当業者は、対象の大きさおよび体重、疾患の浸透度、対象の年齢、健康および性別、投与経路、ならびに投与が局所性か全身性か等の因子を考慮することにより、所与の対象に投与されるべきmiR発現阻害化合物の有効量を容易に決定することができる。

【0121】

例えば、発現阻害化合物の有効量は、治療される対象の近似的または推定体重に基づくことができる。そのような有効量は、本明細書に記載のように、とりわけ非経口または経腸的に投与される。例えば、対象に投与される発現阻害化合物の有効量は、約5～3000マイクログラム/体重kgの範囲であるか、約700～1000マイクログラム/体重kg

10

20

20

30

40

50

g の範囲であるか、または約 1 0 0 0 マイクログラム / 体重 kg を超えることができる。

【 0 1 2 2 】

また、当業者は、所与の対象へ m i R 発現を阻害する化合物を投与するのに適切な投薬計画を容易に決定することができる。例えば、発現阻害化合物は、(例えば、単回投与または単回沈着等として) 対象に 1 回投与することができる。代替として、発現阻害化合物は、約 3 日間から約 28 日間、より好ましくは約 7 日間から約 10 日間、対象に 1 日 1 回または 2 回投与することができる。具体的な投薬計画において、発現阻害化合物は、7 日間、1 日 1 回投与される。投薬計画が複数の投与を含む場合、対象に投与される発現阻害化合物の有効量は、全投薬計画にわたり投与される化合物の総量を含み得ることが理解される。

10

【 0 1 2 3 】

m i R 遺伝子発現を阻害するための好適な化合物は、二本鎖 RNA (例えば、低分子もしくは小分子の干渉 RNA つまり「 siRNA 」等) 、アンチセンス核酸、およびリボザイム等の酵素 RNA 分子を含む。これらの化合物のそれぞれは、所与の m i R に標的化され、標的 m i R を破壊する、または、標的 m i R の破壊を誘引することができる。

【 0 1 2 4 】

例えば、所与の m i R 遺伝子の発現は、該 m i R の少なくとも一部と、少なくとも 90 % 、例えば少なくとも 95 % 、少なくとも 98 % 、少なくとも 99 % または 100 % の配列ホモロジーを有する、単離二本 RNA (「 dsRNA 」) 分子による m i R 遺伝子の RNA 干渉を誘引することにより阻害され得る。具体的な実施形態において、該 dsRNA 分子は、「低分子もしくは小分子の干渉 RNA 」つまり「 siRNA 」である。

20

【 0 1 2 5 】

本発明の方法において有用な siRNA は、約 17 ヌクレオチドから約 29 ヌクレオチドの長さの、好ましくは約 19 から約 25 ヌクレオチドの長さの、低分子二本鎖 RNA を含む。該 siRNA は、標準的なワトソン - クリック塩基対相互作用により互いにアニールされた (以降「塩基対化された」) 、センス RNA 鎖および相補的なアンチセンス RNA 鎖を含む。該センス鎖は、標的 m i R 内に含有される核酸配列と実質的に同一の核酸配列を含む。

【 0 1 2 6 】

本明細書において使用される場合、標的 m RNA 内に含有される標的配列と「実質的に同一の」 siRNA 中の核酸配列は、該標的配列と同一の、または 1 つもしくは 2 つの核酸だけ該標的配列と異なる核酸配列である。該 siRNA のセンス鎖およびアンチセンス鎖は、2 つの相補的な一本鎖 RNA 分子を含み得るか、または 2 つの相補的部分が塩基対化され、一本鎖「ヘアピン」領域により共有結合している単一分子を含み得る。

30

【 0 1 2 7 】

該 siRNA はまた、1 つもしくは複数のヌクレオチドの追加、削除、置換および / または改変により、自然発生 RNA とは異なる改変 RNA であってもよい。そのような改変は、該 siRNA の末端 (複数を含む) もしくは該 siRNA の 1 つもしくは複数の内部ヌクレオチド等への非ヌクレオチド物質の追加、または該 siRNA をヌクレアーゼ分解に耐性化させる改質、または該 siRNA 内の 1 つもしくは複数のヌクレオチドのデオキシリボヌクレオチドとの置換を含み得る。

40

【 0 1 2 8 】

また、該 siRNA の 1 つまたは両方の鎖は、3' オーバーハングを含んでもよい。本明細書において使用される「 3' オーバーハング」は、二本の RNA 鎖の 3' - 末端から延長した少なくとも 1 つの不対ヌクレオチドを指す。したがって、ある特定の実施形態において、該 siRNA は、1 から約 6 ヌクレオチド (リボヌクレオチドまたはデオキシリボヌクレオチドを含む) の長さ、1 から約 5 ヌクレオチドの長さ、1 から約 4 ヌクレオチドの長さ、または約 2 から約 4 ヌクレオチドの長さの少なくとも 1 つの 3' オーバーハングを含む。ある特定の実施形態において、該 siRNA の両方の鎖に 3' オーバーハングが存在し、2 ヌクレオチドの長さである。例えば、該 siRNA の各鎖は、ジチミジル酸 (

50

「T T」) またはジウリジル酸 (「u u」) の 3' オーバーハングを含み得る。

【0129】

該 s i R N A は、化学的もしくは生物学的に生成することができ、または単離 m i R に関して上述したように、組み換えプラスミドもしくはウイルスベクターから発現させることができる。d s R N A または s i R N A 分子を生成および試験するための例示的方法は、参照によりその全開示内容が本明細書に組み込まれる、G e w i r t z による米国特許出願公開第 2 0 0 2 / 0 1 7 3 4 7 8 号、および R e i c h l a による米国特許出願公開第 2 0 0 4 / 0 0 1 8 1 7 6 号に記載されている。

【0130】

また、所与の m i R 遺伝子の発現は、アンチセンス核酸により阻害され得る。本明細書において使用される「アンチセンス核酸」は、標的 R N A の活性を改変する、R N A - R N A または R N A - D N A または R N A - ペプチド核酸相互作用により標的 R N A に結合する核酸分子を指す。本発明の方法における使用に好適なアンチセンス核酸は、一般に m i R 中の連続核酸配列と相補的な核酸配列を含む一本鎖核酸 (例えは R N A 、 D N A 、 R N A - D N A キメラ、 P N A 等) である。アンチセンス核酸は、 m i R 中の連続核酸配列と 50 ~ 100 % 相補的、 75 ~ 100 % 相補的、または 95 ~ 100 % 相補的な核酸配列を含み得る。該 m i R の核酸配列は、本明細書に提供される。いかなる理論にも束縛されることを望まないが、アンチセンス核酸は、 m i R / アンチセンス核酸二本鎖を分解する R N a s e H または別の細胞ヌクレアーゼを活性化すると考えられている。

【0131】

また、アンチセンス核酸は、標的特異性、ヌクレアーゼ耐性、送達、または分子の有効性に関連したその他の特性を高めるための、核酸骨格または糖および塩基部分 (もしくはそれらの同等物) への改質も含有し得る。そのような改質は、コレステロール部分、アクリジン等の二本鎖インターラーカレータ (d u p l e x i n t e r c a l a t o r) 、または 1 つもしくは複数のヌクレアーゼ耐性基を含む。

【0132】

アンチセンス核酸は、化学的もしくは生物学的に生成することができ、または単離 m i R に関して上述したように、組み換えプラスミドもしくはウイルスベクターから発現させることができる。生成または試験のための例示的な方法は、当技術分野の範囲内であり、例えは、参照によりその全開示内容が本明細書に組み込まれる、S t e i n a n d C h e n g (1 9 9 3) , S c i e n c e 2 6 1 : 1 0 0 4 および W o o l f らによる米国特許第 5,849,902 号を参照されたい。

【0133】

また、所与の m i R 遺伝子の発現は、酵素核酸により阻害され得る。本明細書において使用される「酵素核酸」は、 m i R の連続核酸配列との相補性を有する基質結合領域を含み、 m i R を特異的に切断することができる核酸を指す。酵素核酸基質結合領域は、例えは、 m i R 中の連続核酸配列と 50 ~ 100 % 相補的、 75 ~ 100 % 相補的、または 95 ~ 100 % 相補的な核酸配列であってもよい。酵素核酸はまた、塩基、糖、および / またはホスフェート基において改質を含むことができる。本発明の方法における使用のための例示的酵素核酸は、リボザイムである。

【0134】

酵素核酸は、化学的もしくは生物学的に生成することができ、または単離 m i R に関して上述したように、組み換えプラスミドもしくはウイルスベクターから発現させることができる。d s R N A または s i R N A 分子を生成および試験するための例示的方法は、参照によりその全開示内容が本明細書に組み込まれる、W e r n e r a n d U h l e n b e c k (1 9 9 5) , N u c l . A c i d s R e s . 2 3 : 2 0 9 2 - 9 6 ; H a m m a n n e t a l . (1 9 9 9) , A n t i s e n s e a n d N u c l e i c A c i d D r u g D e v . 9 : 2 5 - 3 1 ; および C e c h らによる米国特許第 4,987,071 号に記載されている。

【0135】

10

20

30

40

50

少なくとも 1 つの m i R 、または m i R 発現を阻害するための少なくとも 1 つの化合物は、癌関連染色体特性に関連した癌を有する対象の癌細胞の増殖を阻害する。本明細書において使用される「癌細胞の増殖を阻害する」とは、癌細胞を殺す、または癌細胞の増殖を永久もしくは一時的に阻むもしくは遅速化させることを意味する。対象の癌細胞の増殖数が、m i R または m i R 遺伝子発現阻害化合物の投与後に一定を維持した、または減少した場合に、癌細胞の増殖が阻害されたと推断することができる。また、癌細胞の絶対数は増加したが、腫瘍の増殖速度が減少した場合に、癌細胞の増殖が阻害されたと推断することができる。

【 0 1 3 6 】

対象の体内的癌細胞の数は、直接測定により、または原発腫瘍もしくは転移性腫瘍の大きさからの推定により決定することができる。例えば、対象における癌細胞の数は、免疫組織学的方法、フローサイトメトリー、または癌細胞の特徴的表面マーカーを検出するよう 10 設計されたその他の技術により、測定することができる。

【 0 1 3 7 】

m i R または m i R 遺伝子発現阻害化合物は、これらの化合物を対象の癌細胞に送達するのに好適な任意の手段により対象に投与することができる。例えば、m i R または m i R 発現阻害化合物は、これらの化合物、またはこれらの化合物をコード化する配列を含む核酸を対象の細胞に導入するのに好適な方法により投与することができる。一実施形態において、癌細胞には、少なくとも 1 つの m i R または m i R 遺伝子発現阻害化合物をコード化するプラスミドまたはウイルスベクターが導入される。 20

【 0 1 3 8 】

真核細胞に対する導入方法は当技術分野において周知であり、例えば、細胞の核または前核中への核酸の直接注入；電気穿孔法；リポソーム輸送または親油性物質により媒介される輸送；受容体媒介核酸送達、バイオバリスティック (b i o b a l l i s t i c) つまり粒子加速；リン酸カルシウム沈殿、およびウイルスベクターにより媒介される導入を含む。

【 0 1 3 9 】

例えば、細胞には、リポソーム輸送化合物、例えば D O T A P (N - [1 - (2 , 3 - ジオレオイルオキシ) プロピル] - N , N , N - トリメチル - アンモニウムメチルサルフェート、Boehringer - Mannheim 社) またはその等価物、例えば L I P O F E C T I N 等を導入することができる。使用される核酸の量は、本発明の実践には重要ではないが、0.1 ~ 100 マイクログラムの核酸 / 10⁵ 細胞で、許容される結果を得ることができる。例えば、10⁵ 細胞あたり D O T A P 3 マイクログラム中約 0.5 マイクログラムのプラスミドベクターの比率を使用することができる。 30

【 0 1 4 0 】

また、m i R または m i R 遺伝子発現阻害化合物は、任意の好適な経腸または非経口投与経路により、対象に投与することができる。本発明の方法に好適な経腸投与経路は、例えば、経口送達、直腸送達、または鼻内送達を含む。好適な非経口投与経路は、例えば、血管内投与（例えば、静脈内ボーラス注射、静脈内注入、動脈内ボーラス注射、動脈内注入、および脈管へのカテーテル点滴等）；組織周囲および内部注射（例えば、腫瘍周囲注射および腫瘍内注射、網膜内注射、または網膜下注射）；（例えば、浸透圧ポンプによる）皮下注入を含む皮下注射または沈積；例えば、カテーテルまたはその他の留置デバイス（例えば、網膜ペレット (r e t i n a l p e l l e t) 、または坐薬、または多孔質、非多孔質もしくはゼラチン状材料を含むインプラント）による、対象となる組織への直接適用；ならびに吸入を含む。特に好適な投与経路は、患者への注射、注入および静脈内投与である。 40

【 0 1 4 1 】

本発明の方法において、m i R または m i R 発現阻害化合物は、送達試薬と組み合わせた裸の R N A として、または m i R もしくは発現阻害化合物を発現させる配列を含む核酸（例えば、組み換えプラスミドまたはウイルスベクター）として、対象に投与することができる 50

きる。好適な送達試薬は、例えば、Mirus Transit TKO親油性試薬；リポフェクチン；リポフェクタミン；セルフェクチン；ポリカチオン（例えばポリリシン）；およびリポソームを含む。

【0142】

該m i Rまたはm i R遺伝子発現阻害化合物を発現させる配列を含む組み換えプラスミドおよびウイルスベクター、ならびにそのようなプラスミドおよびベクターを癌細胞に送達するための技術が、本明細書で説明される。

【0143】

具体的な実施形態において、m i Rまたはm i R遺伝子発現阻害化合物（またはそれらをコード化する配列を含む核酸）を対象に送達するためにリポソームが使用される。リポソームはまた、sまたは核酸の血液半減期を増加させることができる。本発明における使用に好適なリポソームは、一般に中性または負に帯電したリン脂質およびコレステロール等のステロールを含む、標準的な小胞形成脂質から形成することができる。脂質の選択は、一般に、所望の脂質の大きさおよびリポソームの血液流中の半減期等の因子を考慮することにより導出される。例えば、参照することによりその全開示内容が本明細書に組み込まれる、Szoka et al. (1980), Ann. Rev. Biophys. Bioeng. 9: 467；ならびに米国特許第4,235,871号、第4,501,728号、第4,837,028号、および第5,019,369号に記載のように、リポソームを調製するための様々な方法が知られている。

【0144】

本発明の方法における使用のためのリポソームは、リポソームを癌細胞に標的化させる配位子分子を含むことができる。腫瘍細胞抗原に結合するモノクローナル抗体等の、癌細胞に高頻度で見られる受容体に結合する配位子が好ましい。

【0145】

また、本発明の方法における使用のためのリポソームは、単核マクロファージ系（「MMS」）および細網内皮系（「RES」）による一掃を避けるために改質されてもよい。そのような改質リポソームは、表面上にある、またはリポソーム構造に組み込まれたオプソニン化阻害部分を有する。特に好ましい実施形態において、本発明のリポソームは、オプソニン化阻害部分および配位子の両方を備えることができる。

【0146】

本発明のリポソームの調製における使用のためのオプソニン化阻害部分は、典型的には、リポソーム膜に結合した大型の親水性ポリマーである。本明細書において使用される場合、オプソニン化阻害部分は、例えば、脂溶性アンカーの膜自体へのインターラーションにより、または膜脂質の活性基への直接的な結合により化学的または物理的に膜に結合したとき、リポソーム膜に「結合」する。これらのオプソニン化阻害親水性ポリマーは、例えば、参照によりその全開示内容が本明細書に組み込まれる、米国特許第4,920,016号に記載のように、MMSおよびRESによるリポソームの摂取を大幅に減少させる保護表面層を形成する。

【0147】

リポソームを改質するのに好適なオプソニン化阻害部分は、好ましくは、約500から約40,000ダルトン、より好ましくは約2,000から約20,000ダルトンの数平均分子量を有する、水溶性ポリマーである。そのようなポリマーは、ポリエチレングリコール（PEG）またはポリプロピレングリコール（PPG）誘導体；例えば、メトキシPEGまたはPPG、およびステアリン酸PEGまたはPPG；合成ポリマー、例えば、ポリアクリルアミドまたはポリN-ビニルピロリドン；直鎖、分岐鎖、またはデンドリマー状ポリアミドアミン；ポリアクリル酸；ポリアルコール、例えば、カルボン酸基またはアミノ基が化学的に結合したポリビニルアルコールおよびポリキシリトール、ならびにガングリオシド、例えば、ガングリオシドGM1を含む。PEG、メトキシPEG、もしくはメトキシPPGのコポリマー、またはそれらの誘導体もまた好適である。さらに、オプソニン化阻害ポリマーは、PEGと、ポリアミノ酸、多糖類、ポリアミドアミン、ポリエチ

10

20

30

40

50

レンアミン、またはポリヌクレオチドとのブロックコポリマーであってもよい。オプソニン化阻害ポリマーはまた、アミノ酸もしくはカルボン酸を含有する天然多糖類、例えば、ガラクトロン酸、グルクロン酸、マンヌロン酸、ヒアルロン酸、ペクチン酸、ノイラミン酸、アルギン酸、カラギーナン等；アミノ化多糖類もしくはオリゴ糖類（直鎖もしくは分岐鎖）；または、例えば、炭酸の誘導体と反応した結果カルボン酸基を有するカルボキシル化多糖類またはオリゴ糖類であってもよい。好ましくは、オプソニン化阻害部分は、PEG、PPG、またはそれらの誘導体である。PEGまたはPEG誘導体で改質されたリポソームは、「PEG化リポソーム」と呼ばれる場合がある。

【0148】

オプソニン化阻害部分は、数多くの周知の技術のうちの任意の1つにより、リポソーム膜に結合され得る。例えば、PEGのN-ヒドロキシスクシンイミドエステルは、ホスファチジル-エタノールアミン脂溶性アンカーに結合し、次いで膜に結合し得る。同様に、Na(CN)BH₃、および60の30:12の比率のテトラヒドロフランおよび水等の溶媒混合物を使用した還元的アミノ化により、デキストラントポリマーをステアリルアミン脂溶性アンカーで誘導体化することができる。

【0149】

オプソニン化阻害部分で改質されたリポソームは、未改質リポソームよりも非常に長く循環に留まる。このため、そのようなリポソームは、「ステルス」リポソームと呼ばれることがある。ステルスリポソームは、多孔質または「漏れやすい」微小血管系により（栄養物などが）供給される組織中に蓄積することが知られている。したがって、そのような微小血管系の欠陥により特徴付けられる組織、例えば、充実性腫瘍は、これらのリポソームを効率的に蓄積する。Gabizon, et al. (1988), Proc. Natl. Acad. Sci. U.S.A., 18:6949-53を参照されたい。さらに、RESによる摂取の低減は、肝臓および脾臓におけるリポソームの著しい蓄積を防止することにより、ステルスリポソームの毒性を低下させる。したがって、オプソニン化阻害部分で改質されたリポソームは、該m_iRまたはm_iR遺伝子発現阻害化合物（またはそれらをコード化する配列を含む核酸）を腫瘍細胞に送達するのに特に適している。

【0150】

該m_iRまたはm_iR遺伝子発現阻害化合物は、対象に投与する前に、当技術分野で知られた技術に従い、「薬剤」とも呼ばれることもある薬学的組成物として製剤化され得る。したがって、本発明は、癌を治療するための薬学的組成物を包含する。一実施形態において、薬学的組成物は、該少なくとも1つの単離m_iRおよび薬学的に許容される担体を含む。具体的な実施形態において、該少なくとも1つのm_iRは、好適な対照細胞と相対的に癌細胞において発現レベルが低下したm_iRに対応する。

【0151】

別の実施形態において、本発明の薬学的組成物は、少なくとも1つのm_iR発現阻害化合物を含む。具体的な実施形態において、該少なくとも1つのm_iR遺伝子発現阻害化合物は、m_iR遺伝子の発現が対照細胞よりも癌細胞において大きいm_iR遺伝子に特異的である。

【0152】

本発明の薬学的組成物は、少なくとも無菌で発熱物質を含まないことを特徴とする。本明細書において使用される「薬学的製剤」は、ヒトおよび家畜への使用のための製剤を含む。本発明の薬学的組成物を調製するための方法は、例えば、参照によりその全開示内容が本明細書に組み込まれる、Remington's Pharmaceutical Science, 17th ed., Mack Publishing Company, Easton, Pa. (1985)に記載されるように、当技術分野の範囲内である。

【0153】

本発明の薬学的製剤は、薬学的に許容される担体と混合された、少なくとも1つのm_iR

10

20

30

40

50

もしくはm i R遺伝子発現阻害化合物（もしくはそれらをコード化する配列を含む少なくとも1つの核酸）（例えば0.1から90重量%）、またはその生理学的に許容される塩を含む。本発明の薬学的製剤はまた、リポソームおよび薬学的に許容される担体によりカプセル化される、少なくとも1つのm i Rまたはm i R遺伝子発現阻害化合物（またはそれらをコード化する配列を含む少なくとも1つの核酸）を含む。

【0154】

特に好適な薬学的に許容される担体は、水、緩衝水、生理食塩水、0.4%食塩水、0.3%グリシン、ヒアルロン酸等である。

【0155】

具体的な実施形態において、本発明の薬学的組成物は、ヌクレアーゼによる分解に耐性を有する、少なくとも1つのm i Rまたはm i R遺伝子発現阻害剤化合物（またはそれらをコード化する配列を含む少なくとも1つの核酸）を含む。当業者は、例えば、2'位で改質される1つもしくは複数のリボヌクレオチドをm i Rに組み込むことにより、ヌクレアーゼ耐性核酸を容易に合成することができる。好適な2'改質リボヌクレオチドは、フルオロ、アミノ、アルキル、アルコキシ、およびO-アリルにより2'位で改質されたものを含む。

10

【0156】

本発明の薬学的組成物はまた、従来の薬学的賦形剤および/または添加剤を含むことができる。好適な薬学的賦形剤は、安定剤、酸化防止剤、浸透圧調整剤、緩衝剤、およびpH調整剤を含む。好適な添加剤は、例えば、生理学的に生体適合性の緩衝剤（例えば、トロメタミン塩酸塩等）、キラント（例えばDTPAもしくはDTPA-ビスアミド等）またはカルシウムキレート錯体（例えばカルシウムDTPA、CaNaDTPA-ビスアミド等）の添加、あるいは、任意選択で、カルシウムまたはカルシウム塩（例えば、塩化カルシウム、アスコルビン酸カルシウム、グルコン酸カルシウムもしくは乳酸カルシウム等）の添加を含む。本発明の薬学的組成物は、液体形態で包装することができ、または凍結乾燥することができる。

20

【0157】

本発明の固体の薬学的組成物には、例えば、医薬品グレードのマンニトール、乳糖、デンプン、ステアリン酸マグネシウム、ナトリウムサッカリン、タルカム、セルロース、ブドウ糖、蔗糖、炭酸マグネシウム等の、従来非毒性で固体の薬学的に許容される担体を使用することができる。

30

【0158】

例えば、経口投与用の固体の薬学的組成物は、上に列挙した担体および賦形剤のいずれか、ならびに、10~95%、好ましくは25%~75%の、該少なくとも1つのm i Rまたはm i R遺伝子発現阻害化合物（またはそれらをコード化する配列を含む少なくとも1つの核酸）を含むことができる。エアロゾル（吸入）投与用の薬学的組成物は、上述のようなリポソームにカプセル化された、0.01~20重量%、好ましくは1%~10重量%の当該少なくとも1つのm i Rまたはm i R遺伝子発現阻害化合物（またはそれらをコード化する配列を含む少なくとも1つの核酸）、ならびに噴射ガスを含むことができる。所望により、例えば鼻腔内送達のためのレシチン等、担体もまた含めることができる。

40

【0159】

また、本発明は、抗癌剤を同定する方法を包含し、該方法は、試験薬剤を細胞に提供するステップと、該細胞における少なくとも1つのm i Rのレベルを測定するステップとを含む。一実施形態において、当該方法は、試験薬剤を細胞に提供するステップと、癌細胞における低下した発現レベルに関連する少なくとも1つのm i Rのレベルを測定するステップとを含む。好適な対照細胞と相対的な、該細胞におけるm i Rのレベルの増加は、試験薬剤が抗癌剤であることを示している。

【0160】

他の実施形態において、当該方法は、試験薬剤を細胞に提供するステップと、癌細胞における増加した発現レベルに関連する少なくとも1つのm i Rのレベルを測定するステップ

50

とを含む。好適な対照細胞と相対的な、該細胞におけるm i Rのレベルの低下は、試験薬剤が抗癌剤であることを示している。

【0161】

好適な薬剤は、薬物（例えば小分子、ペプチド等）、および生物学的巨大分子（例えばタンパク質、核酸等）を含むが、これらに限定されない。該薬剤は、組み換えにより、合成的に生成することができ、または、天然源から単離（すなわち精製）されてもよい。細胞にそのような薬剤を提供するための様々な方法（例えば導入）が、当技術分野において周知であり、そのような方法のいくつかは上に記載されている。少なくとも1つのm i Rの発現を検出するための方法（例えばノーザンプロットティング、in situハイブリダイゼーション、R T - P C R、発現プロファイリング）もまた、当技術分野において周知である。

10

【0162】

ここで以下の非制限的な実施例により本発明を例示するが、以下の実施例は、本発明の好ましい実施形態を例示することを意図しており、そのように指定されない限りは、特許請求の範囲において定義されるような本発明の範囲を制限するように解釈されるべきではない。

【実施例】

【0163】

実施例

【0164】

20

ここに、大規模な組の正常卵巣組織および腫瘍卵巣組織における、ゲノム全体のm i R N A発現プロファイリングの結果を示す。ここでは、卵巣癌特異的m i R N Aシグネチャーの存在を示す。また、マイクロR N A遺伝子の改変されたメチル化が、その異常な発現を担う可能な後成的機構として同定される。

【0165】

材料および方法

【0166】

卵巣癌試料および細胞株

【0167】

全部で84個の急速冷凍された正常卵巣組織および悪性卵巣組織が、G O G T i s s u e s B a n k、C o l u m b u s C h i l d r e n ' s H o s p i t a l、C o l u m b u s (O H、U S A)で収集された。マイクロアレイ分析用に使用された組織のコレクションは、15個の正常卵巣組織切片、および69個の悪性組織を含み、これはすべて上皮性卵巣癌であり、漿液性癌31個（そのうち29個は乳頭状を示した）、類内膜癌8個、明細胞癌4個、低分化癌9個、および粘液性癌1個を含んでいた。卵巣癌細胞株I G R O V 1は、元々Dr. B e r n a r d (I n s t i t u t e G u s t a v e R o u s s y、V i l l e j u f、F r a n c e)により未治療の患者の中分化卵巣癌から得られたものであり、O A W - 4 2はDr. U l r i c h U. (D e p a r t m e n t o f O b s t e t r i c s a n d G y n e c o l o g y、U n i v e r s i t y o f U I M、G e r m a n y)から得、O V C A R 3、O V C A R 8およびS K - O V 3はA m e r i c a n T y p e C u l t u r e C o l l e c t i o nから購入した。すべての細胞株は、10% (v / v) ウシ胎仔血清 (F C S)、3m M L - グルタミンおよび100 U / m l ベニシリン / ストレプトマイシンを添加した、R P M I培地 (L i f e T e c h n o l o g i e s社、R o c k v i l l e、M D) 内で維持した。

30

【0168】

m i R N Aマイクロアレイハイブリダイゼーションおよび定量化

【0169】

メーカーの使用説明書に従い、T r i z o l (I n v i t r o g e n、C a r l s b a d、C A)を用いて全R N A単離を行った。R N Aの標識化およびマイクロR N Aマイク

40

50

ロアレイチップへのハイブリダイゼーションは、以前説明したように(28)、各試料からの5 μgの全RNAを使用して行った。ハイブリダイゼーションは、4回スポットされた460個の成熟マイクロRNA(ホモサピエンス235個、ハツカネズミ222個、シロイヌナズナ3個)に対するプローブを含有する、我々のマイクロRNAマイクロアレイ(Ohio State Comprehensive Cancer Center、バージョン2.0)上で行った。多くの場合、所与の成熟マイクロRNAに対し、2つ以上のプローブセットが存在する。さらに、ほとんどの前駆体マイクロRNAに対応する4組のプローブが存在する。ハイブリダイゼーション信号は、Streptavidin-Alexa647複合体で検出し、スキャンされた画像(Axon 4000B)はGenepix 6.0ソフトウェア(Axon Instruments社、Sunnyvale、CA)を使用して定量化した。
10

【0170】

マイクロRNAマイクロアレイデータのコンピュータ分析

【0171】

マイクロアレイ画像は、GENEPIX PROを使用して分析した。各miRNAの2つのスポットの平均値をバックグラウンド除去し、正規化し、さらなる分析に供した。Richard Simon & Amy Peng Lam(29)により開発されたBRB Array Toolsを使用して、卵巣マイクロアレイデータのグローバル中央値正規化を行った。その後の統計分析の前に、非存在コール(absent call)は4.5を閾値とした。このレベルは、実験で検出される平均最低強度レベルである。miRNAの命名は、Genome Browser (genome.ucsc.edu)およびSanger Center (microrna.sanger.ac.uk/)のmiRNAデータベースに従い、矛盾する場合はmiRNAデータベースに従った。特異的に発現したmiRNAは、Tusher, Tibshirani and Chu(30)の最近の論文に基づき、Stanford University Labsで開発された方法、マイクロアレイの有意性分析(SAM)内のt検定手順を使用して同定した。
20

【0172】

また、miRNAシグネチャーを同定するために、Tibshirani, Hastie, Narasimhan and Chu(31)による「最短収縮重心法(nearest shrunken centroid method)」により遺伝子発現データから試料分類を行うPAMを適用した。
30

【0173】

ノーザンプロットティング

【0174】

前述したようにノーザンプロット分析を行った。RNA試料(各10 μg)を、15%ポリアクリルアミド、7M尿素標準プレキャストゲル(Bio-Rad、Hercules、CA)上に展開し、Hybond-N+膜(Amersham社、Piscataway、NJ)に転写した。ULTRAhyb-Oligoハイブリダイゼーション緩衝液(Ambion社、Austin、TX)中で16時間、370でハイブリダイゼーションを行った。膜を370で2×SSPEおよび0.5%SDSで2回洗浄した。
40

【0175】

プローブとして使用したオリゴヌクレオチドは、以下の成熟マイクロRNAの配列(参照することにより本明細書に完全に組み込まれるsanger.ac.uk/Software/Rfam/mirna/のmiR Registry)に対しアンチセンスであった:

miR-200a: 5' - ACA TCG TTA CCA GAC AGT G
TT A - 3 [配列番号: 92];
miR-141: 5' - CCA TCT TTA CCA GAC AGT G
TT A - 3 [配列番号: 93];
50

m i R - 1 9 9 a : 5 - G A A C A G G T A G T C T G A A C A C
 T G G G - 3 [配列番号: 94] ;
 m i R - 1 2 5 b 1 : 5 T C A C A A G T T A G G G T C T C A G G G
 A - 3 [配列番号: 95] ;
 m i R - 1 4 5 : 5 - A A G G G A T T C C T G G G A A A A C
 T G G A C - 3 [配列番号: 96] ;
 m i R - 2 2 2 : 5 - G A G A C C C A G T A G C C A G A T G
 T A G C T - 3 [配列番号: 97] ;
 m i R - 2 1 : 5 - T C A A C A T C A G T C T G A T A A G C T A
 - 3 [配列番号: 98] 。
10

【0176】

5 S rRNA または E t B r ゲルを正規化に使用した。ポリヌクレオチドキナーゼ (Roche 社) を使用して、各プローブ 2 0 0 n g を 1 0 0 μ C i [- 3 2 P] - A T P で末端標識化した。

再ハイブリダイゼーションの前に、プロットを沸騰した 0 . 1 % S D S 中で 1 0 分間ストリップした。

【0177】

リアルタイム PCR

【0178】

シングルチューブ TaqMan MicroRNA Assays を使用して、メーカー (Applied Biosystems 社、Foster City, CA) の使用説明書に従い、Applied Biosystems Real - Time PCR 機器上で成熟マイクロ RNA を検出および定量化した。20

18 S rRNA で正規化を行った。テンプレート不含対照および RT マイナス対照を含むすべての RT 反応を、GeneAmp PCR 9700 Thermocycler (Applied Biosystems 社) で行なった。

遺伝子発現レベルは、ABI Prism 7900 HT Sequence 検出システム (Applied Biosystems 社) を使用して定量化した。テンプレート不含対照を含む比較リアルタイム PCR は、3 回行った。相対的発現は、比較 Ct 法を用いて計算した。30

【0179】

脱メチル化実験

【0180】

O V C A R 3 細胞を、1 0 μ M 5 ' アザ - 2 ' デオキシシチジン (5 ' - A Z A, Sigma 社) による処置の 4 8 時間前に、低密度で播種した。2 4 時間の処置後、細胞を回収し、全 RNA を Trizol 試薬 (Invitrogen 社) を用いて単離した。未処置細胞および AZA 処置細胞の両方に対し 3 試料を用いて、マイクロアレイプロファイリングにより m i R 発現を評価した。

特異的に発現したマイクロ RNA を、ランダム係数モデルによる一変量 2 クラスの T - 検定を使用して同定した。40

【0181】

結果

【0182】

マイクロ RNA 発現シグネチャーは正常卵巣から卵巣癌組織を区別する。

【0183】

数多くの研究 (19) によりすでに検証されているカスタムマイクロアレイプラットフォームを使用して、異なる患者からの不均一の組の卵巣組織に対するマイクロ RNA 発現プロファイルを評価した。この組は、正常卵巣試料 1 5 個、卵巣悪性腫瘍 6 9 個、および卵巣癌細胞株 5 個の、計 8 9 個の生物学的に独立した試料を含んだ。各腫瘍試料は、単一の検体から得た (データ省略)。50

【0184】

チップ上にスポットされたすべてのヒトマイクロRNAに基づく教師なし階層的クラスタ化は、正常組織および悪性組織により表される2つの主要なグループでの試料の明確な区別を有するツリーを生成した（図1）。

【0185】

癌細胞に対し正常組織を区別するマイクロRNAを同定するために、我々はSAMおよびPAMツールを使用したが、2種類のクラス予測分析から得られた結果は、概して重複していた。正常組織と癌組織との間のSAM比較では、特異的に発現した39個のmiRNA（q-値<1%および倍率変化>3）が同定されたが、10個が腫瘍において上方調整され、残りは下方調整されていた（一覧は図9-表2に報告されている）。

10

【0186】

図6Aおよび6BのPAM分析は、図8-表1において報告されるmiRシグネチャーによる、各試料が癌であるか正常組織であるかの確率（0.0から1.0）のグラフ表示を示しており、より小さい組の29個のmiR、つまり4個の上方調整miR（miR-200a、-200b、-200cおよび-141）ならびに25個の下方調整miR（miR-199a、miR-140、miR-145およびmiR-125b1が中でも最も有意である）が、89%の分類率で正常組織と腫瘍とを区別していることを説明している。

【0187】

マイクロアレイ分析で得られた結果を確認するために、我々はいくつかの特異的に発現したマイクロRNAに対し、ノーザンプロット（図2A）またはリアルタイムPCR（図2B）を行った。我々は、卵巣癌において最も有意に上方調整されたmiR-200aおよびmiR-141、ならびに最も有意に下方調整されたマイクロRNA：miR-199a、miR-140、miR-145およびmiR-125b1の発現を分析した。すべての実験で、マイクロアレイ分析により得られた結果が確認された。

20

【0188】

生体病理学的特徴およびマイクロRNA発現

【0189】

上皮性卵巣癌が、異なる形態学的および分子遺伝学的变化により特徴付けられる異なる組織学的亜型として発生することを考慮して、我々は、マイクロRNA発現プロファイルが卵巣癌の異なる組織型において異なるかどうかを評価するために、それらのそれぞれのマイクロRNAプロファイルを、正常組織と比較することにした。SAM分析から得られた完全な一覧を図10-表3に報告し、図3Aおよび3Bにベン図として要約を示す。

30

【0190】

正常組織に対し腫瘍において最も有意に上方調整された4個のマイクロRNAのうちの二（2）個（図3A）、miR-200aおよびmiR-200cは、考慮された3つすべての組織型（漿液性、類内膜、および明細胞）において上方調整されており、一方miR-200bおよびmiR-141の上方調整は、類内膜および漿液性の組織型で共通している。

40

【0191】

さらに、類内膜組織型は、3個の追加のマイクロRNA、miR-21、miR-203およびmiR-205の上方調整も示している。miR-125b1、miR-199aおよびmiR-140を含む19個のmiRは、正常組織と比較して検査された3つの組織型すべてにおいて下方調整され（図3B）、一方4個は、異なるシグネチャーのそれらの一対の分析において共通しており、例えば、miR-145は、漿液性癌および明細胞癌の両方において下方調整され、miR-222は、類内膜癌および明細胞癌の両方において下方調整されている。

【0192】

「混合」または「低分化」として分類された腫瘍を考慮して、我々は、第1のグループが

50

、例えば、m i R - 2 0 0 c およびm i R - 1 8 1 の過剰発現を類内膜癌と共有し、m i R - 2 1 4 の下方調整を漿液性と共有する、異なる組織型の特徴を有するシグネチャーを明らかとしており、一方「低分化」腫瘍は極めて異なるパターンのマイクロRNA発現(図10-表3)を有することを発見した。

【0193】

次いで、我々は、図11-表4に報告される対の腫瘍の異なる群のm i RNA発現を比較し、特に、2つの最も数の多い組織型癌、漿液性癌および類内膜癌を比較した。漿液性癌と比較して類内膜癌において特異的に発現したマイクロRNAを考慮すると、m i R - 2 1 2 が上方調整され、m i R - 3 0 2 b * およびm i R - 2 2 2 (図4 AのマイクロアレイデータのT-検定分析、 $p < 0.05$)が、マイクロRNAのうち、最も有意に下方調整されたことが判明した。

10

【0194】

図4 Bにおいて、小規模の試料の組に対するノーザンプロットは、類内膜癌と比較した漿液性癌におけるm i R - 2 2 2 過剰発現を検証している。次いで、我々は、腫瘍検体に関連したその他の臨床病理学的特徴に焦点を当てた。患者の年齢に関しては有意に特異的に発現したm i R は発見されなかつたが、リンパ腺-脈管浸潤、卵巣表面、管、子宮、および骨盤腹膜の関与(図12-表5)等、その他の腫瘍特性はm i R 発現に影響するようであつた。

【0195】

疾患の異なる悪性度または段階に関連したm i R が存在するかどうかを調査するために、我々は、すべての腫瘍または最も数の多い漿液性組織型のみを考慮して比較分析を行つたが、特異的に発現した有意なマイクロRNAを少しも得なかつた。

20

【0196】

様々なシグネチャーのm i RNAメンバーの確認済みまたは潜在的な標的

【0197】

「diana . p c b i . u p e n n . e d u / t a r b a s e」におけるDiana T ar b a s eを使用して、我々は、我々の分析から得られた最も有意なm i RNAの確認済みの標的を検索し、いくつかの興味深いデータを得た。例えば、E R B B 2 およびE R B B 3 受容体は、m i R - 1 2 5 (32)により標的とされ；卵巣癌において下方調整されたm i R - 1 0 1 は、癌原遺伝子M Y C N (33)を標的とすることが示されている。次いで我々は、「diana . p c b i . u p e n n . e d u / m i R G e n」データベースを使用してそれらの潜在的標的を分析し、これらの分子のいくつかに対し、卵巣癌における発現レベルを評価した。例えば、4つの最も有意に上方調整されたマイクロRNA、m i R - 2 0 0 a、m i R - 2 0 0 b、m i R - 2 0 0 c およびm i R - 1 4 1 はすべて、共通推定標的として、卵巣癌において下方調整されている腫瘍抑制因子B A P 1、B R C A 1 - 関連タンパク質を有する。得られた情報を、図13-表6に要約する。

30

【0198】

m i R 発現の後成的制御

【0199】

異常DNAメチル化パターンもまたヒト卵巣癌を特徴付けるマイクロRNA発現の変化に寄与し得るかどうかを評価するために、我々は、脱メチル化剤5'-アザ-2'-デオキシシチジンによる処置の前後に、卵巣細胞株O V C A R 3 のm i R プロファイリングを分析した。マイクロアレイデータの分析では、11個のヒトマイクロRNAが特異的に発現し、9個が上方調整、2個が下方調整され(各一変量試験の有意性閾値： $p < 0.001$)、m i R - 2 1 、m i R - 2 0 3 、m i R - 1 4 6 b 、m i R - 2 0 5 、m i R - 3 0 - 5 p およびm i R - 3 0 c が、処置の際に最も有意に誘引される(特異的に発現したm i R は図5 Aに列挙し、一方得られた階層的クラスタツリーは図5 Bに報告する)ことが示された。

40

【0200】

該5つの最も有意に誘引されたm i R の上方調整を検証するためのリアルタイムP C R は

50

、m i R 発現レベルのグラフ表示（図5 C）として図5 C および5 D に説明し、m i R - 2 1 はまた、ノーザンプロット（図5 D）により検証した。

【0201】

興味深いことに、m i R - 2 1 、m i R - 2 0 3 およびm i R - 2 0 5 は、正常組織と比較して、卵巣癌において過剰発現しており（図9 - 表2 におけるS A M分析ならびに図3 A および3 B におけるベン図を参照）、脱メチル化処置後のこれらのm i R 遺伝子の再活性化は、低メチル化がi n v i v o でのその過剰発現を担う機構である可能性があることを示唆している。我々は、ヒト卵巣癌および2つの正常組織のパネルに対するノーザンプロッティング（図7 A）を行い、処置の際に誘引された最も有意なm i R であるm i R - 2 1 の過剰発現を確認した。さらに、C p G I s l a n d S e a r c h e r P r o g r a m (3 4) を使用して、我々は、m i R - 2 1 およびm i R - 2 0 3 がC p G アイランドに関連し、C p G アイランドに埋没したm i R - 2 0 3 は8 7 5 b p の長さであり、m i R - 2 1 は成熟配列の2 k b 上流のC p G アイランドで特徴付けられ（図7 B）、一方m i R - 2 0 5 は、その成熟形態の2 K b 上流にわたる領域においていかなるC p G アイランドも示していないことを検証した。

【0202】

考察

【0203】

ここでの実施例において、ヒト卵巣癌においてマイクロRNAが異常に発現することを示す。全体的なマイクロRNA発現は、正常組織と癌組織を明確に区別し、ヒト卵巣癌において変化し、またこの新生物の発達に関与し得るいくつかのマイクロRNAを同定することができる。

【0204】

我々が発見した最も有意に上方調整された4つすべてのマイクロRNA、同じファミリーに属するm i R - 2 0 0 a およびm i R - 1 4 1 ; m i R - 2 0 0 b (m i R - 2 0 0 a の同じ領域、c h r . 1 p 3 6 . 3 3 に存在) ; ならびにm i R - 2 0 0 c (m i R - 1 4 1 の同じ領域、c h r . 1 2 p 1 3 . 3 1 に存在) は、Z h a n g e t a l . (2 4) によりゲノムレベルで得られた結果に一致し、それらの上方調整を促す機構がマイクロRNA遺伝子の増幅である可能性を示唆している。

【0205】

興味深いことに、これらすべてのm i R は、共通推定標的、つまり腫瘍抑制因子B A P 1 、B R C A 1 - 関連タンパク質を有する（24）。卵巣癌発癌における脱分化の根本的機構として発見され提案された（35）、G A T A 因子の発現の変化もまた、マイクロRNAの脱制御により促される可能性がある。特に、卵巣腫瘍の8 5 %において核から損失または排除されるG A T A 6 は、m i R - 2 0 0 a により制御され得、卵巣癌細胞株の大部分において存在しないG A T A 4 は、m i R - 2 0 0 b により標的とされ得る（図12 - 表5）。

【0206】

下方調整された遺伝子のうち、特に、我々は乳癌においても変化するm i R - 1 2 5 b 1 およびm i R - 1 4 5 (1 8) ; 肝細胞癌等のその他の腫瘍において下方調整されることが最近示されたm i r - 1 9 9 a (3 6) ; 卵巣癌において削除されるm i R - 1 4 0 (2 4) を発見した。

【0207】

興味深いことに、m i R - 1 4 0 は、確かに卵巣癌においてしばしば削除されることの多い脆弱領域であるc h r . 6 q 2 2 に存在し、c - S R K 、M M P 1 3 およびF G F 2 等の重要な分子を標的とすることが予測される。

【0208】

これらの実施例において利用可能な正常対照が全正常卵巣で代表されても、我々のデータは、ヒト卵巣癌において変化し、この悪性疾患の生物学に関与し得るいくつかのマイクロRNAを同定することができる。実際に、異なる組織型の卵巣癌（漿液性、類内膜、明細

胞および混合)を正常組織と比較することにより得られるm i R N Aシグネチャーはほとんどの場合重複しているが、それらはまた、「組織型特異的」であるように見えるいくつかのマイクロR N Aを明らかとし、例えば、類内膜腫瘍は、4つの最も有意に上方調整されたm i R (m i R - 2 0 0 a、m i R 2 0 0 b、m i R - 2 0 0 cおよびm i R - 1 4 1)をその他の腫瘍と共有しているが、数多くの充実性腫瘍において誤って制御され(18、37、38)、また異なる細胞系において抗アポトーシス的役割を果たす(39、40)ことが知られているm i R - 2 1、およびm i R - 2 0 5およびm i R - 1 8 2の過剰発現もまた示している。

【0209】

類内膜腫瘍はまた、その他のクラスの腫瘍と比較していくつかのマイクロR N Aの下方調整を示し、例えば、m i R - 2 2 2が、c - K i t (41)を標的とし、癌に関与し(42-44)、酸欠乏状態(45)において下方調整されることをすでに示している。

10

【0210】

これらの差は、現在E O Cが同一の治療方針で治療されているとしても、異なる組織型が生物学的および病原的に異なるE O Cの存在を表すことを裏付けている。最近では、マイクロアレイ分析により、異なる組織型(漿液性、粘液性、類内膜および明細胞)が、おそらく源の器官(それぞれ卵管、結腸粘膜および類内膜膜)の遺伝子発現パターンを反映して、異なる経路の変化を示すことが確認されている(46)。

【0211】

とりわけ、特異的に発現したマイクロR N Aの多くは、組織型に依存して特異的に活性化された経路に関与した分子を標的とすることが予測されている。例えば、漿液性癌において下方調整されたm i R - 2 1 2は、推定標的として、この卵巣癌の亜型において過剰発現したW T 1を有する(47)。m i R - 2 1 2の別の推定標的はB R C A 1であり、遺伝性の卵巣癌において変異したこの分子は、最近、散発性上皮性卵巣癌(O E C)の病因にも関与することが判明しており、後成的変化に起因する遺伝子機能の損失がより一般に観察されている(48)。B R C A 1発現の減少は、1つもしくは複数のマイクロR N Aの過剰発現により決定することができる。

20

【0212】

類内膜と比較して漿液性組織型において上方調整されたm i R - 2 9 9 - 5 pおよびm i R - 1 3 5 bは、それぞれ、類内膜癌において過剰発現したD L K 1(デルタ様1)およびM S X 2(m s h ホメオボックス2)を標的とすると考えられる(47)。他の腫瘍と比較して、明細胞癌は、それぞれ、2つの推定標的R B P 4(レチノール結合タンパク質4)およびS L C 4 0 A 1(溶質担体40-鉄-制御輸送体、メンバー1)とは反対の(46)、m i R - 3 0 - 5 pおよびm i R - 2 0 aの発現レベルを示す。正常組織と比較して、明細胞癌はまた、m i R - 1 8 a、m i R - 1 9 aおよびm i R - 1 9 bのより低い発現を示し、これはクラスター17~92(削除されていることがZ h a n g らによりすでに検証されている)の下方調整の可能性を示唆している。E 2 F 1およびc - M y cにより媒介される複雑な制御に関与するこのクラスターは、最近B細胞リンパ腫(15)において示唆されているように、推定癌原遺伝子、または腫瘍抑制因子の二重の性質を有すると思われ、例えば、肝細胞癌では、m i R - 1 7 - 9 2クラスターをコード化する遺伝子座(13q31)でL O Hが報告されている(49)。卵巣癌では、少なくとも明細胞組織型において、このクラスターは腫瘍抑制因子の役割を果たすことができる。本明細書に示すデータは、確かに、E O Cの亜型の発達につながる分化のプロセスにおいてマイクロR N Aが制御の役割を有し得ることを示唆している。

30

【0213】

興味深いことに、低分化癌は、マイクロR N A発現の極めて異なるパターンを有し、正常卵巣と比較して、いくつかのマイクロR N Aの上方調整を示している。より興味深いことに、それらの1つであるm i R - 3 7 3は、最近、精巣生殖細胞腫瘍における推定癌原遺伝子として説明されている(16)。

40

【0214】

50

腫瘍の段階または悪性度に関連して有意に特異的に発現したマイクロRNAがないことは、我々の試料の組のほとんどが、この種の新生物の後期の診断を考慮して予測されるよう、進行期の腫瘍で代表される事実により説明することができるが、試料の異なるグループ間での大きさの差は、統計分析の限界を示していた可能性がある。あるいは、マイクロRNAは、ヒト卵巣癌の進行ではなく発症に重要となり得る。

【0215】

我々の分析の結果、多数のmiRが過剰発現したが、Zhang研究においては増幅されたとは報告されておらず、また下方調整されているが削除されではおらず、後成的制御機構の関与は、実際にヒトEOCにおけるマイクロRNA発現に対する役割を果たし得る。

【0216】

確かに、卵巣細胞株の脱メチル化処置後に誘引された最も有意なマイクロRNAのうち、miR-21、miR-203およびmiR-205が卵巣癌において上方調整されることが判明した。さらに、miR-203およびmiR-21は、CpGアイランドに関連し(miR-203はCpGアイランドに埋没し、一方miR-21はその成熟配列の2kb上流にCpGアイランドを有する)、これは脱メチル化がこれらのマイクロRNA遺伝子の再活性化につながるという考えを支持している。とりわけ、miR-21は、いくつかのヒト腫瘍において上方調整されること、また異なる細胞モデルにおいて抗アポトーシス的役割を有することがすでに説明されている。ここで、これらのデータは、DNA低メチル化が、潜在的に発癌性のmiRのin vivo過剰発現を担う後成的機構である可能性があることを示している。

10

【0217】

発明者らが知る限り、これは、正常卵巣に対し癌において、また異なる亜型の腫瘍において特異的に発現したmiRの同定を焦点とした、ヒトEOCにおける完全miR発現プロファイリングを説明する最初の報告である。ここでのデータは、発病に対し、また異なる組織型の卵巣癌の発症に対しマイクロRNAが果たす重要な役割を示し、変化したDNAメチル化を、ゲノム変異に影響されないマイクロRNAの異常発現を担う可能な後成的機構として同定している。

20

【0218】

特許法の条項に従い、本発明の原理および作用様式を、その好ましい実施形態で説明し例示してきた。しかしながら、本発明は、その精神または範囲から逸脱せずに、具体的に説明され例示されたものとは異なる様式で実践され得ることを理解されたい。

30

【0219】

miR遺伝子データベース

【0220】

対象となるmiRNAは、公開データベースに列挙されている。ある特定の好ましい実施形態において、公開データベースは、命名および学名の割当てのために、また記録およびワールドワイドウェブによるオンライン検索用のデータベースへの配列の登録のためにmiRNA配列が提出される、Sanger Institute <http://microrna.sanger.ac.uk/sequences/>により提供される中央保管所であってもよい。一般に、Sanger InstituteによりmiRNAの配列に関し収集されたデータは、種、源、対応する遺伝子配列、および遺伝子位置(染色体の座標)、ならびに完全転写産物および成熟した完全処理miRNA(5'末端リン酸基を有するmiRNA)の配列を含む。別のデータベースは、National Institutes of Health and the National Library of Medicineにより管理されるNational Center for Biotechnology Information (NCBI)ウェブサイトからアクセス可能なGenBankデータベースであってもよい。これらのデータベースは、参照により本明細書にすべて組み込まれる。

40

【表1】

図8 - 表1

CV コンフュージョンマト

リックス(閾値=3.23866)

真\予測	癌	N	クラスエラー率
癌	63	8	0.112676056
非	1	14	0.066666667
			= 0.11

microRNAs	癌スコア	Nスコ	
Hsa-mir-200c	0.1152	-0.5454	
Hsa-mir-200a	0.1059	-0.5012	一致
Hsa-mir-199a	-0.098	0.4637	不一致
Hsa-mir-143	-0.0946	0.4479	Zhang 研究において変化なし
Hsa-mir-199b	-0.0887	0.4197	
Hsa-mir-141	0.0874	-0.4138	
Hsa-mir-145	-0.0734	0.3473	
Hsa-mir-147	-0.0679	0.3212	
Hsa-mir-133a	-0.0671	0.3176	
Hsa-mir-101	-0.0616	0.2917	
Hsa-mir-214	-0.0607	0.2873	
Hsa-mir-100	-0.0535	0.2533	
Hsa-mir-140	-0.0523	0.2474	
Hsa-mir-126	-0.0501	0.2371	
Hsa-mir-224	-0.0485	0.2294	
Hsa-mir-9	-0.0481	0.2277	
Hsa-mir-105	-0.0461	0.2184	
Hsa-mir-99a	-0.037	0.1753	
Hsa-mir-125a	-0.0315	0.1489	
Hsa-mir-211	-0.0248	0.1174	
Hsa-mir-127	-0.0232	0.11	
Hsa-mir-200b	0.0179	-0.0847	
Hsa-mir-125b-1	-0.0177	0.0837	
Hsa-let-7c	-0.0152	0.0719	
Hsa-let-7d	-0.0138	0.0654	
Hsa-mir-124a	-0.0121	0.0574	
Hsa-mir-374	-0.0119	0.0563	
Hsa-let-7a	-0.0113	0.0533	
Hsa-mir-134	-0.0014	0.0068	

10

20

30

【表2】

図9-表2
マイクロ RNA 上方調節

	スコア(d)	倍率変化	
hsa-miR-200a	6.629559054	5.900228959	
miR-141	5.282215009	6.676969496	
hsa-miR-200c	5.672214667	8.522477676	
hsa-miR-200b	3.833075725	3.305192114	
hsa-miR-302b*	2.735468464	7.576624548	
hsa-miR-182	2.474398072	4.029588041	
hsa-mir-325	2.427712097	3.582141657	
hsa-mir-373	2.368832731	3.10378255	
hsa-mir-203	2.106735098	3.924966016	
hsa-mir-205	1.912402407	3.913918092	
マイクロ RNA 下方調節			
	スコア(d)	1/倍率変化	
hsa-mir-199a	-6.660234251	0.149170383	
hsa-mir-199b	-6.411673443	0.158503458	
hsa-mir-143	-6.25941986	0.208966195	
hsa-mir-127	-6.239314997	0.36263205	
hsa-mir-140	-6.141381353	0.284933473	
hsa-mir-9	-6.109935294	0.213902307	
hsa-mir-133a	-5.997775401	0.2013223582	
hsa-mir-105	-5.971698987	0.256386384	
hsa-mir-101	-5.951436701	0.140368004	
hsa-mir-224	-5.92099781	0.221057654	
hsa-mir-126	-5.818430779	0.194310151	
hsa-mir-100	-5.768583066	0.217155847	
hsa-mir-147	-5.743104574	0.225260363	
hsa-mir-204	-5.642915363	0.135983578	
hsa-mir-214	-5.63781891	0.2268668132	
hsa-mir-99a	-5.61022158	0.29031027	
hsa-mir-211	-5.52630143	0.151341246	
hsa-mir-145	-5.522715864	0.268284181	
hsa-let-7d	-5.353956412	0.292557531	
hsa-mir-124a	-5.308572049	0.30918176	
hsa-mir-125a	-5.275370686	0.285112062	
hsa-let-7c	-5.155238667	0.313348909	
hsa-let-7a	-5.043893498	0.346201662	
hsa-mir-29c	-4.992819698	0.2848428558	
hsa-mir-195	-4.880474865	0.333200438	
hsa-mir-125b	-4.706809872	0.319219655	
hsa-mir-374	-4.625938602	0.260209699	
hsa-miR-302b	-4.540380253	0.28329528	
hsa-miR-29a	-4.538932739	0.330079052	

10

20

30

【表3】

図10-表3

漿液性対正常		
q値	=0, 倍率変化 >3	
	陽性遺伝子	
遺伝子名	スコア(d)	倍率変化
hsa-mir-200c	4.874822	9.316226469
hsa-mir-141	4.105882	6.297820292
hsa-mir-200a	5.22409	6.21082388
hsa-mir-200b	3.028617	3.354261291
	陰性遺伝子	
遺伝子名	スコア(d)	倍率変化
hsa-mir-137	-4.79547	0.148869513
hsa-mir-101	-4.20173	0.156683391
hsa-mir-199a	-4.95379	0.157135174
hsa-mir-211	-3.6933	0.159546591
hsa-mir-204	-4.35187	0.160197536
hsa-mir-199b	-4.77294	0.169477272
hsa-mir-101-1	-4.61299	0.205344813
hsa-mir-126	-4.31991	0.205709452
hsa-mir-224	-4.51103	0.210351178
hsa-mir-214	-4.4747	0.211015924
hsa-mir-143	-4.66151	0.225560787
hsa-mir-133a	-4.27006	0.22613586
hsa-mir-147	-4.19961	0.244193755
hsa-mir-34c	-3.49226	0.244581699
hsa-mir-100	-4.031	0.244948271
hsa-mir-302c	-2.7653	0.263419845
hsa-mir-374	-3.44084	0.264221816
hsa-mir-9	-4.22971	0.271871858
hsa-mir-101	-4.10703	0.281023282
hsa-mir-125a	-3.96362	0.284404726
hsa-mir-195	-4.22039	0.288096703
hsa-mir-29c	-3.81131	0.289651915
hsa-mir-105	-4.22771	0.290067186
hsa-mir-145	-4.16437	0.291445115
hsa-let-7d	-3.95134	0.300703735
hsa-mir-302b	-3.13456	0.30356362
hsa-mir-9*	-3.40033	0.307833212
hsa-mir-216	-2.98653	0.309688574
hsa-mir-99a	-4.06488	0.311194043
hsa-mir-140	-5.02723	0.313106918
hsa-mir-125b-1	-3.54736	0.314166789
hsa-mir-215	-3.62675	0.315298054
hsa-let-7c	-3.8424	0.31529976
hsa-mir-181a*	-3.69974	0.319272615
hsa-mir-124a	-3.80122	0.320240298
hsa-mir-28	-2.56159	0.33142251
hsa-let-7d	-3.80275	0.332028327
hsa-mir-29a	-3.46281	0.333446637
hsa-mir-133b	-2.68467	0.333883896

10

20

30

40

【表4】

図10続き - 表3続き

類内膜対正常 q 値...=0, 倍率変化...>3					
遺伝子名	スコア(d)	倍率変化	スコア(d)	倍率変化	
hsa-mir-200c	5.602789	11.35184732	4.285621	5.169317934	10
hsa-mir-141	6.66868	8.134845605	3.175124	4.632327322	
hsa-mir-200a	5.873119	5.577590602	2.847984	5.089229918	
hsa-mir-205	4.091189	4.268810393	2.74905	3.473502434	
hsa-mir-21	3.308304	3.933420772	2.685224	2.25107383	
hsa-mir-182	3.336352	3.755931307	2.318534	2.000271165	
hsa-mir-200b	3.822882	3.58677048	2.264066	2.501721471	
			2.25371	2.455112892	
			2.231062	2.385770368	
			2.200151	3.904843321	
			2.167726	2.263162617	
陰性遺伝子					
遺伝子名	スコア(d)	倍率変化	スコア(d)	倍率変化	
hsa-mir-302c	-4.5238	0.057739797	1.898917	2.611066113	20
hsa-mir-140	-4.32451	0.122075074	1.893946	2.183311521	
hsa-mir-101	-4.28657	0.132249108			
hsa-mir-9	-4.06022	0.165300935			
hsa-mir-147	-5.31115	0.170117845			
hsa-mir-302b	-3.40316	0.177459541			
hsa-mir-9*	-3.96329	0.177591359			
hsa-mir-133a	-4.81939	0.1833621			
hsa-mir-137	-2.7233	0.18888881			
hsa-mir-299-5p	-4.39191	0.192261887			
hsa-mir-105	-4.82847	0.202341368			30
hsa-mir-199b	-4.4869	0.209194024			
hsa-mir-199a	-4.52646	0.210975698			
hsa-mir-124a	-4.58559	0.214502778			
hsa-mir-100	-4.17774	0.21482284			
hsa-mir-211	-2.41054	0.240456539			
hsa-mir-224	-3.8354	0.242984707			
hsa-mir-143	-4.79084	0.249925609			
hsa-mir-126	-3.76437	0.250497146			
hsa-mir-1	-3.88978	0.271896204			
hsa-mir-7-2	-2.91243	0.280749401			40
hsa-mir-302a	-2.203	0.289793304			
hsa-mir-99a	-3.7768	0.294318696			
hsa-mir-216	-1.97425	0.311440033			
hsa-mir-125b-1	-3.72135	0.313838284			
hsa-let-7d	-3.92129	0.314438715			
hsa-let-7f	-4.38303	0.317245972			
hsa-mir-139	-2.99323	0.32021126			
hsa-mir-125a	-3.54416	0.321469706			
hsa-mir-193	-3.35024	0.3275396			
hsa-mir-144	-2.56969	0.32905162			
hsa-mir-222	-2.70438	0.330732291			
hsa-mir-323	-5.14298	0.335905205			
hsa-mir-134	-4.3392	0.336555522			
hsa-mir-370	-3.40042	0.339804603			

【表5】

図10続き-表3続き

明細胞対正常			混合対正常		
q値 =0, 倍率変化 倍率変化	遺伝子名	スコア(d)	q値 =0, 倍率変化 倍率変化	陽性遺伝子	スコア(d)
陽性遺伝子			陽性遺伝子		
hsa-mir-200c	3.727262	8.735679382	hsa-mir-200c	4.94136514	13.03477954
hsa-mir-200a	4.251752	3.777659435	mir-182	4.75314464	8.234584867
			mir-141	6.52792749	8.114549554
			hsa-mir-200a	8.59775165	6.749192792
			hsa-mir-205	3.15296179	6.612809032
			mir-203	3.95187923	6.023471984
			hsa-mir-200b	4.21752758	4.559403288
			hsa-mir-302b*	2.97964866	3.793211487
			hsa-mir-337	2.7911355	3.476209352
陰性遺伝子			陰性遺伝子		
遺伝子名	スコア(d)	倍率変化	遺伝子名	スコア(d)	倍率変化
hsa-mir-133a	-2.93133	0.088082129	hsa-mir-1	-2.9664742	0.104268828
hsa-mir-140	-2.97299	0.121810358	hsa-mir-140	-3.2747728	0.106318579
hsa-mir-301	-2.39538	0.123963114	hsa-mir-199a	-4.3900871	0.130723644
hsa-mir-137	-2.27518	0.14653595	hsa-mir-137	-2.1620126	0.160523671
hsa-mir-1	-2.33148	0.147859091	hsa-mir-214	-5.0278438	0.160582932
hsa-mir-9	-2.96241	0.148568071	hsa-mir-145	-5.3314714	0.174664643
hsa-mir-101	-3.2276	0.166648407	hsa-mir-143	-4.5203659	0.179176097
hsa-mir-100	-3.83532	0.168061777	hsa-mir-199b	-3.7977335	0.180079351
hsa-mir-9*	-2.83792	0.174089614	hsa-mir-133a	-2.2671953	0.193349456
hsa-mir-199b	-3.67083	0.178632358	hsa-mir-9	-2.5636558	0.195399985
hsa-mir-105	-3.64152	0.196628255	hsa-mir-101	-2.0553425	0.223886714
hsa-mir-98	-3.50536	0.205661462	hsa-mir-9*	-3.1686816	0.243634991
hsa-mir-302a	-2.1459	0.211204706	hsa-mir-100	-2.8720969	0.258813665
hsa-mir-199a	-3.56433	0.212611204	hsa-mir-147	-3.2823363	0.264405641
hsa-mir-126	-3.07167	0.22443264	hsa-mir-126	-2.5427505	0.273636302
hsa-mir-125a	-3.94158	0.22469509	hsa-mir-29c	-1.996995	0.287851362
hsa-mir-143	-3.8477	0.229220021	hsa-mir-134	-4.3148185	0.293654878
hsa-mir-19b	-2.84997	0.231739108	hsa-mir-34c	-2.1549977	0.29946464
hsa-mir-125b-1	-3.97578	0.232452007	hsa-mir-10b	-2.9384249	0.303075071
hsa-mir-29a	-2.55383	0.236887361	hsa-mir-125a	-3.2480671	0.305281943
hsa-mir-147	-3.22581	0.237154001	hsa-mir-224	-2.5926058	0.305719697
hsa-mir-29c	-2.28388	0.243218229	hsa-mir-105	-2.6330954	0.316376728
hsa-mir-222	-2.5152	0.244824885	hsa-mir-181a*	-1.862744	0.321375183
hsa-mir-99a	-3.2997	0.25237176			
hsa-mir-224	-3.01436	0.252667402			
hsa-mir-29b	-2.32129	0.25626224			
hsa-mir-18a	-1.87174	0.261229849			
hsa-mir-144	-2.11054	0.263378089			
hsa-mir-100	-3.22544	0.275300179			
hsa-mir-154	-2.4006	0.278357698			
hsa-mir-302b	-1.87776	0.282435823			
hsa-mir-29b	-2.36214	0.284442159			
hsa-mir-125b	-3.37335	0.285579607			
hsa-let-7d	-3.39786	0.285816741			
hsa-let-7c	-3.1888	0.295568469			
hsa-mir-145	-3.61294	0.297295886			
hsa-mir-181a*	-1.97299	0.29770489			
hsa-mir-19b	-2.24934	0.300862177			
hsa-mir-153	-2.10042	0.300931686			
hsa-let-7d	-2.98829	0.332705239			

10

20

30

【表6】

図10続き-表3続き

低分化対正常

q値 $!=0$, 倍率変化 >2
陽性遺伝子

遺伝子名	スコア(d)	倍率変化
hsa-mir-325	4.285621	5.169317934
hsa-mir-22	3.175124	4.632327322
hsa-miR-302c	2.847984	5.089229918
hsa-miR-299-5p	2.74905	3.473502434
hsa-miR-373*	2.685224	2.25107383
hsa-miR-196b	2.318534	2.000271165
hsa-miR-194	2.264066	2.501721471
hsa-miR-373	2.25371	2.455112892
hsa-miR-324-3p	2.231062	2.385770368
hsa-miR-302b*	2.200151	3.904843321
hsa-miR-222	2.167726	2.263162617
hsa-miR-105	1.998298	2.69462407
hsa-miR-124a	1.898917	2.611066113
hsa-miR-1	1.893946	2.183311521

10

20

【表7】

図11-表4

漿液性対類内膜			類内膜対非類内膜		
陽性遺伝子			陽性遺伝子		
遺伝子名	スコア(d)	倍率変化	遺伝子名	スコア(d)	倍率変化
hsa-miR-302b*	2.1162067	4.562238026	hsa-miR-212	2.432924647	2.073840527
hsa-miR-325	1.957964	2.804324646	hsa-miR-302b*	2.041611412	0.248819032
hsa-miR-299-5p	1.9831227	2.733850997	hsa-miR-299-5p	2.034194437	0.341389128
hsa-miR-222	2.0673155	2.519055674	hsa-miR-22	1.656798515	0.204982703
hsa-miR-324-3p	2.012373	2.40273827	hsa-miR-194	1.727883478	0.378903888
hsa-miR-196b	2.222754	1.951149725	hsa-miR-101	1.785001084	0.379589721
hsa-miR-135b	2.087203	1.817543895	hsa-mir-373	1.696286422	0.387321213
陰性遺伝子			hsa-miR-324-3p	1.977704757	0.424134141
遺伝子名	スコア(d)	倍率変化	hsa-mir-222	1.783218284	0.42620566
hsa-miR-212	2.533951	0.455394471	明細胞対非明細胞		
hsa-miR-150	2.4778111	0.531181718	陽性遺伝子		
漿液性対非漿液性			遺伝子名	スコア(d)	倍率変化
陽性遺伝子			hsa-miR-30a-5p	2.567858911	3.180690498
遺伝子名	スコア(d)	倍率変化	hsa-miR-29b	2.548556062	2.674746178
hsa-miR-302b*	1.8856931	2.387166664	hsa-miR-30e-5p	2.090920369	2.632760423
hsa-miR-22	1.8760835	2.289141433	遺伝子名	スコア(d)	倍率変化
hsa-mir-373	1.9671527	2.026991587	hsa-miR-20a	2.03649871	0.408227411
陰性遺伝子					
遺伝子名	スコア(d)	倍率変化			
hsa-miR-148b	1.9350385	0.473389			
hsa-miR-211	1.5246626	0.380840675			
低分化(PD)対非 PD					
陰性遺伝子					
遺伝子名	スコア(d)	倍率変化			
hsa-mir-9	1.667661896	0.30496814			
hsa-mir-18	1.573399409	0.275779483			

10

20

30

40

【表8】

図12-表5

リンパ脈管浸潤				
陰性遺伝子				
遺伝子名	スコア(d)	倍率変化	tq-値	(%)
hsa-mir-144	-1.96	0.215959317	0	
hsa-mir-216	-1.33255	0.41718005	0	
卵巣表面の関与				
陽性遺伝子				
遺伝子名	スコア(d)	倍率変化	tq-値	(%)
hsa-mir-101	2.018272	2.243033058	0	
hsa-miR-182*	1.561247	2.065541993	0	
hsa-mir-22	1.401532	2.457950079	0	
hsa-miR-133a	1.381055	3.450487913	0	
管の関与				
陰性遺伝子				
遺伝子名	スコア(d)	倍率変化	tq-値	(%)
hsa-mir-137	-1.9090693	0.37256783	0	
hsa-mir-101	-1.7469971	0.390419388	0	
hsa-mir-215	-1.4178719	0.324648273	0	
hsa-mir-211	-1.1978493	0.407288227	0	
骨盤腹膜				
陽性遺伝子				
遺伝子名	スコア(d)	倍率変化	tq-値	(%)
hsa-miR-302c	1.150474	2.293373976	0	
子宮の関与				
陽性遺伝子				
遺伝子名	スコア(d)	倍率変化	tq-値	(%)
hsa-mir-133a-2	1.27588177	3.266174858	0	
hsa-mir-143	1.91132897	2.362716504	0	
hsa-mir-145	1.82832273	2.282302908	0	
hsa-mir-1	1.57556619	2.278201035	0	
hsa-mir-147	0.99659977	2.115494772	0	
hsa-miR-126	1.36023908	2.08659655	0	

10

20

30

【表9】

図13-表6

卵巢癌におけるmiR上方調節	確認された標的	卵巢癌における発現	推定標的	卵巢癌における発現	
miR-200a			BAP1	下方	
			PDCD4	その他の腫瘍において下方	10
			GATA6	下方	
			VCAM-1	下方	
			BAP1	下方	
			GATA4	下方	
			FN1 (フィブロネクチン1)	下方	
			BAP1	下方	
			FN1 (フィブロネクチン1)	下方	
			BAP1	下方	
miR-200b					
miR-200c					
miR-141	CLOCK (Kiriakidou M.ら、2004年)				
卵巢癌におけるmiR下方調節					
miR-140	HDAC4 (Tuddenham L.ら、2006年)	上方	c-SRK	上方	20
miR-199a	LAMC2 (Kiriakidou M.ら、2004年)	上方(その他の癌)	MMP13	上方	
miR-199b			FGF2	上方	
miR-145	FLJ21308 (Kiriakidou M.ら、2004年)		CCNL1	上方(その他の腫瘍型)	
miR-143	ERK5 (Esauら、2004年) ERBB2, ERBB3	上方(その他の癌)			
miR-125a	(Scottら、2007年)	上方			
miR-125b	ERBB2, ERBB3 (Scottら、2007年)	上方			
miR-101	Enx-1 (Lewisら、2003年) NYCN (Lewisら、2003年)		COX-2	上方	
miR-212			WT1, BRCA1		40
miR-222	c-KIT (Felliら、2005年)	低グレードOSCと比較して高グレードではより高い			

【表 10】

受託番号	ID	配列	配列 ID 番号
MIMAT0000682	hsa-miR-200a	UAACACUGUCUGGUAAACGAUGU	1
MIMAT0000318	hsa-miR-200b	UAAAUCUGCCUGGUAAUGAUGA	2
MIMAT0000617	hsa-miR-200c	UAAAUCUGCCGGGUAAUGAUGGA	3
MIMAT0000432	hsa-miR-141	UAACACUGUCUGGUAAAGAUGG	4
MIMAT0000714	hsa-miR-302b*	ACUUUAACAUGGAAGUGCUUUC	5
MIMAT0000259	hsa-mir-182	UUUGGCAAUGGUAGAACUCACACU	6
MIMAT0000771	hsa-miR-325	CCUAGUAGGUGUCCAGUAAGUGU	7
MIMAT0000726	hsa-miR-373	GAAGUGCUUCGAUUUUGGGGUGU	8
MIMAT0000264	hsa-miR-203	GUGAAAUGUUUAGGACCACUAG	9
MIMAT0000266	hsa-miR-205	UCCUCAUUCCACCGGAGUCUG	10
MIMAT0000231	hsa-miR-199a	CCCAGUGUUCAGACUACCUGUUC	11
MIMAT0000263	hsa-miR-199b	CCCAGUGUUUAGACUAUCUGUUC	12
MIMAT0000435	hsa-miR-143	UGAGAUGAAGCACUGUAGCUC	13
MIMAT0004604	hsa-miR-127	CUGAAGCUCAGAGGGCUCUGAU	14
MIMAT0000431	hsa-miR-140	CAGUGGUUUACCCUAUGGUAG	15
MIMAT0000441	hsa-miR-9	UCUUUGGUUAUCUAGCUGUAUGA	16
MIMAT0000427	hsa-miR-133a	UUUGGUCCCCUUJCAACCAGCUG	17
MIMAT0000102	hsa-miR-105	UCAAAUGCUCAGACUCCUGUGGU	18
MIMAT0000099	hsa-miR-101	UACAGUACUGUGAUACUGAA	19
MIMAT0000281	hsa-miR-224	CAAGUCACUAGUGGUUCCGUU	20
MIMAT0000445	hsa-miR-126	UCGUACCGUGAGUAAUAAUGCG	21
MIMAT0000098	hsa-miR-100	AACCGUAGAUCCGAACUUGUG	22
MIMAT0000251	hsa-miR-147	GUGUGUGGAAAUGCUUCUGC	23
MIMAT0000265	hsa-miR-204	UUCCUUUGUCAUCCUAUGCCU	24
MIMAT0000271	hsa-miR-214	ACAGCAGGCACAGACAGGCAGU	25
MIMAT0000097	hsa-miR-99a	AACCGUAGAUCCGAUCUUGUG	26
MIMAT0000268	hsa-miR-211	UUCCUUUGUCAUCCUUCGCCU	27
MIMAT0000437	hsa-miR-145	GUCCAGUUUUCCCAGGAAUCCU	28
MIMAT0000065	hsa-let-7d	AGAGGUAGUAGGUUGCAUAGUU	29
MIMAT0000422	hsa-miR-124	UAAGGCACCGGGUGAAUGCC	30
MIMAT0000443	hsa-miR-125a	UCCCUGAGACCCUUUAACCUGUGA	31
MIMAT0000064	hsa-let-7c	UGAGGUAGUAGGUUGUAUGGUU	32
MIMAT0000062	hsa-let-7a	UGAGGUAGUAGGUUGUAUAGUU	33
MIMAT0000681	hsa-miR-29c	UAGCACCAUUUGAAAUCGGUUA	34
MIMAT0000461	hsa-miR-195	UAGCAGCACAGAAAUAUUGGC	35
MIMAT0000423	hsa-miR-125b	UCCCUGAGACCCUAACUUGUGA	36
MIMAT0000727	hsa-miR-374	UUUAUAAUACAACCUGUAAGUG	37
MIMAT0000715	hsa-miR-302b	UAAGUGCUUCCAUGUUUAGUAG	38
MIMAT0000086	hsa-miR-29a	UAGCACCAUCUGAAAUCGGUUA	39
MIMAT000076	hsa-miR-21	UAGCUUAUCAGACUGAUGUUGA	40
MIMAT0000259	hsa-miR-182	UUUGGCAAUGGUAGAACUCACACU	41
MIMAT0000270	hsa-miR-181a*	ACCAUCGACCGUUGAUUGUACC	42
MIMAT0000273	hsa-miR-216	UAAUCUCAGCUGGCAACUGUGA	43
MIMAT0000717	hsa-miR-302c	UAAGUGCUUCCAUGUUUUCAGUGG	44

10

20

30

40

【表 1 1】

MIMAT0000688	hsa-miR-301a	CAGUGCAAUAGUAUUGUCAAAGC	45
MIMAT000096	hsa-miR-98	UGAGGUAGUAAGUUGUAUUGUU	46
MIMAT000074	hsa-miR-19h	UGUGCAAAUCCAUGCAAAACUGA	47
MIMAT0000100	hsa-miR-29h	UAGCACCAUUUGAAAUCAGUGUU	48
MIMAT000072	hsa-miR-18a	UAAGGUGCAUCUAGUGCAGAUAG	49
MIMAT0000452	hsa-miR-154	UAGGUUAUCCGUGUUGCCUUCG	50
MIMAT000073	hsa-miR-19a	UGUGCAAAUCUAUGCAAAACUGA	51
MIMAT0000439	hsa-miR-153	UUGCAUAGUCACAAAAGUGAUC	52
MIMAT0000436	hsa-miR-144	UACAGUAUAGAUGAUGUACU	53
MIMAT0000279	hsa-miR-222	AGCUACAUCCUGGUACUGGGU	54
MIMAT0000416	hsa-miR-1	UGGAAUGUAAAAGAAGUAUGUAU	55
MIMAT0000684	hsa-miR-302a	UAAGUGCUUCCAUGUUUUGGUGA	56
MIMAT0000686	hsa-miR-34c-5p	AGGCAGUGUAGUUAGCUGAUUGC	57
MIMAT0000272	hsa-miR-215	AUGACCUAUGAAUUGACAGAC	58
MIMAT000085	hsa-miR-28-5p	AAGGAGCUCACAGUCUAUUGAG	59
MIMAT0000770	hsa-miR-133b	UUUGGUCCCCUUCACACCAGCUA	60
MIMAT0002890	hsa-miR-299-5p	UGGUUUACCGUCCCACAUACAU	61
MIMAT0000252	hsa-miR-7	UGGAAGACUAGUGAUUUUGUUGU	62
MIMAT0000250	hsa-miR-139-5p	UCUACAGUGCACGUGUCUCCAG	63
MIMAT0000722	hsa-miR-370	GCCUGCUGGGGUGGAACCUGGU	64
MIMAT0000429	hsa-miR-137	UUAUUGCUUAAGAAUACGCGUAG	65
MIMAT0000442	hsa-miR-9*	AUAAAGCUAGAUAAACCGAAAGU	66
MIMAT0002809	hsa-miR-146b-5p	UGAGAACUGAAUUCAUAGGCU	67
MIMAT0000087	hsa-miR-30	UGUAAAACAUCCUCGACUGGAAG	68
MIMAT0000095	hsa-miR-96	UUUGGCACUAGCACAUUUUUGCU	69
MIMAT0000646	hsa-miR-155	UUAAUGCUAAUCGUGAUAGGGGU	70
MIMAT0000738	hsa-miR-383	AGAUCAGAAGGUGAUUGUGGU	71
MIMAT0000244	hsa-miR-30c	UGUAAACAUCCUACACUCUCAGC	72
MIMAT0002819	hsa-miR-193b	AACUGGCCCUAAAGUCCCGCU	73
MIMAT0002811	hsa-miR-202	AGAGGUUAAGGGCAUGGGAA	74
MIMAT0000447	hsa-miR-134	UGUGACUGGUUGACCAGAGGGG	75
MIMAT0004696	hsa-miR-323-5p	AGGUGGUCCGUGGCCGUUCGC	76
MIMAT0004695	hsa-miR-337-5p	GAACGGCUUCAUACAGGAGUU	77
MIMAT0000254	hsa-miR-10b	UACCCUGUAGAACCGAAUUUGUG	78
MIMAT0000077	hsa-miR-22	AAGCUGCCAGUUGAAGAACUGU	79
MIMAT0001080	hsa-miR-196b	UAGGUAGUUUCCUGUUGUUGGG	80
MIMAT0000460	hsa-miR-194	UGUAACAGCAACUCCAUGUGGA	81
MIMAT0000761	hsa-miR-324-5p	CGCAUCCCCUAGGGCAUUGGUGU	82
MIMAT0000758	hsa-miR-135b	UAUGGUUUUCAUCCUAUGUGA	83
MIMAT0000269	hsa-miR-212	UAACAGIJCUCCAGUCACGGCC	84
MIMAT0000451	hsa-miR-150	UCUCCCAACCCUUGUACCAGUG	85
MIMAT0000759	hsa-miR-148b	UCAGUGCAUCACAGAACUUUGU	86
MIMAT0000692	hsa-miR-30e	UGUAAAACAUCCUUGACUGGAAG	87
MIMAT0000075	hsa-miR-20a	UAAAGUGCUUAUAGUGCAGGUAG	88
MIMAT0000256	hsa-miR-181a	AACAUCAACGCUGUCGGUGAGU	89

【表 1 2】

MIMAT0000449	hsa-miR-146a	UGAGAACUGAAUUCCAUGGGUU	90
MIMAT0004614	hsa-miR-193a-5p	UGGGUCUUUGCGGGCGAGAUGA	91

10

20

30

40

50

【0221】

参考文献

【0222】

上述の参考文献および以下の参考文献は、それらが例示的手順または本明細書に記載される手順を補足するその他の詳細を提供する範囲内において、参照することにより本明細書に明確に組み込まれる。

1. Cannistra SA. Cancer of the ovary. *N Engl J Med* 2004; 351: 2519-29.
2. Greenlee RT, Hill-Harmon MB, Murray T and Thun M. Cancer statistics, 2001. *Cancer J. Clin.* 2001; 51: 15-36. C 10
3. Feeley KM and Wells M. Precursor lesions of ovarian epithelial malignancy. *Histopathology* 2001; 38: 87-95.
4. Bell DA. Origins and molecular pathology of ovarian cancer. *Mod Pathol* 2005; 18 Suppl 2: S19-32.
5. Schwartz DR, Kardia SL, Shedd KA et al. Gene expression in ovarian cancer reflects both morphology and biological behavior, distinguishing clear cell from other poor-prognosis ovarian carcinomas. *Cancer Res* 2002; 62: 4722-9. 20
6. De Cecco L, Marchionni L, Gariboldi M et al. Gene expression profiling of advanced ovarian cancer: characterization of a molecular signature involving Fibroblast Growth Factor 2. *Oncogene* 2004; 23: 8171-83.
7. He L, Hannon GJ. MicroRNAs: small RNAs with a big role in gene regulation. *Nature Rev Genet* 2004; 5: 522-31. 30
8. Miska EA. How microRNAs control cell division, differentiation and death. *Curr Opin Genet Dev* 2005; 5: 563-8.
9. Zamore PD, Haley B. Ribognome: the big world of small RNAs. *Science* 2005; 309: 1519-24.
10. Johnson SM, Grosshans H, Shingara J, et al. RAS is regulated by the let-7 microRNA family. *Cell* 2005; 120: 635-47. 40
11. Mayr C, Hemann MT, Bartel D. Disrupting the pairing between let-7 and HMGA2 enhances oncogenic transformation. *Science* 2007; 315: 1576-9.
12. Lee YS, Dutta A. The tumor suppressor microRNA let-7 represses the HMGA2 oncogene. *Genes Dev.* 2007; 21: 1025-30.
13. Cimmino A, Calin GA, Fabbrini M et al. miR-15 and miR-16 induce apoptosis by t 50

- argeting BCL2. Proc Natl Acad Sci USA 2005; 102: 13944-9.
14. O'Donnell KA, Wentzel EA, Zeller KI, Dang CV, Mendell JT. c-Myc-regulated microRNAs modulate E2F1 expression. *Nature* 2005; 435: 839-43.
15. He L, Thomson JM, Hemann MT et al. A microRNA polycistron as a potential human oncogene. *Nature* 2005; 435: 828-33.
16. Voorhoeve PM, Ie Sage C, Schriever M et al. A genetic screen implicates miRNA-372 and miRNA-373 as Oncogenes in Testicular Germ Cell Tumors. *Cell* 2006; 124: 1169-81.
17. Costinean S, Zanesi N, Pekarsky Y et al. Pre-B cell proliferation and lymphoblastic leukemia/high-grade lymphoma in E(mu)-miR155 transgenic mice. *Proc Natl Acad Sci U S A* 2006; 103: 7024-9.
18. Iorio MV, Ferracin M, Liu CG et al. *Cancer Res.* 2005; 65: 7065-70.
19. Calin GA, Croce CM. MicroRNA signatures in human cancers. *Nat Rev Cancer* 2006; 6: 857-66.
20. Esquela-Kerscher A, Slack FJ. Oncomirs - microRNAs with a role in cancer. *Nat Rev Cancer* 2006; 6: 259-69.
21. Calin GA, Ferracin M, Cimmino A et al. MicroRNA signature associated with prognosis and progression in chronic lymphocytic leukemia. *N Engl J Med* 2005; 353: 1793-801.
22. Yanaihara N, Caplen N, Bowman E et al. Unique microRNA molecular profiles in lung cancer diagnosis and prognosis. *Cancer Cell* 2006; 9: 189-98.
23. Calin GA, Croce CM. MicroRNAs and chromosomal abnormalities in cancer cells. *Oncogene* 2006; 25: 6202-10.
24. Zhang L, Huang J, Yang N et al. MicroRNAs exhibit high frequency genomic alterations in human cancer. *Proc Natl Acad Sci U S A* 2006; 103: 9136-41.
25. Saito Y, Liang G, Egger G et al. Specific activation of microRNA-127 with downregulation of the proto-oncogene BCL6 by chromatin-modifying drugs in human cancer cells. *Cancer Cell* 2006; 9: 435-43.
26. Lujambio A, Ropero S, Ballestar E et al. Genetic unmasking of an epigenetic 40 50

- lly silenced microRNA in human cancer ce
lls. *Cancer Res* 2007; 67: 1424-9.
27. Brueckner B, Stresemann C, Kuner R et al. The human let-7a-3 locus contains an epigenetically regulated microRNA gene with oncogenic function. *Cancer Res* 2007; 67: 1419-23.
28. Liu CG, Calin GA, Meloon B, et al. An oligonucleotide microchip for genome-wide microRNA profiling in human and mouse tissues. *Proc Natl Acad Sci U S A* 2004; 101: 9740-4.
29. Wright GW, Simon RM. A random variance model for detection of differential gene expression in small microarray experiments. *Bioinformatics*. 2003; 19: 2448-55.
30. Tusher VG, Tibshirani R and Chu G. Significance analysis of microarrays applied to the ionizing radiation response. *Proc Natl Acad Sci U S A*. 2001; 98: 5116-21.
31. Tibshirani R, Hastie T, Narasimhan B, Chu G. Diagnosis of multiple cancer types by shrunken centroids of gene expression. *Proc Natl Acad Sci U S A* 2002; 99: 6567-6572.
32. Scott GK, Goga A, Bhaumik D et al. Coordinate suppression of ERBB2 and ERBB3 by enforced expression of micro-RNA miR-125a or miR-125b. *J Biol Chem* 2007; 282: 1479-86.
33. Lewis BP, Shih IH, Jones-Rhoades MW, Bartel DP, Burge CB. Prediction of mammalian microRNA targets. *Cell* 2003; 115: 787-98.
34. Takai D, Jones PA. The CpG island searcher: a new WWW resource. *In Silico Biol* 2003; 3: 325-40.
35. Capo-chichi CD, Roland IH, Vanderveer L et al. Anomalous expression of epithelial differentiation-determining GATA factors in ovarian tumorigenesis. *Cancer Res* 2003; 63: 4967-77.
36. Murakami Y, Yasuda T, Saigo K et al. Comprehensive analysis of microRNA expression patterns in hepatocellular carcinoma and non-tumorous tissues. *Oncogene*. 2006; 25: 2537-45.
37. Roldo C, Missaglia E, Hagan JP et al. MicroRNA expression abnormalities in p

ancreatic endocrine and acinar tumors are associated with distinctive pathologic features and clinical behavior. *J Clin Oncol* 2006; 24: 4677-84.

38. Volinia S, Calin GA, Liu CG et al. A microRNA expression signature of human solid tumors defines cancer gene targets. *Proc Natl Acad Sci U S A*. 2006; 103: 2257-61.

39. Chan JA, Krichevsky AM, Kosik KS. Mi 10 croRNA-21 is an antiapoptotic factor in human glioblastoma cells. *Cancer Res* 2005; 65: 6029-33.

40. Zhu S, Si ML, Wu H, Mo YY. MicroRNA-21 targets the tumor suppressor gene tropomyosin 1 (TPM1). *J Biol Chem* 2007; 282: 14328-36.

41. Fellini N, Fontana L, Pelosi E et al. MicroRNAs 221 and 222 inhibit normal erythropoiesis and erythroleukemic cell growth via kit receptor down-modulation. *Proc Natl Acad Sci U S A*. 2005; 102: 18081-6. 20

42. He H, Jazdzewski K, Li W et al. The role of microRNA genes in papillary thyroid carcinoma. *Proc Natl Acad Sci U S A* 2005; 102: 19075-80.

43. Pallante P, Visone R, Ferracin M et al. MicroRNA deregulation in human thyroid papillary carcinomas. *Endocr Relat Cancer* 2006; 13: 497-508. 30

44. Lee EJ, Gusev Y, Jiang J et al. Expression profiling identifies microRNA signature in pancreatic cancer. *Int J Cancer* 2007; 120: 1046-54.

45. Marsit CJ, Eddy K, Kelsey KT. MicroRNA responses to cellular stress. *Cancer Res* 2006; 66: 10843-8.

46. Marquez RT, Baggerly KA, Patterson A P et al. Patterns of gene expression in different histotypes of epithelial ovarian cancer correlate with those in normal fallopian tube, endometrium and colon. *Clin Cancer Res* 2005; 11: 6116-26. 40

47. Shedden KA, Kshirsagar MP, Schwartz DR et al. Histologic type, organ of origin, and Wnt pathway status: effect on gene expression in ovarian and uterine carcinomas. *Clin Cancer Res* 2005; 11: 2123-31

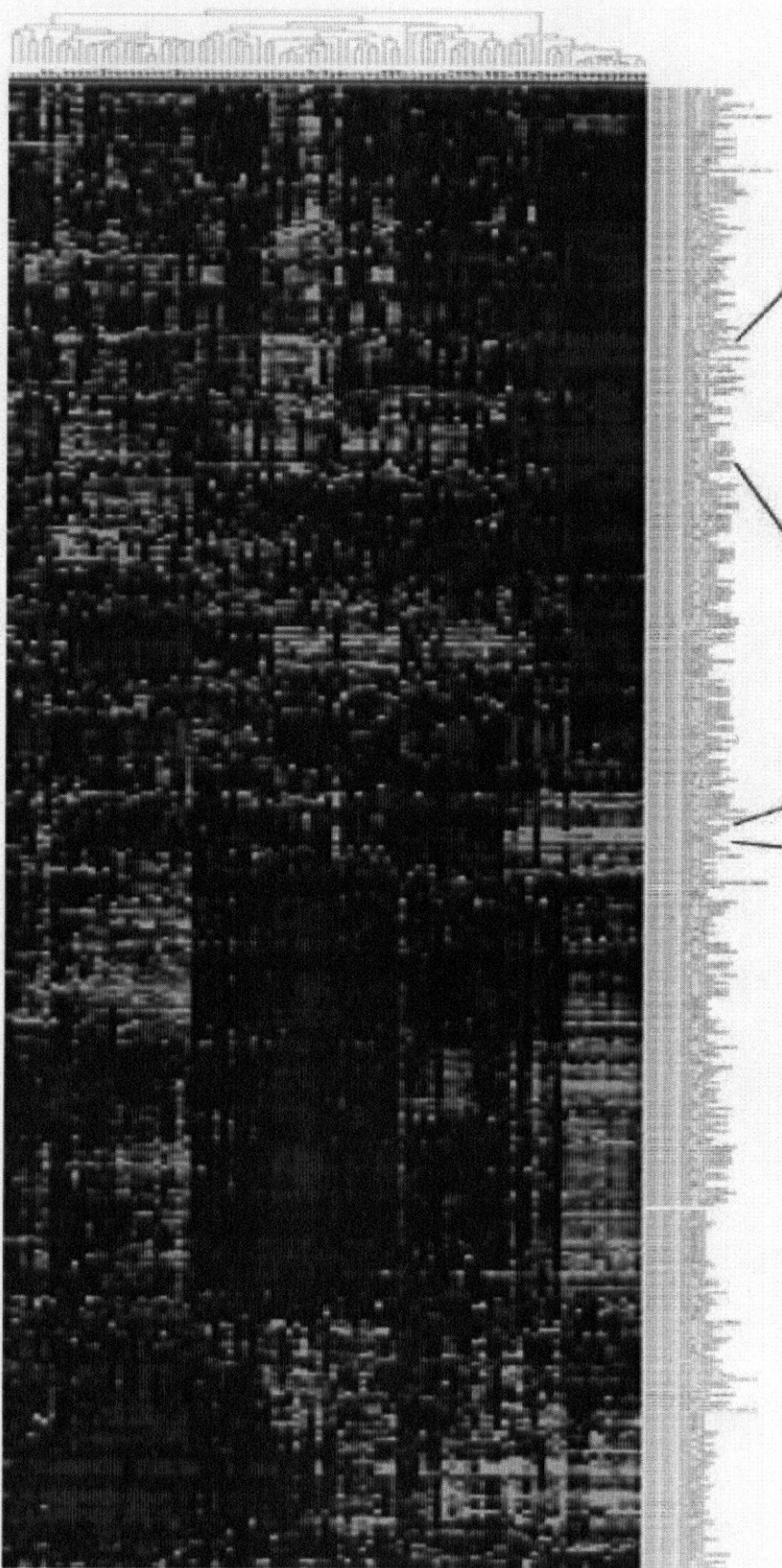
.

48. Thrall M, Gallion HH, Kryshio R et al. BRCA1 expression in a large series of sporadic ovarian carcinomas: a Gynecologic Oncology Group study. *Int J Gynecol Cancer* 2006; 16 Suppl 1: 166-71.

49. Lin YW, Sheu JC, Liu LY et al. Loss of heterozygosity at chromosome 13q in hepatocellular carcinoma: identification of three independent regions. *Eur J Cancer* 1999; 35: 1730-4.

【図 1 - 1】

図 1 A



【図1-2】

図1 B

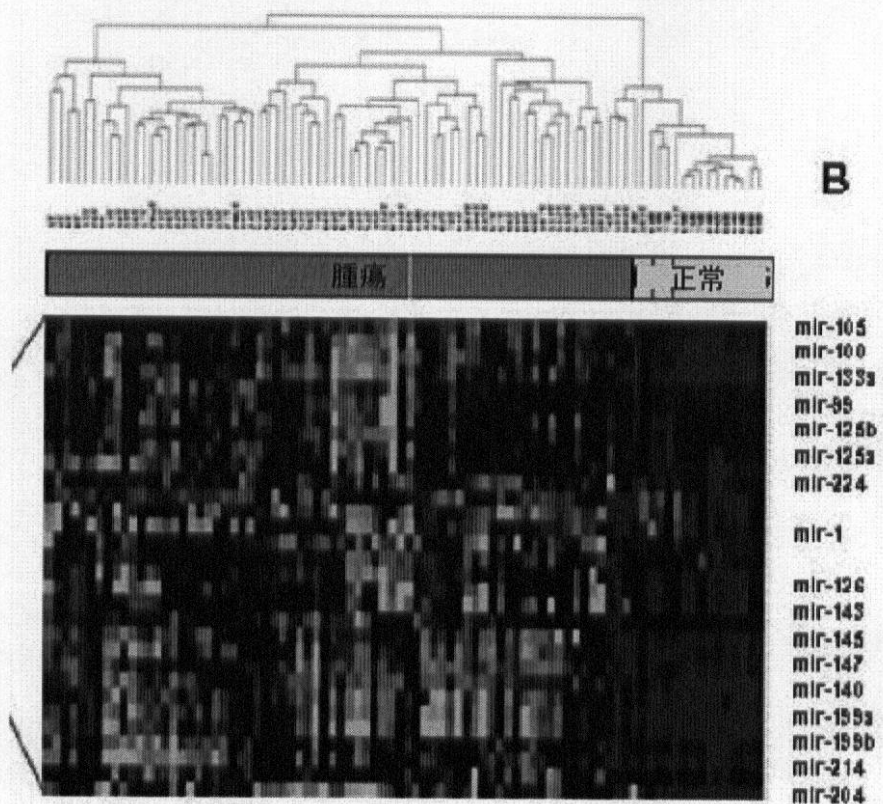
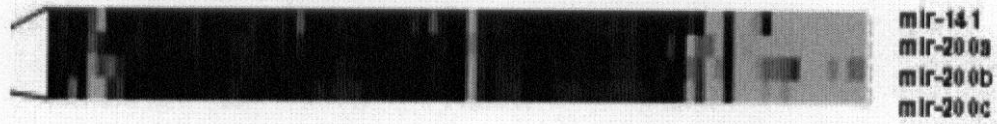
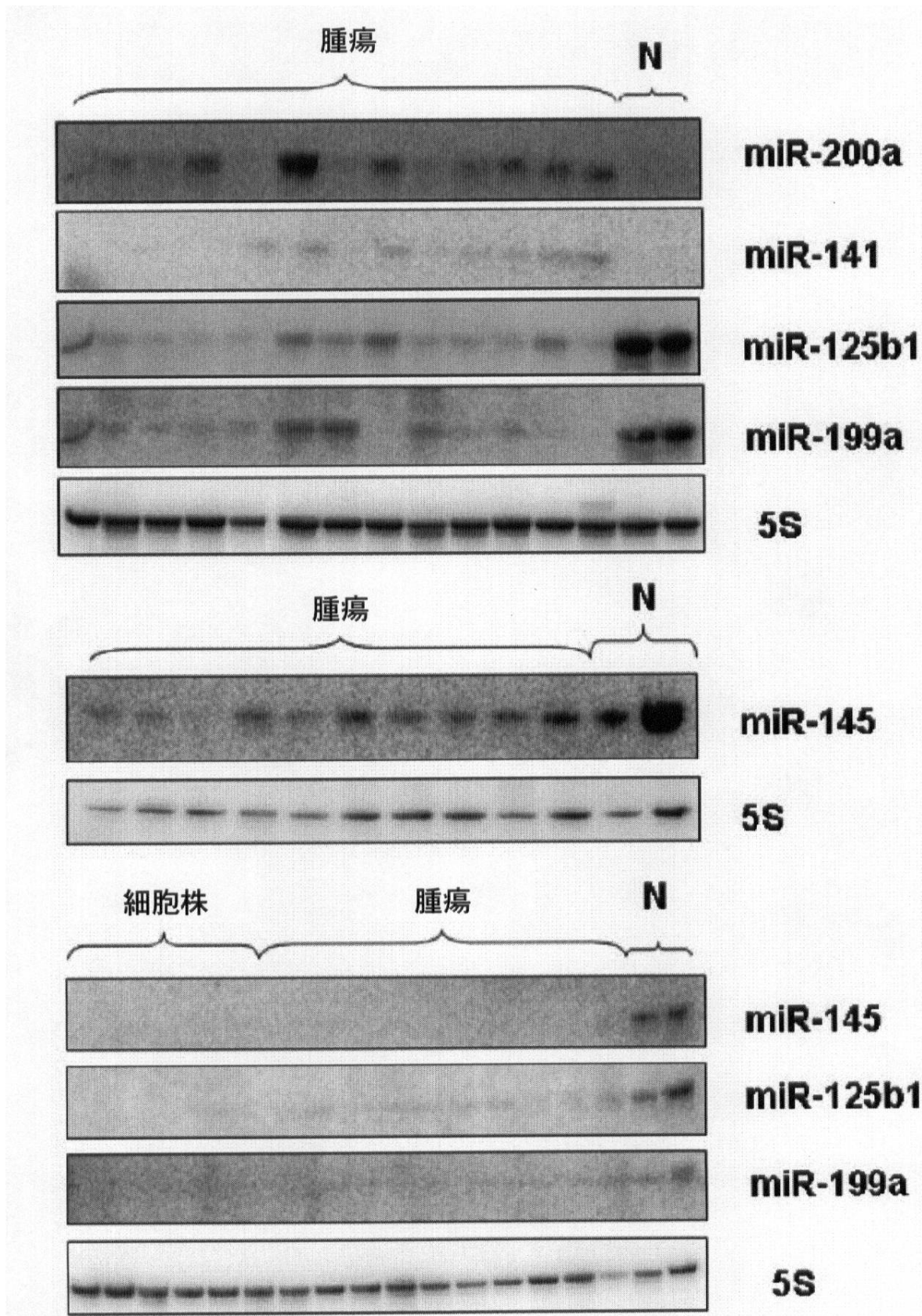


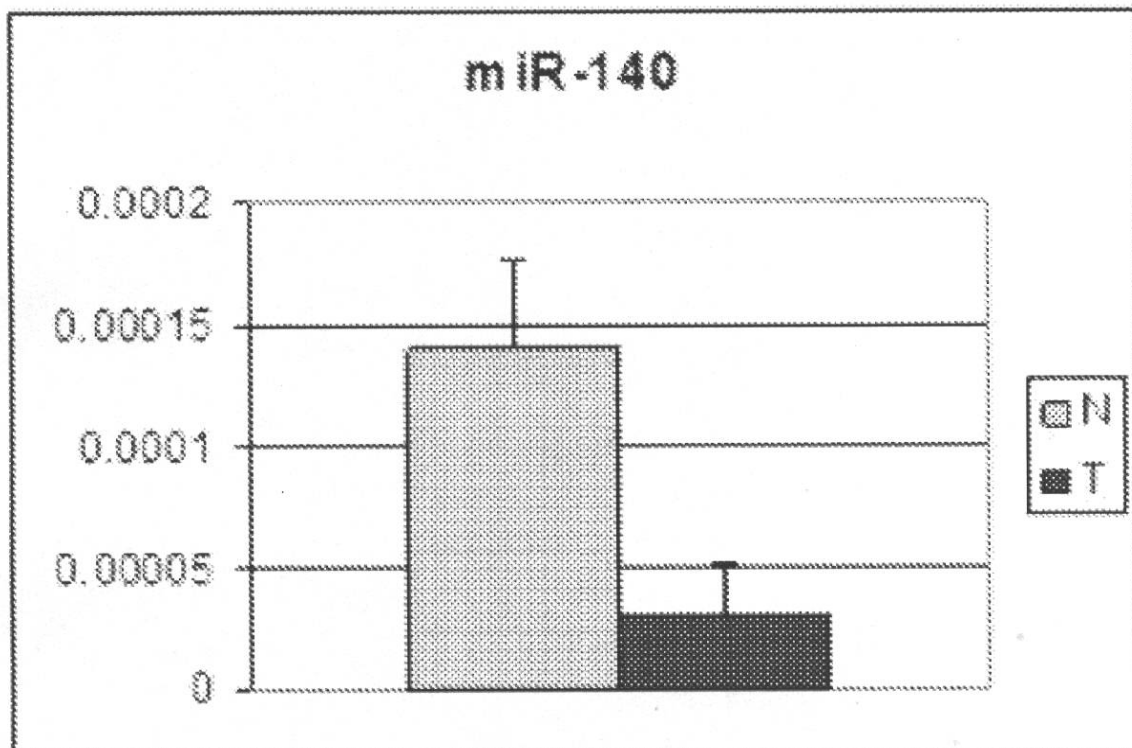
図1 C



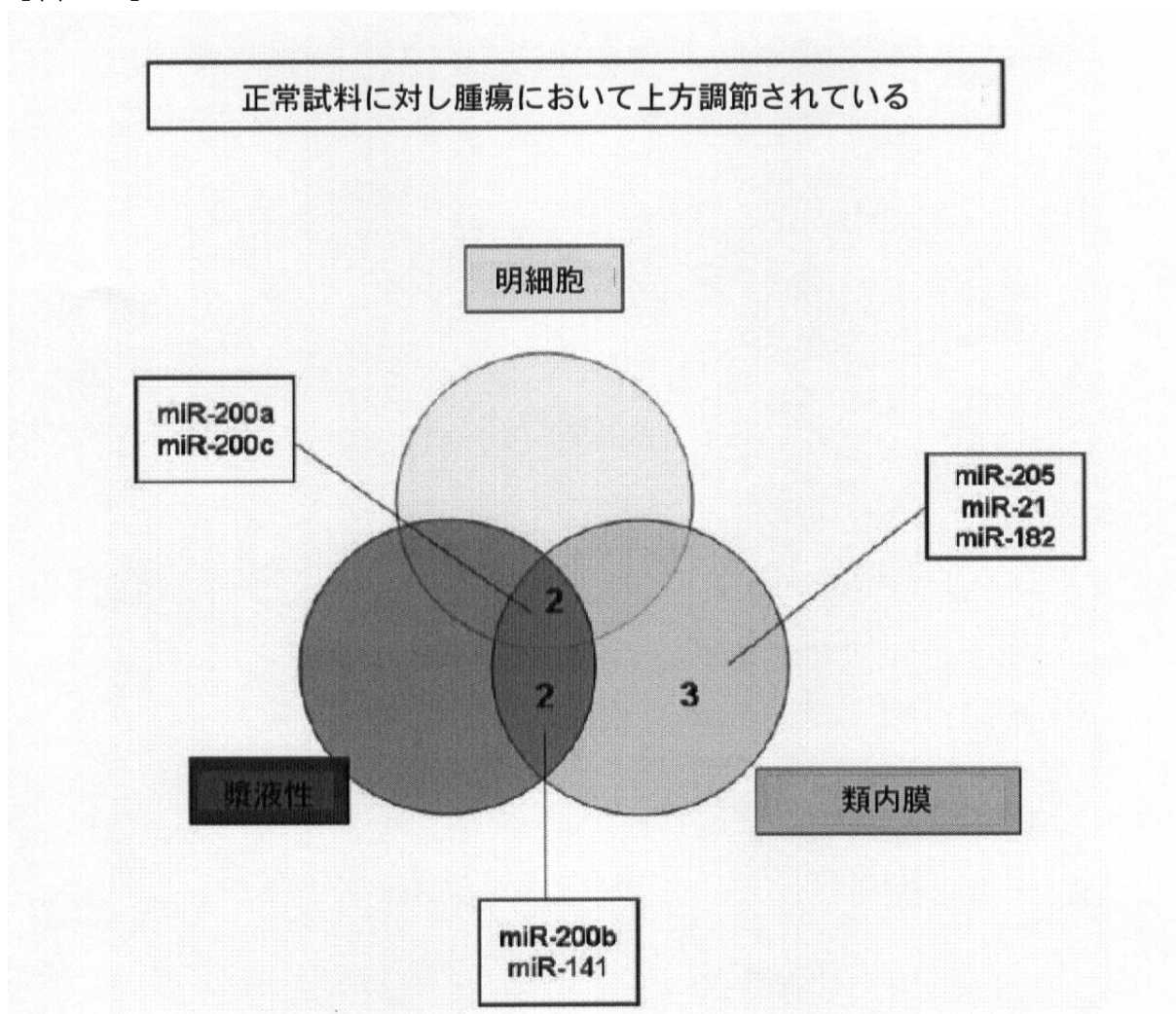
【図2A】



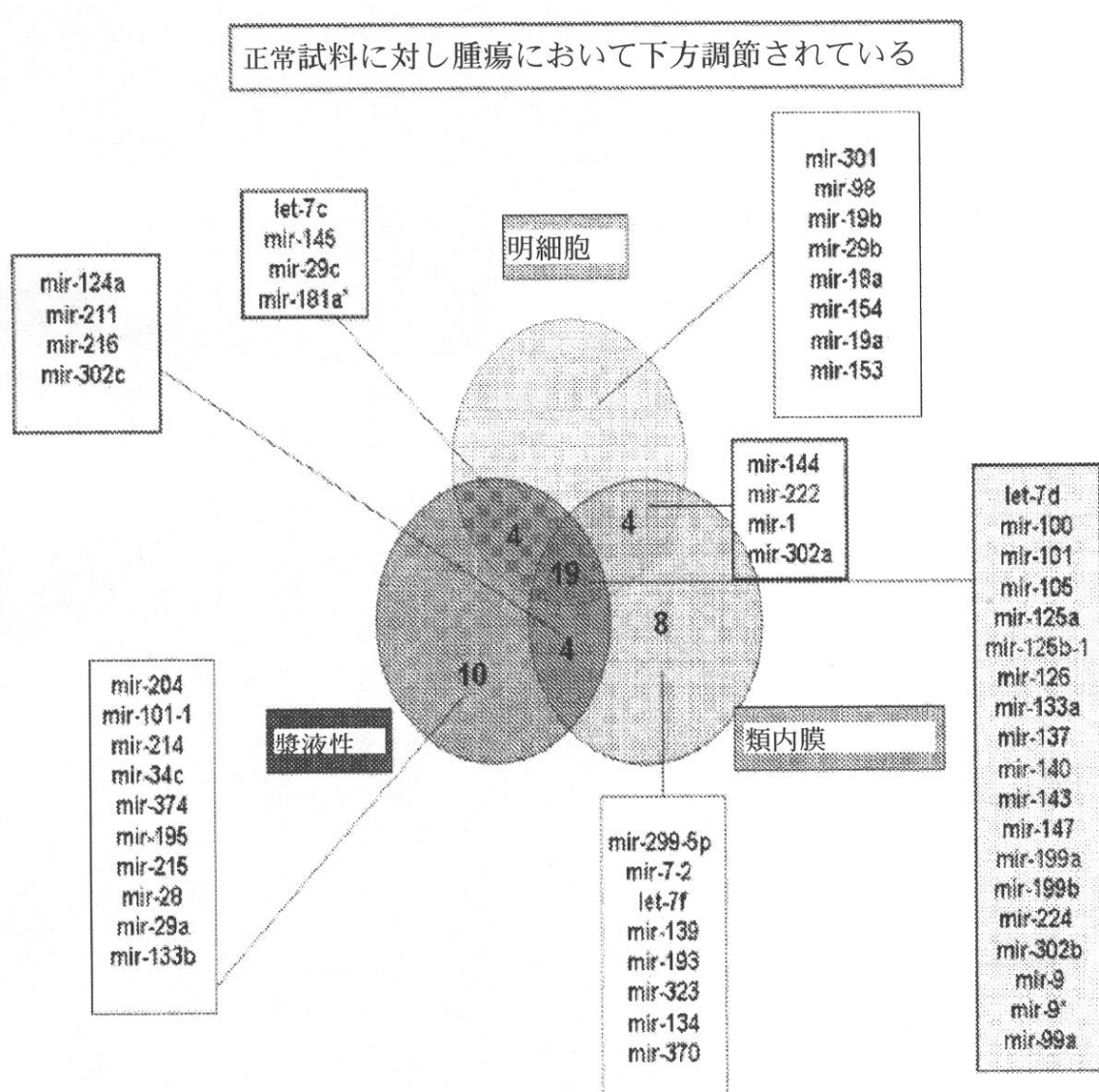
【図2B】



【図3A】



【図3B】



【図4】

図4A

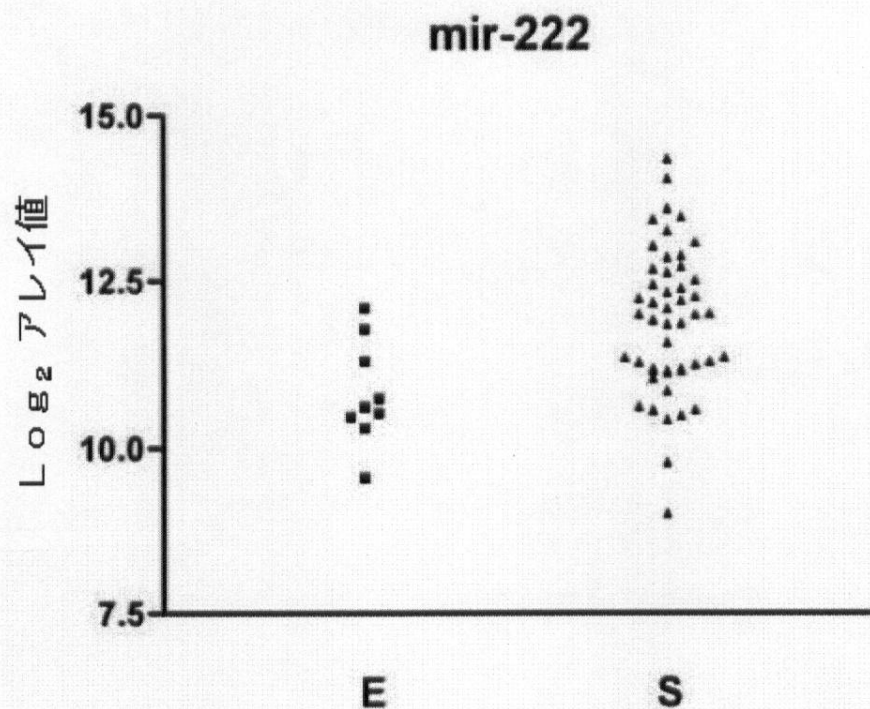
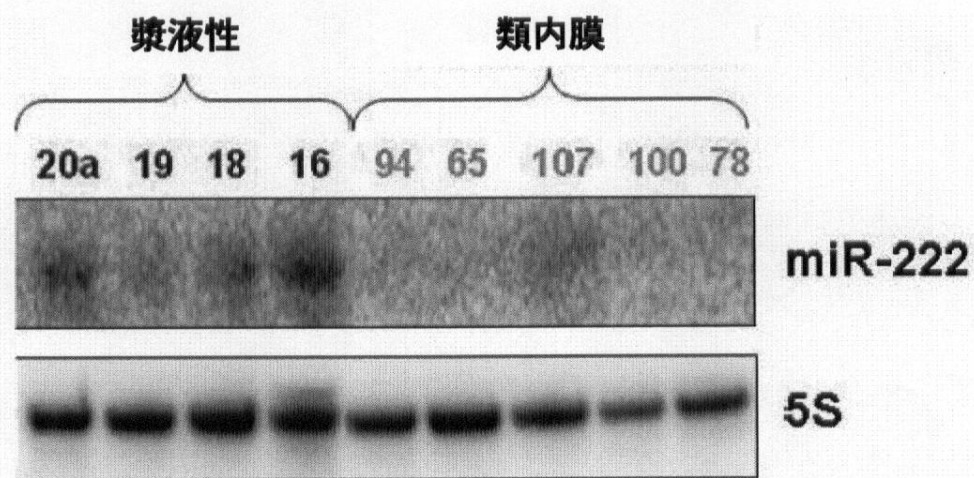


図4B

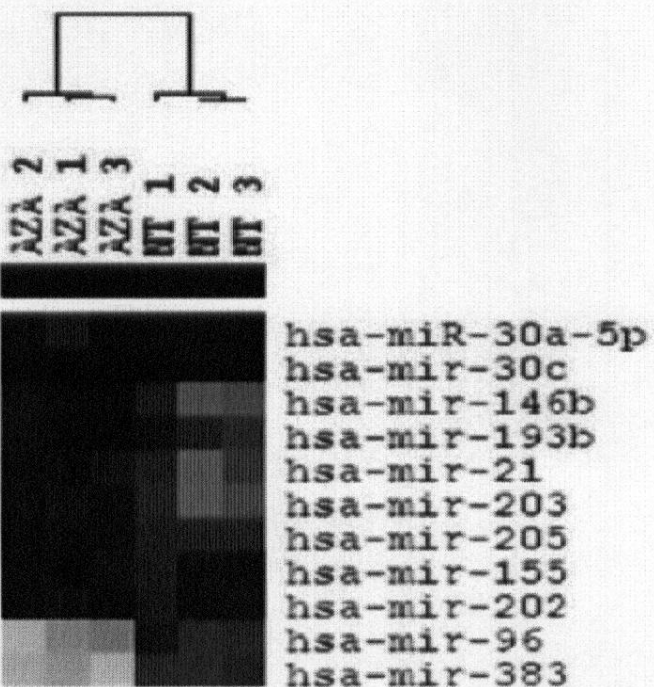


【図5-1】

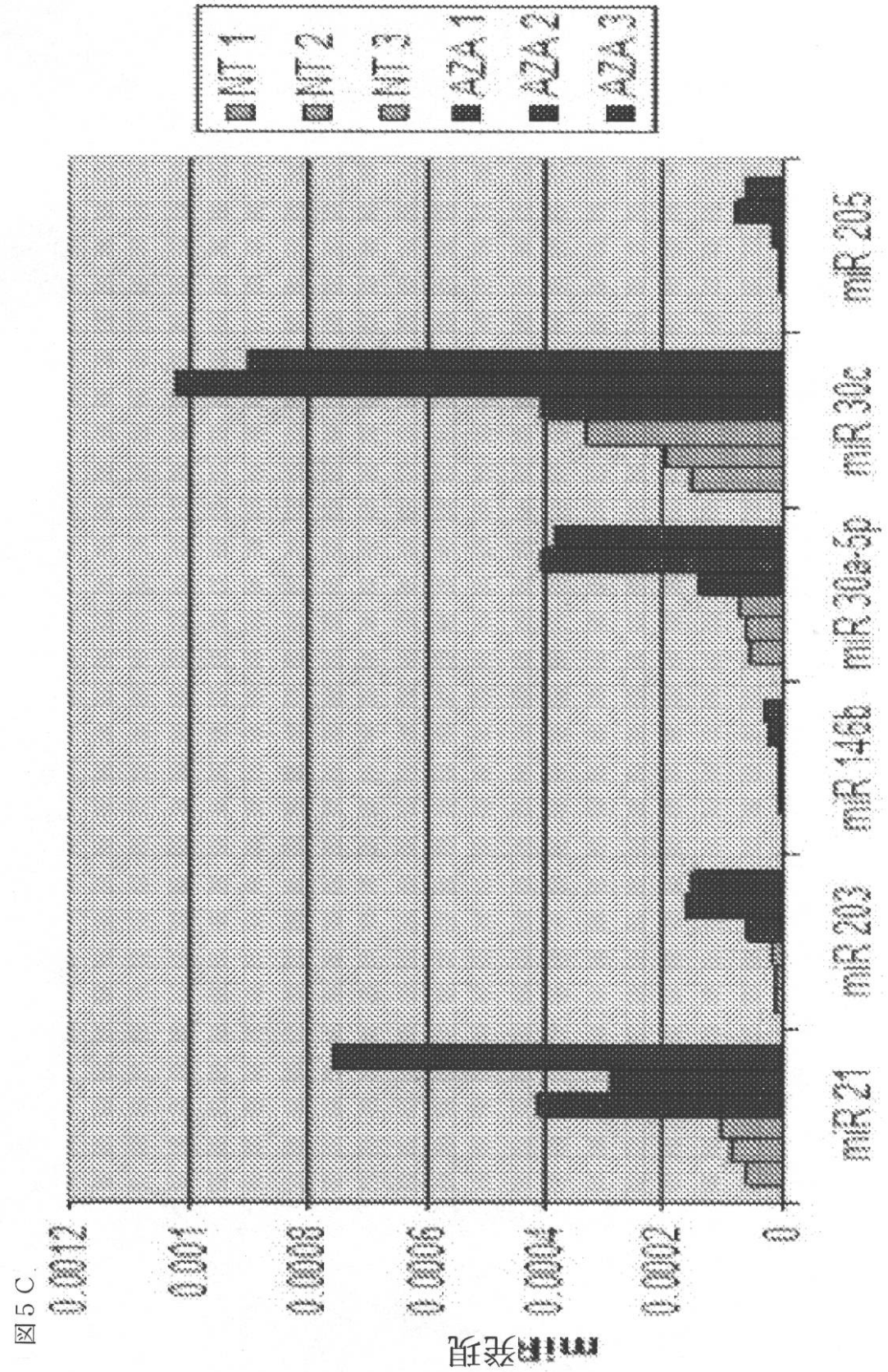
図5 A

miR 名称	FDR	幾何平均比率 A Z A / N T
hsa-mir-21	0.002013	4.277
hsa-mir-203	0.0067368	3.826
hsa-mir-146b	0.0095114	2.968
hsa-mir-205	0.0121302	2.877
hsa-miR-30a-5p	0.0160979	2.047
hsa-miR-96	0.0161969	0.476
hsa-mir-155	0.018638	1.784
hsa-mir-383	0.018638	0.474
hsa-miR-30c	0.018638	2.286
hsa-mir-193b	0.018638	2.09
hsa-mir-202	0.018638	1.782

図5 B

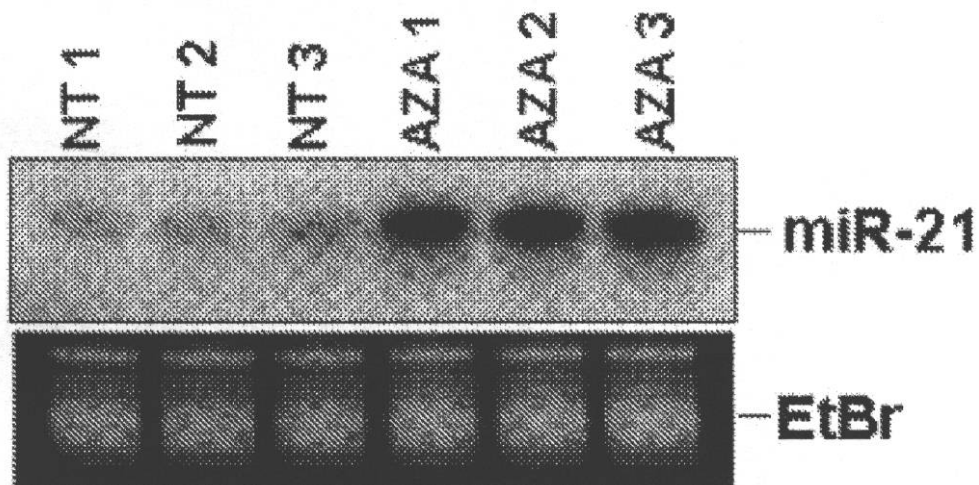


【図 5 - 2】

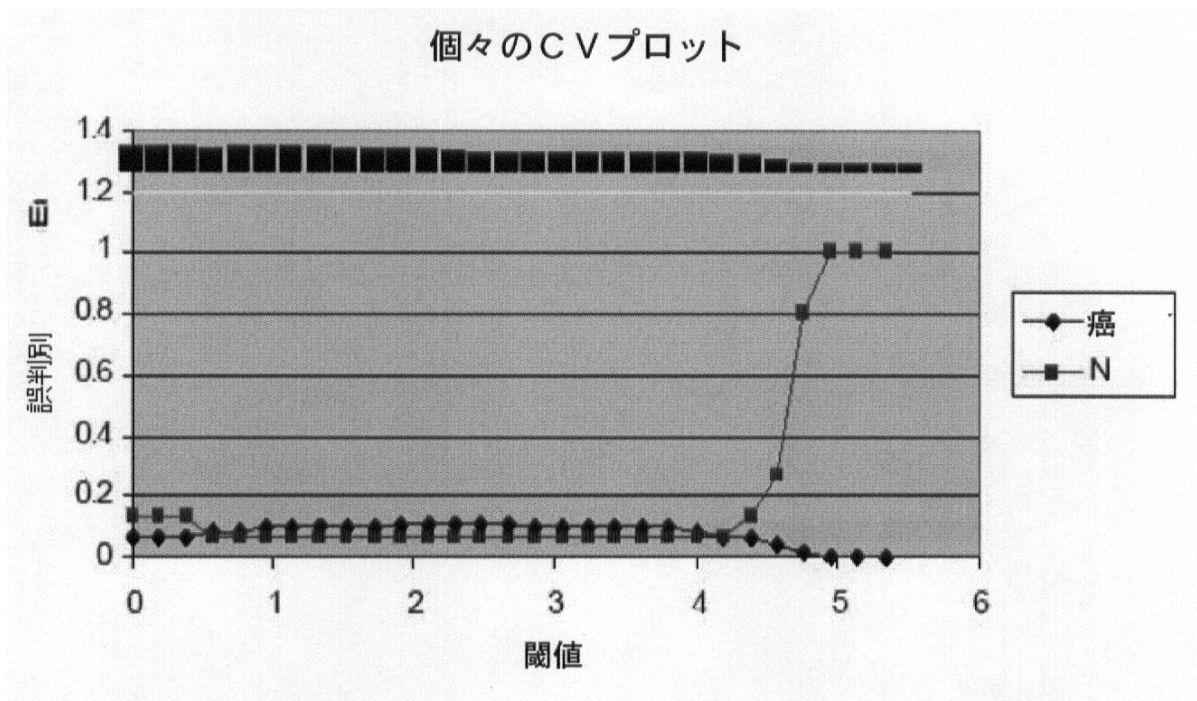


【図 5 - 3】

図 5 D

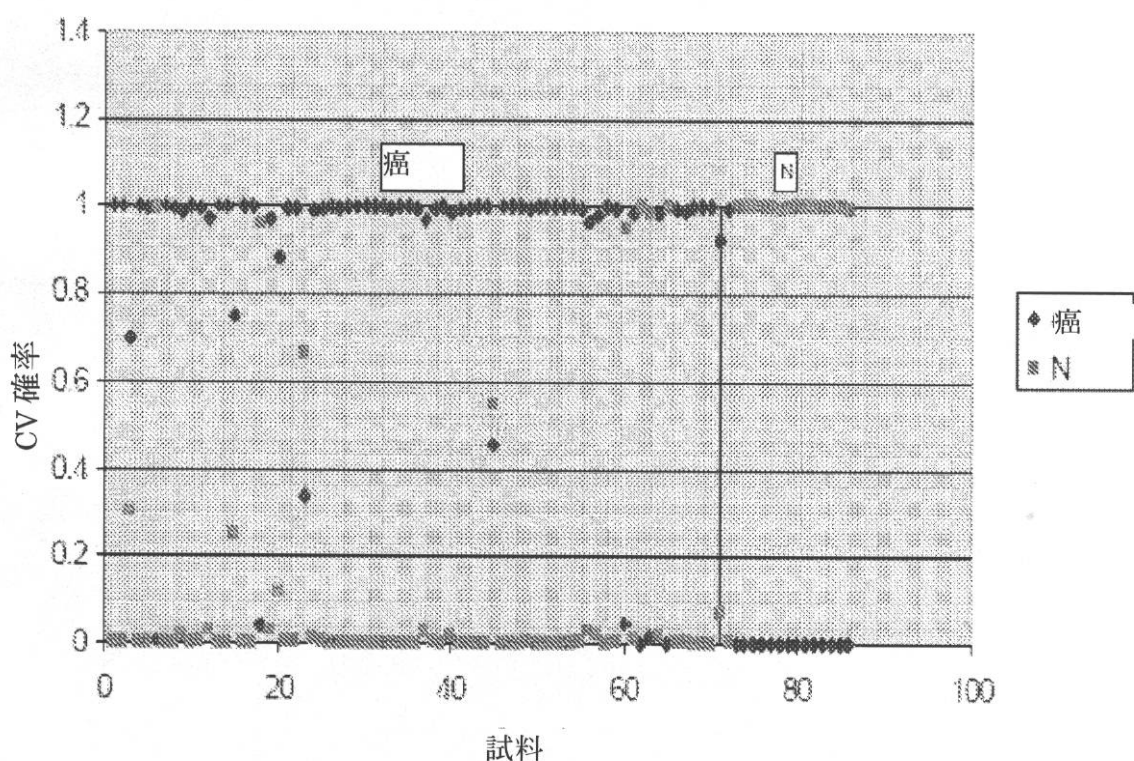


【図 6 A】



【図 6 B】

相互検証された確立（閾値=3.2）



【図 7 - 1】

図 7 A

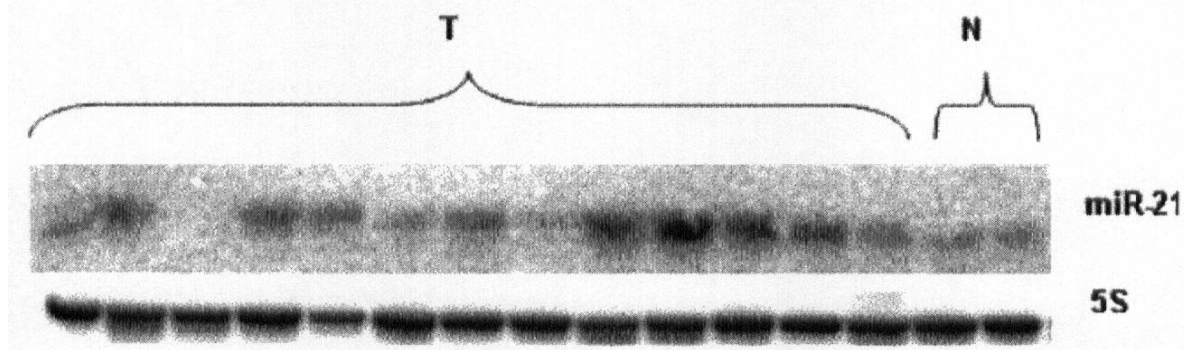


図7B

【図7-2】

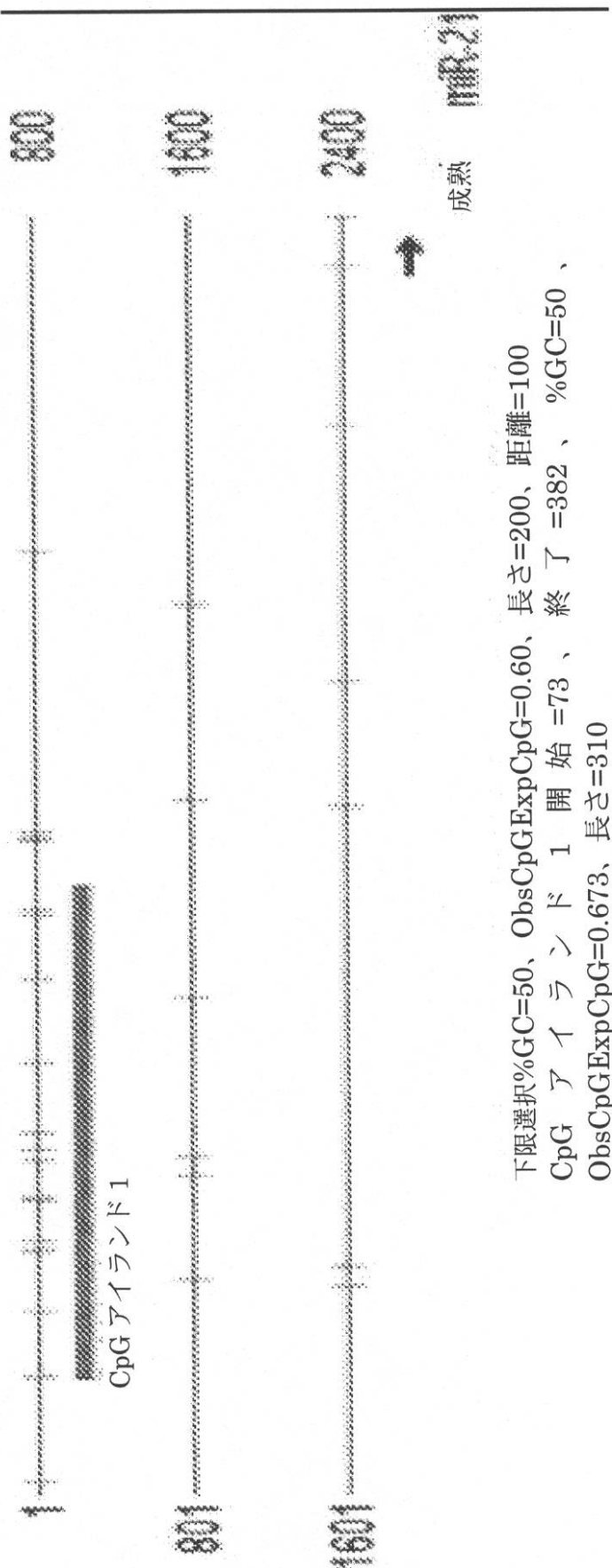
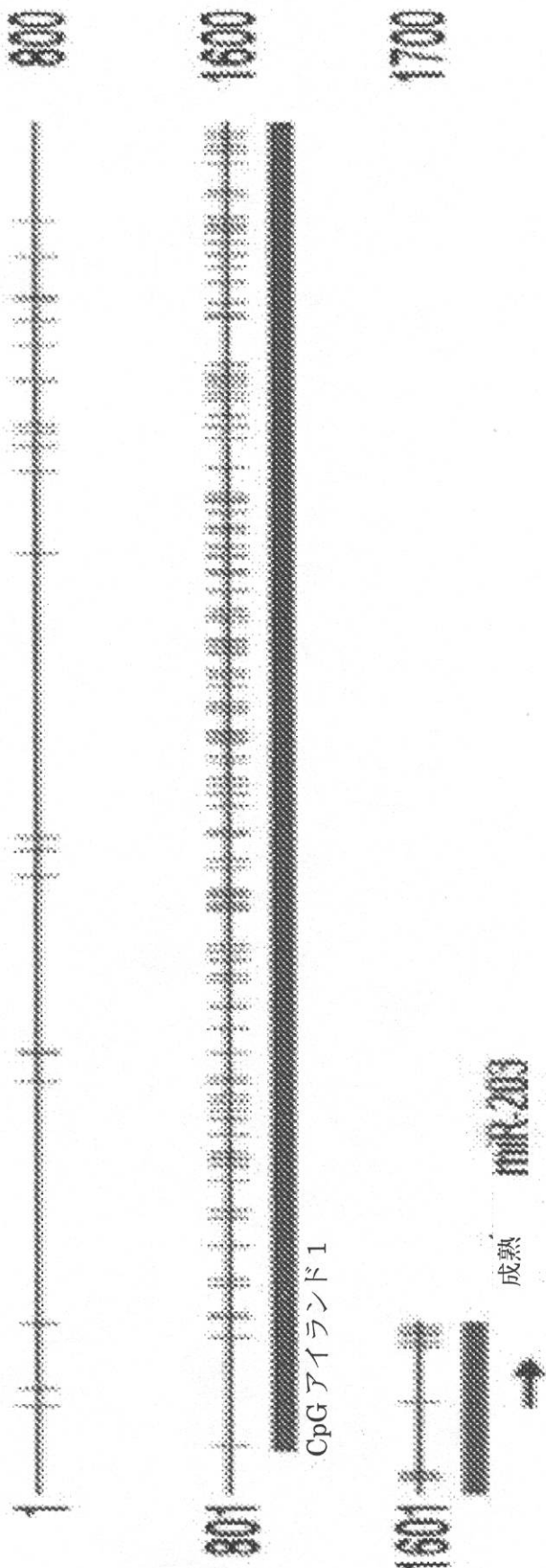


図7 B 続き

1

【図 7 - 3】



(64)

JP 5401460 B2 2014.1.29

下限選択%GC=50、ObsCpGExpCpG=0.60、長さ=200、距離=100
CpG アイランド 1 開始=825、終了=1700、%GC=75.3、ObsCpGExpCpG=0.892、
長さ=876

【図8】

図8-表1

真\予測	癌	CV コンフュージョンマト	
		リックス(閾値=3.23866)	
癌	63	8	0.112676056
N	1	14	0.066666667
誤判別エラー			= 0.11

microRNAs	癌スコア	Nスコア	
Hsa-mir-200c	0.1152	-0.5454	一致
Hsa-mir-200a	0.1059	-0.5012	不一致
Hsa-mir-199a	-0.098	0.4637	Zhang 研究において変化なし
Hsa-mir-143	-0.0946	0.4479	
Hsa-mir-199b	-0.0887	0.4197	
Hsa-mir-141	0.0874	-0.4138	
Hsa-mir-145	-0.0734	0.3473	
Hsa-mir-147	-0.0679	0.3212	
Hsa-mir-133a	-0.0671	0.3176	
Hsa-mir-101	-0.0616	0.2917	
Hsa-mir-214	-0.0607	0.2873	
Hsa-mir-100	-0.0535	0.2533	
Hsa-mir-140	-0.0523	0.2474	
Hsa-mir-126	-0.0501	0.2371	
Hsa-mir-224	-0.0485	0.2294	
Hsa-mir-9	-0.0481	0.2277	
Hsa-mir-105	-0.0461	0.2184	
Hsa-mir-99a	-0.037	0.1753	
Hsa-mir-125a	-0.0315	0.1489	
Hsa-mir-211	-0.0248	0.1174	
Hsa-mir-127	-0.0232	0.11	
Hsa-mir-200b	0.0179	-0.0847	
Hsa-mir-125b-1	-0.0177	0.0837	
Hsa-let-7c	-0.0152	0.0719	
Hsa-let-7d	-0.0138	0.0654	
Hsa-mir-124a	-0.0121	0.0574	
Hsa-mir-374	-0.0119	0.0563	
Hsa-let-7a	-0.0113	0.0533	
Hsa-mir-134	-0.0014	0.0068	

【図9】

図9-表2
マイクロ RNA 上方調節

	スコア(d)	倍率変化	
hsa-miR-200a	6.029559054	5.909228969	一致
miR-141	5.282215009	6.676969496	不一致
hsa-miR-200c	5.072214667	8.522477876	Zhang 研究において変化なし
hsa-miR-200b	3.833075725	3.305102114	
hsa-miR-302b*	2.735468464	7.576624548	
hsa-miR-182	2.474388072	4.629588641	
hsa-miR-325	2.427712097	3.582141857	
hsa-miR-373	2.368832731	3.10378255	
hsa-miR-203	2.106735098	3.924966016	
hsa-miR-205	1.912402407	3.913918092	

マイクロ RNA 下方調節

	スコア(d)	1/倍率変化
hsa-mir-199a	-6.660234251	0.149170383
hsa-mir-199b	-6.411673443	0.158503458
hsa-mir-143	-6.25941986	0.208966195
hsa-mir-127	-6.239314997	0.36263205
hsa-mir-140	-6.141381353	0.264933473
hsa-mir-9	-6.109935294	0.213902307
hsa-mir-133a	-5.997775401	0.201323582
hsa-mir-105	-5.971698987	0.256386384
hsa-mir-101	-5.951436701	0.140368004
hsa-mir-224	-5.92099781	0.221057654
hsa-mir-126	-5.818430779	0.194310151
hsa-mir-100	-5.768583066	0.217155847
hsa-mir-147	-5.743104574	0.225260363
hsa-mir-204	-5.642915363	0.135983578
hsa-mir-214	-5.63781891	0.226868132
hsa-mir-99a	-5.61022158	0.29031027
hsa-mir-211	-5.52630143	0.151341246
hsa-mir-145	-5.522715804	0.268284181
hsa-let-7d	-5.353956412	0.292557531
hsa-mir-124a	-5.308572049	0.30918176
hsa-mir-125a	-5.275370886	0.285112062
hsa-let-7c	-5.155238667	0.313348909
hsa-let-7a	-5.043893498	0.346201662
hsa-mir-29c	-4.992819698	0.284842858
hsa-mir-195	-4.889474865	0.333200438
hsa-mir-125b	-4.706809872	0.319219655
hsa-mir-374	-4.625938602	0.260209699
hsa-miR-302b	-4.540380253	0.26329528
hsa-miR-29a	-4.538932739	0.330079052

【図10-1】

図10-表3

漿液性対正常		
q値 =0, 倍率変化 >3	陽性遺伝子	
遺伝子名	スコア(d)	倍率変化
hsa-mir-200c	4.874822	9.316226469
hsa-mir-141	4.105882	6.297820292
hsa-mir-200a	5.22409	6.21082388
hsa-mir-200b	3.028617	3.354261291
陰性遺伝子		
遺伝子名	スコア(d)	倍率変化
hsa-mir-137	-4.79547	0.148869513
hsa-mir-101	-4.20173	0.156683391
hsa-mir-199a	-4.95379	0.157135174
hsa-mir-211	-3.6933	0.159546591
hsa-mir-204	-4.35187	0.160197536
hsa-mir-199b	-4.77294	0.169477272
hsa-mir-101-1	-4.61299	0.205344813
hsa-mir-126	-4.31991	0.205709452
hsa-mir-224	-4.51103	0.210351178
hsa-mir-214	-4.4747	0.211015924
hsa-mir-143	-4.66151	0.225560787
hsa-mir-133a	-4.27006	0.22613586
hsa-mir-147	-4.19961	0.244193755
hsa-mir-34c	-3.49226	0.244581699
hsa-mir-100	-4.031	0.244948271
hsa-mir-302c	-2.7653	0.263419845
hsa-mir-374	-3.44084	0.264221816
hsa-mir-9	-4.22971	0.271871858
hsa-mir-101	-4.10703	0.281023282
hsa-mir-125a	-3.96362	0.284404726
hsa-mir-195	-4.22039	0.288096703
hsa-mir-29c	-3.81131	0.289651915
hsa-mir-105	-4.22771	0.290067186
hsa-mir-145	-4.16437	0.291445115
hsa-let-7d	-3.95134	0.300703735
hsa-mir-302b	-3.13456	0.30356362
hsa-mir-9*	-3.40033	0.307833212
hsa-mir-216	-2.98653	0.309688574
hsa-mir-99a	-4.06488	0.311194043
hsa-mir-140	-5.02723	0.313106918
hsa-mir-125b-1	-3.54736	0.314166789
hsa-mir-215	-3.62675	0.315298054
hsa-let-7c	-3.8424	0.31529976
hsa-mir-181a*	-3.69974	0.319272615
hsa-mir-124a	-3.80122	0.320240298
hsa-mir-28	-2.56159	0.33142251
hsa-let-7d	-3.80275	0.332028327
hsa-mir-29a	-3.46281	0.333446637
hsa-mir-133b	-2.68467	0.333883896

【図10-2】

図10続き - 表3続き

類内膜対正常					
q値...=0, 倍率変化...>3					
陽性遺伝子			陰性遺伝子		
遺伝子名	スコア(d)	倍率変化	スコア(d)	倍率変化	
hsa-mir-200c	5.602789	11.35184732	4.285621	5.169317934	
hsa-mir-141	6.66868	8.134845605	3.175124	4.632327322	
hsa-mir-200a	5.873119	5.577590602	2.847984	5.089229918	
hsa-mir-205	4.091189	4.268810393	2.74905	3.473502434	
hsa-mir-21	3.308304	3.933420772	2.685224	2.25107383	
hsa-mir-182	3.336352	3.755931307	2.318534	2.000271165	
hsa-mir-200b	3.822882	3.58677048	2.264066	2.501721471	
			2.25371	2.455112892	
			2.231062	2.385770368	
			2.200151	3.904843321	
			2.167726	2.263162617	
			1.998298	2.69462407	
遺伝子名	スコア(d)	倍率変化	スコア(d)	倍率変化	
hsa-mir-302c	-4.5238	0.057739797	1.898917	2.611066113	
hsa-mir-140	-4.32451	0.122075074	1.893946	2.183311521	
hsa-mir-101	-4.28657	0.132249108			
hsa-mir-9	-4.06022	0.165300935			
hsa-mir-147	-5.31115	0.170117845			
hsa-mir-302b	-3.40316	0.177459541			
hsa-mir-9*	-3.96329	0.177591359			
hsa-mir-133a	-4.81939	0.1833621			
hsa-mir-137	-2.7233	0.18888881			
hsa-mir-299-5p	-4.39191	0.192261887			
hsa-mir-105	-4.82847	0.202341368			
hsa-mir-199b	-4.4869	0.209194024			
hsa-mir-199a	-4.52646	0.210975698			
hsa-mir-124a	-4.58559	0.214502778			
hsa-mir-100	-4.17774	0.21482284			
hsa-mir-211	-2.41054	0.240456539			
hsa-mir-224	-3.8354	0.242984707			
hsa-mir-143	-4.79084	0.249925609			
hsa-mir-126	-3.76437	0.250497146			
hsa-mir-1	-3.88978	0.271896204			
hsa-mir-7-2	-2.91243	0.280749401			
hsa-mir-302a	-2.203	0.289793304			
hsa-mir-99a	-3.7768	0.294318696			
hsa-mir-216	-1.97425	0.311440033			
hsa-mir-125b-1	-3.72135	0.313838284			
hsa-let-7d	-3.92129	0.314438715			
hsa-let-7f	-4.38303	0.317245972			
hsa-mir-139	-2.99323	0.32021126			
hsa-mir-125a	-3.54416	0.321469706			
hsa-mir-193	-3.35024	0.3275396			
hsa-mir-144	-2.56969	0.32905162			
hsa-mir-222	-2.70438	0.330732291			
hsa-mir-323	-5.14298	0.335905205			
hsa-mir-134	-4.3392	0.336555522			
hsa-mir-370	-3.40042	0.339804603			

【図10-3】

図10 続き - 表3 続き

明細胞対正常			混合対正常		
陽性遺伝子	遺伝子名	スコア(d)	陽性遺伝子	スコア(d)	倍率変化
hsa-mir-200c	3.727262	8.735679382	hsa-mir-200c	4.94136514	13.03477954
hsa-mir-200a	4.251752	3.777659435	mir-182	4.75314464	8.234584867
			mir-141	6.52792749	8.114549554
			hsa-mir-200a	8.59775165	6.749192792
			hsa-mir-205	3.15296179	6.612809032
			mir-203	3.95187923	6.023471984
			hsa-mir-200b	4.21752758	4.559403288
			hsa-mir-302b*	2.97964866	3.793211487
			hsa-mir-337	2.7911355	3.476209352
陰性遺伝子			陰性遺伝子		
遺伝子名	スコア(d)	倍率変化	遺伝子名	スコア(d)	倍率変化
hsa-mir-133a	-2.93133	0.088082129	hsa-mir-1	-2.9664742	0.104268828
hsa-mir-140	-2.97299	0.121810358	hsa-mir-140	-3.2747728	0.106318579
hsa-mir-301	-2.39538	0.123963114	hsa-mir-199a	-4.3900871	0.130723644
hsa-mir-137	-2.27518	0.14653595	hsa-mir-137	-2.1620126	0.160523671
hsa-mir-1	-2.33148	0.147859091	hsa-mir-214	-5.0278438	0.160582932
hsa-mir-9	-2.96241	0.148568071	hsa-mir-145	-5.3314714	0.174664643
hsa-mir-101	-3.2276	0.166648407	hsa-mir-143	-4.5203659	0.179176097
hsa-mir-100	-3.83532	0.168061777	hsa-mir-199b	-3.7977335	0.180079351
hsa-mir-9*	-2.83792	0.174089614	hsa-mir-133a	-2.2671953	0.193349456
hsa-mir-199b	-3.67083	0.178632358	hsa-mir-9	-2.5636558	0.195399985
hsa-mir-105	-3.64152	0.196628255	hsa-mir-101	-2.0553425	0.223886714
hsa-mir-98	-3.50536	0.205661462	hsa-mir-9*	-3.1686816	0.243634991
hsa-mir-302a	-2.1459	0.211204706	hsa-mir-100	-2.8720969	0.258813665
hsa-mir-199a	-3.56433	0.212611204	hsa-mir-147	-3.2823363	0.264405641
hsa-mir-126	-3.07167	0.22443264	hsa-mir-126	-2.5427505	0.273636302
hsa-mir-125a	-3.94158	0.22469509	hsa-mir-29c	-1.996995	0.287851362
hsa-mir-143	-3.8477	0.229220021	hsa-mir-134	-4.3148185	0.293654878
hsa-mir-19b	-2.84997	0.231739108	hsa-mir-34c	-2.1549977	0.29946464
hsa-mir-125b-1	-3.97578	0.232452007	hsa-mir-10b	-2.9384249	0.303075071
hsa-mir-29a	-2.55383	0.236887361	hsa-mir-125a	-3.2480671	0.305281943
hsa-mir-147	-3.22581	0.237154001	hsa-mir-224	-2.5926058	0.305719697
hsa-mir-29c	-2.28388	0.243218229	hsa-mir-105	-2.6330954	0.316376728
hsa-mir-222	-2.5152	0.244824885	hsa-mir-181a*	-1.862744	0.321375183
hsa-mir-99a	-3.2997	0.25237176			
hsa-mir-224	-3.01436	0.252667402			
hsa-mir-29b	-2.32129	0.25626224			
hsa-mir-18a	-1.87174	0.261229849			
hsa-mir-144	-2.11054	0.263378089			
hsa-mir-100	-3.22544	0.275300179			
hsa-mir-154	-2.4006	0.278357698			
hsa-mir-302b	-1.87776	0.282435823			
hsa-mir-29b	-2.36214	0.284442159			
hsa-mir-125b	-3.37335	0.285579607			
hsa-let-7d	-3.39786	0.285816741			
hsa-let-7c	-3.1888	0.295568469			
hsa-mir-145	-3.61294	0.297295886			
hsa-mir-181a*	-1.97299	0.29770489			
hsa-mir-19b	-2.24934	0.300862177			
hsa-mir-153	-2.10042	0.300931686			
hsa-let-7d	-2.98829	0.332705239			

【図10-4】

図10 続き - 表3 続き

低分化対正常		
q 値 !=0, 倍率変化 !>2 陽性遺伝子	スコア(d)	倍率変化
遺伝子名		
hsa-mir-325	4.285621	5.169317934
hsa-mir-22	3.175124	4.632327322
hsa-miR-302c	2.847984	5.089229918
hsa-miR-299-5p	2.74905	3.473502434
hsa-miR-373*	2.685224	2.25107383
hsa-miR-196b	2.318534	2.000271165
hsa-miR-194	2.264066	2.501721471
hsa-miR-373	2.25371	2.455112892
hsa-miR-324-3p	2.231062	2.385770368
hsa-miR-302b*	2.200151	3.904843321
hsa-miR-222	2.167726	2.263162617
hsa-miR-105	1.998298	2.69462407
hsa-miR-124a	1.898917	2.611066113
hsa-miR-1	1.893946	2.183311521

【図11】

図11-表4

漿液性対類内膜

陽性遺伝子		
遺伝子名	スコア(d)	倍率変化
hsa-miR-302b*	2.1162067	4.562238026
hsa-miR-325	1.957964	2.804324646
hsa-miR-299-5p	1.9831227	2.733850997
hsa-miR-222	2.0673155	2.519055674
hsa-miR-324-3p	2.012373	2.40273827
hsa-miR-196b	2.222754	1.951149725
hsa-miR-135b	2.087203	1.817543895
陰性遺伝子		
遺伝子名	スコア(d)	倍率変化
hsa-miR-212	-2.533951	0.455394471
hsa-miR-150	2.4778111	0.531181718
漿液性対非漿液性		
陽性遺伝子		
遺伝子名	スコア(d)	倍率変化
hsa-miR-302b*	1.8856931	2.387166664
hsa-miR-22	1.8760835	2.289141433
hsa-mir-373	1.9671527	2.026991587
陰性遺伝子		
遺伝子名	スコア(d)	倍率変化
hsa-miR-148b	1.9350385	0.473389
hsa-miR-211	1.5246626	0.380840675
低分化(PD)対非 PD		
陰性遺伝子		
遺伝子名	スコア(d)	倍率変化
hsa-mir-9	1.667661896	0.30496814
hsa-mir-18	1.573399409	0.275779483

類内膜対非類内膜

陽性遺伝子		
遺伝子名	スコア(d)	倍率変化
hsa-miR-212	2.432924647	2.073840527
陰性遺伝子		
遺伝子名	スコア(d)	倍率変化
hsa-miR-22	1.656798515	0.204982703
hsa-miR-302b*	2.041611412	0.248819032
hsa-miR-299-5p	2.034194437	0.341389128
hsa-mir-325	2.065466938	0.357016955
hsa-miR-194	1.727883478	0.378903888
hsa-miR-101	1.785001084	0.379589721
hsa-mir-373	1.696286422	0.387321213
hsa-miR-324-3p	1.977704757	0.424134141
hsa-mir-222	1.783218284	0.42620566
明細胞対非明細胞		
陽性遺伝子		
遺伝子名	スコア(d)	倍率変化
hsa-miR-30a-5p	2.567858911	3.180690498
hsa-miR-29b	2.548556062	2.674746178
hsa-miR-30e-5p	2.090920369	2.632760423
陰性遺伝子		
遺伝子名	スコア(d)	倍率変化
hsa-miR-20a	-2.08649871	0.408227411

【図12】

図12-表5

リンパ脈管浸潤				
陰性遺伝子				
遺伝子名	スコア(d)	倍率変化	q-値	[%]
hsa-mir-144	-1.96	0.215959317	0	
hsa-mir-216	-1.33255	0.41718005	0	
卵巣表面の関与				
陽性遺伝子				
遺伝子名	スコア(d)	倍率変化	q-値	[%]
hsa-mir-101	2.018272	2.243033058	0	
hsa-miR-182*	1.561247	2.065541993	0	
hsa-mir-22	1.401532	2.457950079	0	
hsa-miR-133a	1.381055	3.450487913	0	
管の関与				
陰性遺伝子				
遺伝子名	スコア(d)	倍率変化	q-値	[%]
hsa-mir-137	-1.9090693	0.37256783	0	
hsa-mir-101	-1.7469971	0.390419388	0	
hsa-mir-215	-1.4178719	0.324648273	0	
hsa-mir-211	-1.1978493	0.407288227	0	
骨盤腹膜				
陽性遺伝子				
遺伝子名	スコア(d)	倍率変化	q-値	[%]
hsa-miR-302c	1.150474	2.293373976	0	
子宮の関与				
陽性遺伝子				
遺伝子名	スコア(d)	倍率変化	q-値	[%]
hsa-mir-133a-2	1.27588177	3.266174858	0	
hsa-mir-143	1.91132897	2.362716504	0	
hsa-mir-145	1.82832273	2.282302908	0	
hsa-mir-1	1.57556619	2.278201035	0	
hsa-mir-147	0.99659977	2.115494772	0	
hsa-miR-126	1.36023908	2.08659655	0	

【図13】

図13-表6

卵巣癌における miR 上方調節	確認された標的	卵巣癌における発現	推定標的	卵巣癌における発現
miR-200a			BAP1	下方
			PDCD4	その他の腫瘍において下方
			GATA6	下方
			VCAM-1	下方
			BAP1	下方
			GATA4	下方
miR-200b			FN1 (フィブロネクチン 1)	下方
			BAP1	下方
miR-200c			FN1 (フィブロネクチン 1)	下方
			BAP1	下方
miR-141	CLOCK(Kiriakidou M.ら、2004年)			下方
卵巣癌における miR 下方調節				下方
miR-140	HDAC4 (Tuddenham L.ら、2006年)	上方	c-SRK MMP13 FGF2 CCNL1	上方 上方 上方 上方(他の腫瘍型)
miR-199a	LAMC2 (Kiriakidou M.ら、2004年)	上方(他の癌)		
miR-199b				
miR-145	FLJ21308 (Kiriakidou M.ら、2004年)			
miR-143	ERK5 (Esau ら、2004年) ERBB2, ERBB3	上方(他の癌)		上方
miR-125a	(Scott ら、2007年)	上方		
miR-125b	ERBB2, ERBB3 (Scott ら、2007年)	上方		
miR-101	Enx-1 (Lewis ら、2003年) NYCN (Lewis ら、2003年)	上方	COX-2	上方
miR-212			WT1, BRCA1	
miR-222	c-KIT (Felli ら、2005年)	低グレード OSC と比較して高グレードではより高い		

フロントページの続き

(74)代理人 100080137

弁理士 千葉 昭男

(74)代理人 100096013

弁理士 富田 博行

(72)発明者 クロース, カルロ・エム

アメリカ合衆国オハイオ州43221, コロンブス, ケンブリッジ・ブルーバード 2140

審査官 三原 健治

(56)参考文献 Modern Pathology; 96th Annual Meeting of the United States and Canadian Academy of Pathology, Vol.20, No. Suppl.2 (Feb. 2007) p.197A (Abstract#897)

病理と臨床, Vol.24, No.2(2006) p.167-172

Proceedings of the Annual Meeting of the American Association for Cancer Research (AACR); 98th Annual Meeting of the AACR, Vol.48 (Apr. 2007) Abstract#4514

PNAS, Vol.103, No.24(2006) p.9136-9141

(58)調査した分野(Int.Cl., DB名)

C 12 Q 1 / 6 8

C 12 N 15 / 0 0 - 15 / 9 0

C A p l u s / M E D L I N E / E M B A S E / B I O S I S / W P I D S (S T N)

J S T P l u s / J M E D P l u s / J S T 7 5 8 0 (J D r e a m I I I)